

UNIVERSIDADE FEDERAL DE SANTA CATARINA  
CURSO DE PÓS-GRADUAÇÃO EM MATEMÁTICA

TRANSFORMADA RÁPIDA DE FOURIER-FFT, MÉTODOS DE ACELERAÇÃO: - ESTUDO DE  
SINAIS IONOSFÉRICOS ATRAVÉS DA ANÁLISE DE FOURIER E APLICAÇÃO NO GRUPO  
DE RADIOCIÊNCIAS DE GASPAR.

ANTÔNIO DE SOUZA RAUEN

FLORIANÓPOLIS

1983

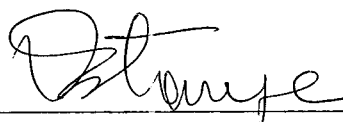
TÍTULO: - "TRANSFORMADA RÁPIDA DE FOURIER-FFT, MÉTODOS DE ACELERAÇÃO: - ESTUDO DE SINAIS IONOSFÉRICOS ATRAVÉS DA ANÁLISE DE FOURIER E APLICAÇÕES NO GRUPO DE RADIOCIÊNCIAS DE GASPAR."

POR ANTÔNIO DE SOUZA RAUEN

Esta tese foi julgada adequada para a obtenção do título de

"MESTRE EM CIÊNCIAS"

Especialidade em "MATEMÁTICA" e aprovada na sua forma final pelo Curso de Pós-Graduação.



---

Prof. Plínio Stange (Dr.)-Coordenador.

BANCA EXAMINADORA:



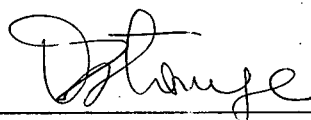
---

Prof. José João Espíndola (PHD)-Membro.



---

Prof. Paul James Otterson (PHD)-Membro.



---

Prof. Plínio Stange (Dr.)-Orientador.

À esposa Almerinda

e filhas Cleunisse, Clehani, Cleci e Cleni.

## A G R A D E C I M E N T O S

- Ao professor Phenix Manusa Ramirez Pardo, pela sugestão do assunto e por seu indispensável acompanhamento na condução da pesquisa.
- Ao professor Plínio Stange (Dr.), pela orientação e pelo inestimável apoio à realização deste trabalho.
- A professora Osiris Turnes, pela inestimável ajuda no desenvolvimento das partes do trabalho que exigiam conhecimentos de programação de computadores.
- Ao professor José João Espíndola (PHD), pelo incentivo e sugestões apresentadas.
- Ao professor Paul Otterson (PHD), pelas sugestões apresentadas.
- À direção do Instituto Estadual de Educação / e Secretaria Estadual de Educação que permitiram a realização deste trabalho.
- A todos os amigos e colegas que de qualquer maneira contribuíram para a realização deste trabalho.

"HOMEN SÉCULO XX"

(Antônio de Souza Rauen)

Homen audaz que tentas dominar a natureza  
Sem antes em ti mesmo impores o domínio.  
Do que te adianta ser dono d'outros mundos  
Se neste pregas os meios do extermínio...  
Por que semear no orgulho a tua nobreza?  
Não sabes que ela desaparece em segundos!

Da tua inteligência, nas leis e teoremas  
Brotaram máquinas que até te superaram,  
E te tornaram escravo dos seus resultados.  
Das surpresas que os mistérios te guardaram  
Não te afrontas e ao rumo das leis supremas  
Tentas, na procura ao menos, dum significado.

Se de um grupo de fúteis e ignotas ideologias  
Não consegues fugir; pregando-as aos semelhantes.  
Porque falar em paz, se conquistá-la não sabes!  
E, da imposição não a terás num único instante...  
Pensas talvez encontrá-la nas guerras frias!  
Mas nunca tê-la-ás, ainda que tudo acabes!

Herdaste dos antepassados a "guerra de conquista"  
E a tua glória está na conquista d'outros povos...  
Mesmo fugindo, levá-la-ás contigo no inconsciente!...  
Por que não deixar tudo e seguir ideais novos?!  
Tuas poderosas armas, há quem as resista.  
Pois tirou todos e tudo do nada, unicamente.

Não te comoves ao ver a miséria e a fome?  
Se o teu semelhante fracassa: -"É recalcado!"  
Se reagir, o teu braço emudecerá as suas vozes.  
A tua paz estará onde fores glorificado.  
Mesmo o tempo que a tudo e a todos consome  
Guardar-te-á nos seus ergástulos atrozes.

-Para erguer-se, aproveita todos os momentos...  
Sê escravo do amor, foje da perdição!  
Ao invés de armas inventa mais remédios.  
Contudo, ainda serás útil ao teu irmão.  
Messas co'alma o que podes nos ensinamentos.  
Amanhã seremos outros... Alheios aos tédios!

## R E S U M O

O presente trabalho tem como objetivo o estudo e a aplicação da Análise de Fourier, mais precisamente da transformada rápida de Fourier-FFT, para obter os coeficientes da transformada discreta de Fourier com números de amostragens decomponíveis em fatores primos quaisquer.

O algoritmo usado no desenvolvimento do referido trabalho / foi aquele na versão de Sande (Sande-Gentleman, 1966) com as subrotinas apresentadas por Singleton (Singleton, Richard C., 1969), ambos devidamente / adaptados ao problema do estudo da emissão e recuperação de sinais ionosféricos desenvolvido pelo Grupo de Radiociências de Gaspar-FURB.

O método apresentado, bem como o programa para computador desenvolvidos e apresentados deram uma economia do tempo de CPU da ordem de 5.291% com relação ao método atualmente em uso pelo grupo acima citado.

## ABSTRACT

In this monograph, we will present a study of Fourier Análise and its applications, especially that of the fast Fourier transform in the calculation of the discrete Fourier transform when the number of data points is an arbitrary product of primes.

The algorithm used here is the Sande version (Sande-Gentlemaun, 1966) whit subroutine presented by Singleton (Singleton, Richard C., 1969) / both have been adequately adapted to the study (of the emissions and reception of ionospheric signals) being conducted by the Grupo de Radiociências in Gaspar-FURB.

The technique we present, together with the computer program / used, gives an economy of computer time of 5.291% in relation with the methods used previously by the Grupo de Radiociências in Gaspar-FURB

## ÍNDICE

Ítems	Págs.
Introdução . . . . .	11
Objetivos do Trabalho . . . . .	17
 CAPÍTULO I	
1.0 - Introdução e Justificativa . . . . .	18
1.1 - Descrição do Problema . . . . .	18
1.2 - Estudo da Curva do Espectro de Amplitude do Pulso Emitido.	19
1.3 - Processo de Amostragem . . . . .	19
 CAPÍTULO II	
2.0 - Introdução e Justificativa . . . . .	21
2.1 - Da Transformada de Fourier Contínua a Discreta . . . . .	22
2.2.1. - Transformada de Fourier Discreta e Finita . . . . .	27
2.2.2. - Propriedades da DFT . . . . .	28
2.3 - Transformada Rápida de Fourier-FFT . . . . .	29
2.3.2. - Formas Convencionais de DFT . . . . .	30
2.3.3. - Decimação no Tempo. . . . .	30
2.3.4. - Decimação em Frequência . . . . .	33
2.3.5. - FFT para Números Reais, no Domínio do Tempo para 2N Amostras. . . . .	36
2.3.6. - Algoritmo de Cooley-Tukey para $N = 2^p$ . . . . .	37
2.3.7. - FFT com Número de Amostras Arbitrário . . . . .	38
2.3.8. - Fator de Giro . . . . .	41
2.3.9. - Álgebra Básica para FFT . . . . .	42
2.4. - Eliminação de Operações com Zeros (Pruning) . . . . .	44



CAPÍTULO III

3.0 - Introdução e Justificativa . . . . .	49
3.1 - Espectro do Pulso Emitido pela Emissora. . . . .	49
3.1.1. - Transformada de Fourier Contínua. . . . .	49
3.1.1.1.- Transformada de Fourier Contínua e Finita. . . . .	51
3.1.2. - Transformada de Fourier Discreta do Pulso Emitido . .	52
3.2 - Espectro dos Pulsos Recuperados . . . . .	60
3.2.1. - Obtenção do Espectro dos Pulsos Recuperados Usando a Transformada Rápida de Fourier-FFT. . . . .	62

CAPÍTULO IV

4.0 - Introdução e Justificativa. . . . .	65
4.1 - Desenvolvimento do Programa. . . . .	65
4.2 - Programa para Computar os Coeficientes da DFT. . . . .	70
4.3 - Desenvolvimento do Pruning . . . . .	81
4.4 - Resultados . . . . .	83
Conclusão . . . . .	94
Apêndice A . . . . .	95
Apêndice B . . . . .	108
Apêndice C . . . . .	110
Apêndice D . . . . .	111
Apêndice E . . . . .	112
Apêndice F . . . . .	118
Bibliografia . . . . .	119

## I N T R O D U Ç Ã O

O campo magnético terrestre afeta o movimento das partículas carregadas da inosfera.

Uma anisotropia é criada na condutividade elétrica atmosférica, resultante das forças advindas das cargas em movimento e do campo magnético, desviando-as numa direção perpendicular ao plano formado pela velocidade da partícula e a direção da intensidade do referido campo[01].

O efeito do campo magnético não tem grande importância nas proximidades da superfície da terra, enquanto que nos pontos mais altos do espaço que rodeia o globo terrestre esse campo é dominante, recebendo aí a denominação de "MAGNETOSFERA". Nas superfícies exteriores da magnetosfera, correntemente denominadas de "MAGNETOPAUSA", as correntes elétricas originárias do vento solar têm o efeito de anular o campo geomagnético.

O campo magnético terrestre equivale em aproximação ao campo magnético gerado por um dipolo colocado no centro da terra, e com momento magnético de  $8,05 \pm 0,02 \times 10^{25}$  Gauss/cm<sup>2</sup>. Esse dipolo estaria inclinado de  $\approx 11^\circ$  em relação ao eixo da terra (Turnes, Osiris 1981 [02]).

Este momento tem o eixo apontado para um ponto da superfície terrestre localizado a  $78,5^\circ$ S e  $111^\circ$ E, também conhecido como polo sul magnético, embora as suas características sejam as do polo norte geográfico. A referida aproximação pode ser melhorada, deslocando-se o centro do dipolo / 342km na direção  $6,5^\circ$ N e  $161,8^\circ$ E geográfica (Ramirez, Phenix M. 1980 [01]).

Algumas regiões da superfície da terra apresentam desvios / de importância considerável no modelo dipolar especificado, sendo esses / desvios denominados de "ANOMALIAS". A figura 01 mostra a distribuição / mundial dos valores da intensidade total do campo magnético da terra, inclusive a maior dessas anomalias, também denominada de "Anomalia Geomagnética do Atlântico Sul", ou simplesmente "Anomalia Geomagnética Brasileira"

com os respectivos valores de campo, anormalmente baixos.

As anomalias podem deformar a superfície fazendo com que os pontos limites subam e desçam de altura (como na anomalia geomagnética brasileira), mas a partícula continua a movimentar-se sobre a superfície, salvo se, por colisões com outras partículas, perder as condições para manter-se presa, aprofundando-se mais ainda na atmosfera e entregando a sua energia às partículas da ionosfera. [01]

O fenômeno acima descrito, tem importância considerável na região da Anomalia do Atlântico Sul, no centro do qual está o estado de Santa Catarina.

Considerando a ionosfera dividida em três camadas (regiões): D, E e F de baixo para cima, onde a concentração da ionização é maior nas camadas superiores, temos:

a) as camadas D e E da ionosfera são responsáveis pela propagação a grandes distâncias e com alto grau de segurança das ondas de muito baixa frequência, VLF (3kHz a 30KHz), baixa frequência, LF (30KHz a 300KHz) e pelo fenômeno de absorção das ondas de alta frequência, HF (3MHz a 30MHz)

b) devido ao fato especificado, o estudo da região anômala é de grande importância, tendo em vista o desenho de radioenlaces de alta frequência, bem como para a geração das "Normas Brasileiras de Radiodifusão" (Turnes, Osiris 1981 [02]).

O alto grau de segurança das comunicações VLF advém da combinação dos fatores:

a) baixas perdas na propagação das ondas;  
b) poucas probabilidades de serem elas afetadas pelas perturbações solares, que ocorrem frequentemente, segundo o ciclo solar. Por isso as telecomunicações VLF são de grande importância na radionavegação e nas distribuições de tempo e de frequência. [01]

Em função da importância das alterações inosféricas da região provocadas pela anomalia geomagnética brasileira, a seção de pesquisas do Instituto para Assuntos Espaciais do Centro Tecnológico da Aeronáutica-IAE-CTA firmou um convênio com a Air-Force (Cambridge Research Laboratories-AFCRL dos EUA, para desenvolverem um projeto de pesquisa da anomalia, empregando uma sonda oblíqua com pulsos eletromagnéticos de muito baixa frequência, VLF.

O sondador ionosférico consiste de um transmissor construído pelo próprio CTA-SP e instalado no município de Paula Freitas (PR), o qual envia os sinais pulsados de essencialmente um ciclo de radiofrequência, com  $\sim 37\text{KHz}$ , por meio de uma antena vertical para um equipamento receptor instalado em terreno de propriedade da FURB (Fundação Educacional da Região de Blumenau), localizado no município de Gaspar (SC), a uma distância de 221,5 km da emissão (Fig. 02). Os pulsos são separados por uma função perfeitamente estável.

A antena emissora funciona como uma fonte de ondas esféricas situadas sobre a superfície da terra. A emissão se processa por um sistema oscilante formado por uma bobina e a capacidade do mastro da antena, o qual se encontra completamente isolado do chão.

O pulso emitido é cossenoidal, em função de a antena assemelhar-se a um capacitor. [01] e [02]

O circuito gerador de pulso utiliza uma frequência base de 1MHz, fornecido pelo padrão atômico; o qual por meio de divisões adequadas, admite regulagens de separação dos pulsos de até 1 micro-segundo.

A operação do sistema mantém o período dos pulsos de engatilhamento em 1263 micro-segundos.

A onda refletida pela ionosfera, se divide em outras duas, sendo estas denominadas de onda ionosférica normal e onda ionosférica extraordinária, onde estas juntamente com a onda de terra, poderão dar pistas para o estudo da referida anomalia, pistas essas contidas nas deformações das mesmas.

As antenas receptoras instaladas em Gaspar (SC) estão ligadas a um aparelho resgatador de ondas de ruído, o qual não deforma o sinal recebido. [02]. Neste tipo de sonda interessa estudar as deformações sofridas pelo pulso, nas camadas baixas da ionosfera, bem como o estudo da altura de reflexão dos pulsos.

O método de análise usado pelo Grupo de Radiociências de Gaspar necessita da análise de Fourier dos pulsos recebidos, a fim de poder comparar o espectro de amplitudes do sinal que se propaga pela terra com o sinal que vem refletido pela ionosfera [02].

A recuperação dos sinais, onda de terra e onda ionosférica é feito através de amostras no tempo, pelo aparelho recuperador de informação.

Portanto, o estudo do espectro é feito com base no teorema da amostragem, transformada discreta de Fourier (DFT) e transformada / rápida de Fourier (FFT), sendo esta última um método de grande rapidez e eficiência para computar os coeficientes da transformada discreta de Fourier.

O número de amostras recolhido pelo aparelho recuperador de informação é de tamanho considerável, e além disso não é fatorável / em fatores iguais a 2, unicamente, mas sim em fatores primos arbitrários.

O estudo da forma da onda recuperada pelo aparelho resgatador é feito através da transformada de Fourier, onde os coeficientes representam as variações sofridas pela mesma.

A transformada de Fourier é obtida através da amostragem de 630 pontos, número esse composto por fatores primos arbitrários. Essa transformada é feita com base em algoritmos já existentes mas não de / grande aplicação, visto não se encontrarem desenvolvidos na relação bibliográfica em que nos fundamentamos para elaborar o presente trabalho.

No capítulo I apresentamos o nosso problema básico, / enfocando-o nas suas características mais importantes.

No capítulo II apresentamos um relato dos estudos e algoritmos já existentes, no que se refere as aplicações do nosso problema.

No capítulo III fazemos o estudo teórico do problema, a bordando-o nos seus aspectos matemáticos, bem como formulação dos resultados.

No capítulo IV usamos as subrotinas apresentadas por Singleton (Singleton, Richard C. 1968 [08]), adaptando-as de modo a se tornarem aplicáveis ao nosso problema, ou seja das 630 amostras que compõem o mesmo, / apenas 21 delas são diferentes de zero. Apresentamos os resultados obtidos / através do computador, e, introduzimos um "PRUNNING" de zeros, nas referidas subrotinas, para diminuir o tempo necessário para a computação dos resultados. Esse pruning é desenvolvido com base naquele apresentado por Markel (Markel, 1971 [31]).

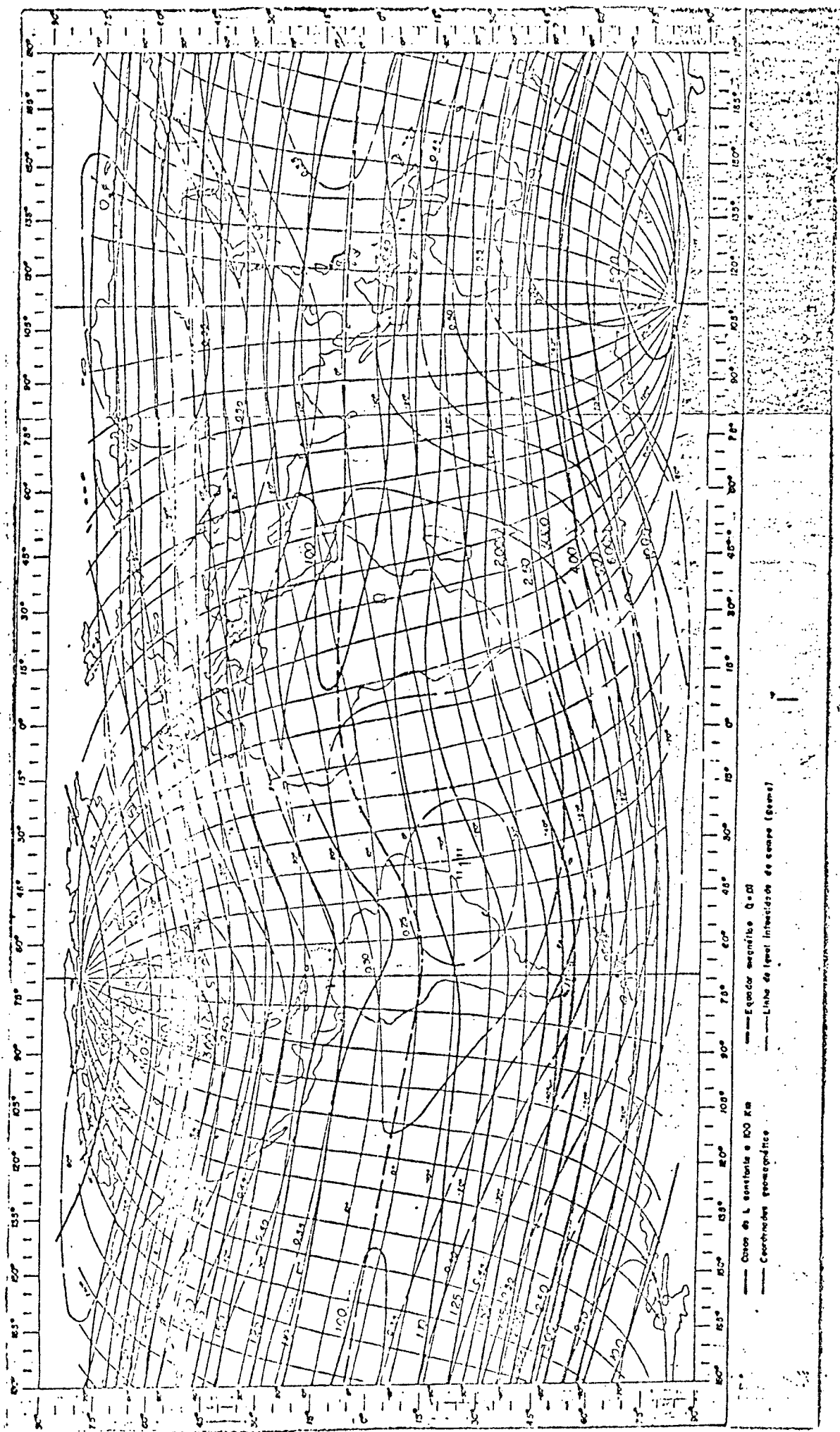


Fig. 1 - Mapa mostrando os valores do campo geomagnético terrestre, destacando as anomalias existentes. 1 representa a "ANOMALIA GEOMAGNÉTICA BRASILEIRA".

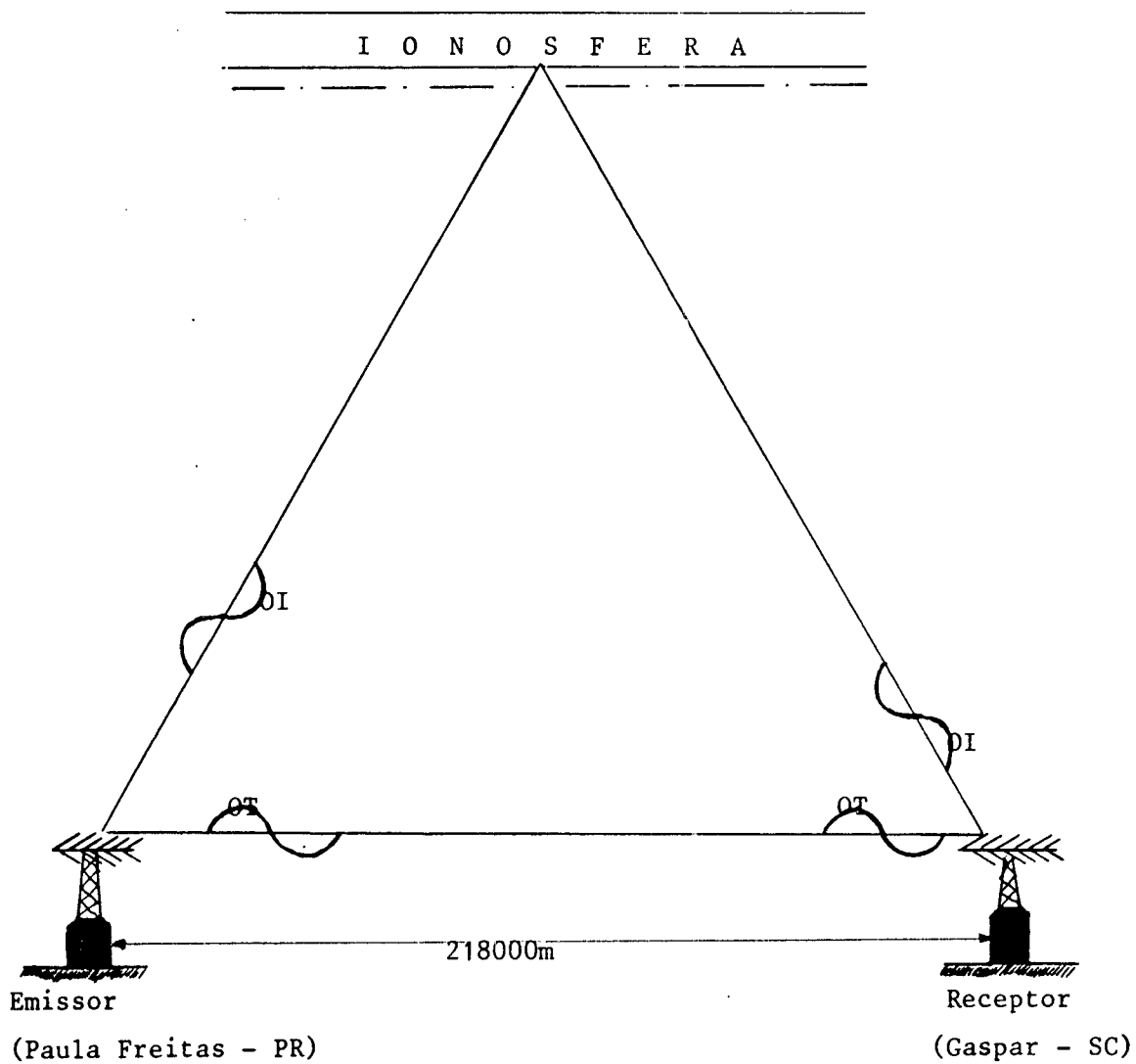


Fig. (2) - Técnica VLF envolvendo pequenas distâncias.

(OT - onda de terra, OI - onda ionosférica).

## OBJETIVOS DO TRABALHO

Os objetivos do presente trabalho resumem-se a:

1 - Determinar, aplicando a análise de Fourier, mais precisamente a transformada rápida de Fourier, o espectro de amplitudes do pulso/recebido para posteriores comparações com os resultados práticos e com aqueles obtidos em [02].

2 - Estudar, desenvolvendo uma adaptação para aplicar um algoritmo da transformada rápida de Fourier, considerando que a quantidade de amostras é um número composto por fatores primos arbitrários.

3 - Desenvolver um programa, com base nas subrotinas existentes, para computar os coeficientes da DFT (Discrete Fourier Transform), bem como desenvolver também a parte teórica.

4 - Prever um pruning de zeros com o objetivo de diminuir o tempo de máquina.

Não pretendemos efetuar um estudo completo e exaustivo sobre o desenvolvimento do algoritmo, mas somente a parte que interessa ao Grupo de Radiociências de Gaspar.

Os algoritmos usados são objeto de estudos detalhados desenvolvidos pelos pesquisadores citados no capítulo II deste trabalho, com base nos dados bibliográficos mencionados.



## CAPÍTULO I

1.1 - Descreveremos o problema principal, objeto do nosso estudo e desenvolvimento do nosso trabalho, bem como apresentaremos o resumo do estudo feito por Osiris (Turnes, Osiris 1981 [02]).

### 1.1.1 - Descrição do Problema.

O nosso problema consiste de um pulso cossenoidal de ~40Khz na portadora, repetido 792 vezes por segundo.

A repetição do pulso é determinada por dois motivos técnicos:

a) a cada pulso emitido, deve ter sido possível registrar no receptor o pulso repetido pela ionosfera;

b) o capacitor, representado pela antena emissora deve ter o tempo suficiente para recarregar-se entre a ocorrência de dois pulsos consecutivos.

Uma representação matemática adequada para os pulsos repetidos periodicamente é dado pelo desenvolvimento em série de Fourier da função  $f$  de finida por

$$f(t) = \begin{cases} \cos \omega t, & \text{para } 0 < t < d \\ 0, & \text{para } d < t < T \\ f(t + T) \end{cases} \quad (2.1)$$

$$d = 1/f = 2,5 \times 10^{-5} \text{ seg}$$

$$T = \text{PRP} = 1/\text{RP} = 1\ 263 \text{ micro-segundos}$$

A função  $f(t)$  satisfaz as condições de Dirichlet, logo é representável em série de Fourier [02]. Figura (I.1)

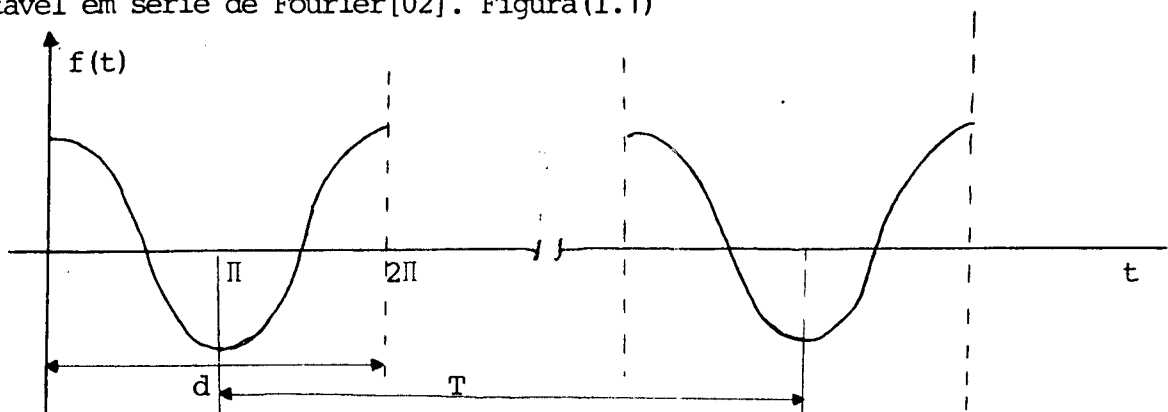


Figura 1.I - Esboço do processo de emissão do pulso.

Temos então

$$f_i(t) = \sum_{n=-\infty}^{\infty} C_n e^{j\omega t}, \quad i = 1, 2, 3, \dots \tag{2.2}$$

onde  $j$  representa  $\sqrt{-1}$  (unidade imaginária dos complexos),

$$C_n = (d/T)^2 \cdot \frac{n\pi \text{sen}(n\pi d/T)}{\pi^2 - (n\pi d/T)^2} \tag{2.3}$$

$C_n$  sendo o coeficiente de Fourier do pulso emitido,  $f(t)$ .

### 1.2 - Estudo da Curva do Espectro de Amplitude do pulso e - mitido.

Um estudo detalhado da curva do espectro de amplitude desse pulso foi feito em [02], no qual foram considerados:

- a) estudo do gráfico  $|C_n| \times RP$ ;
- b) pontos críticos calculados através das derivadas primeira e segunda de  $C_n$ ;
- c) simetria;
- d) domínio e imagem, chegando a

$$|C_n| = \left| (d/T)^2 \cdot \frac{x\pi}{\pi^2 - (x\pi d/T)^2} \right| \left| \text{sen}(x\pi d/T) \right| \tag{2.4}$$

limitante		oscilante
-----------	--	-----------

onde: - domínio de  $|C_x| = R^+$

domínio de  $|C_n| = N,$

imagem de  $|C_x| = [0, |C_x|_{\text{máx}}] = [0; 0,1022 \times 10^{-1}]$

imagem de  $|C_n| = [0, |C_x|_{\text{máx}}];$

e) determinação do espectro de amplitudes da função periódica  $f(t) = \cos\omega t,$  [02]

### 1.3 - Processo de Amostragem

1.3.1 - O processo de amostragem de um valor observável é feito a cada  $2 \times 10^{-6}$  segundos, de maneira que obtemos rigorosamente 631,5 amostras. Mas pelo teorema da amostragem, o número de amostras deve ser inteiro, o que nos leva a não utilizar o valor acima mencionado. As amostras obtidas, compreendem um único período da  $f(t)$ .

váve

1.3.2 - O número de amostras 631, embora inteiro é também / primo. No entanto, podemos desenvolver a DFT (Discrete Fourier Transform) / através da FFT (Fast Fourier Transform), mesmo o número sendo primo, con - forme [09]. Como esse método apresenta dificuldades consideráveis na imple - mentação do algoritmo e, no nosso caso, um número de amostras como 630 que é de fatoração boa e não altera significativamente a frequência de um har - mônico, tomamos 630 amostras no lugar de 631, ou seja:

a) para  $N=631,5$  amostras: 55ª harm. = 43,5435KHz

56ª harm. = 44,3352KHz

o que resulta numa diferença de 0,7917KHz;

b) para  $N=630$  amostras: 55ª harm. = 43,648KHz

56ª harm. = 44,441KHz

o que resulta numa diferença da ordem de 0,79KHz.

A diferença entre o modelo, valor real do 55ª harmônico e o 55ª harmônico / que pretendemos usar é de 0,104KHz, a qual é bem menor do que 0,79KHz e não / influi no cálculo dos harmônicos de interesse no estudo. Portanto, usaremos o valor  $N = 630$  amostras.

1.3.3 - Aplicação do algoritmo para calcular os coeficientes da DFT através da FFT. Nosso número de amostras  $N$  é decomponível em fatores primos arbitrários.

Aplicando os algoritmos desenvolvidos por Cooley-Tukey (Cooley-Tukey, 1965,[03]) e Sande (Sande-Gentleman, 1968, [08]), e, com base / nas subrotinas desenvolvidas por Singleton (Singleton, Richard C., 1969,[16]) computamos os coeficientes da DFT através da FFT.

1.3.4 - Desenvolvimento do programa para computador. Como a / nossa amostragem consiste de 630 pontos (valores amostrados), dos quais ape - nas 21 são diferentes de zero e, o que é mais importante, trabalhamos com / amostras de Nyquist. Por isto, tentamos a introdução de um pruning de zeros / para com isso diminuir o tempo de máquina na execução do referido programa.

## CAPÍTULO II

### 2.0 - Introdução e Justificativa.

Devido a sua alta eficiência, a transformada de Fourier é um instrumento universalmente aceito nos campos mais variados do conhecimento humano e dentro da análise de sinais das teorias modernas.

A determinação dos coeficientes de Fourier, através da transformada contínua, usando os modernos métodos computacionais, é feita através da transformada discreta de Fourier, a qual se caracteriza pela função amostrada, de acordo com o teorema da amostragem [13]. No entanto, mesmo com o estágio alcançado no tocante à velocidade dos computadores atuais, a determinação dos coeficientes da DFT consome um tempo considerável. Para sanar esse problema Cooley-Tukey (Cooley-Tukey, 1965, [03]), desenvolveram um algoritmo de extrema rapidez e considerável eficiência para computá-los, o qual denominaram de transformada rápida de Fourier (The Fast Fourier Transform - FFT).

Desde o aparecimento do algoritmo de Cooley-Tukey até o presente momento, muitos estudiosos desenvolveram e publicaram os mais variados algoritmos relativos à FFT.

De posse de alguns desses algoritmos citados, e mencionados na relação bibliográfica, procuramos salientar aqueles que mais diretamente se adaptam ao estudo do nosso problema, de características particulares, descrito no capítulo I.

2.1 - Da Transformada de Fourier Contínua a Discreta.

2.1.1 - Definição. - Seja a função  $h: [a, b] \longrightarrow \mathbb{R}$  tal que:

i)  $h$  é limitada, então ela é integrável se o supremo das / somas inferiores for igual ao ínfimo das somas superiores;

ii)  $h$  não é limitada, então ela é integrável se, e somente / se, o intervalo  $[a, b]$  puder ser decomposto em um número finito de inter-  
valos  $I_1, I_2, \dots, I_k$ , com  $I_k = [a_k, b_k]$ , tais que para todo  $\delta > 0$  e  $\delta' > 0$  a função  $h$  é limitada e integrável em  $[a_{k+\delta}, b_{k+\delta}']$  e os limites

$$\int_{a_k}^{b_k} h(t) dt = \lim_{\substack{\delta \rightarrow 0 \\ \delta' \rightarrow 0}} \int_{a_{k+\delta}}^{b_{k+\delta}'} h(t) dt \text{ existem.}$$

2.1.2 - Definição. - Uma função é  $\mathcal{L}^1$  quando  $h$  e  $|h|$  forem / integráveis no sentido da definição 2.1.1 em cada intervalo  $[-M, N]$  e os / limites

$$\lim_{-M, N \rightarrow \infty} \int_{-M}^N h(t) dt \text{ e } \lim_{-M, N \rightarrow \infty} \int_{-M}^N |h(t)| dt \text{ existem [18].}$$

2.1.3 - Definição. - Se  $h: \mathbb{R} \longrightarrow \mathbb{C}$  for uma função  $\mathcal{L}^1$  a sua transformada de Fourier  $H: \mathbb{R} \longrightarrow \mathbb{C}$  será definida por

$$\mathcal{F}[h(t)] = H(\omega) = \int_{-\infty}^{\infty} h(t) e^{j\omega t} dt, \text{ com } \omega = 2\pi f \quad (01)$$

2.1.4 - Observação. - Usando a integral de Lebesgue podemos / trabalhar com  $L^1$  no lugar de  $\mathcal{L}^1$ , onde  $L^1$  é um espaço vetorial normado com norma  $\|h\|_1 = \int_{-\infty}^{\infty} |h(t)| dt$ , além de ser um espaço de funções integráveis a Lebesgue em  $\mathbb{R}$ , o espaço vetorial é completo nessa norma (usando a integral de Lebesgue).

Dada uma função  $h$  em  $\mathcal{L}^1$  nem sempre  $\mathcal{F}[h(t)]$  está em  $\mathcal{L}^1$ . Um outro espaço usado também para definir a transformada de Fourier é o espaço das funções infinitamente diferenciáveis de suporte compacto  $C_0^\infty$ . No entanto, nesse espaço pode ocorrer que  $\mathcal{F}[h(t)]$  não tenha suporte compacto.

Um bom espaço para o estudo da transformada de Fourier, no / qual se introduz algumas coisas mais gerais do que as funções, chamadas dis-  
tribuições, é o espaço  $\mathcal{D}'$ , o qual é um subconjunto de  $\mathcal{L}^1$  [18].

2.1.5 - Definição. - Uma função  $h: \mathbb{R} \longrightarrow \mathbb{C}$  é de decrescimento rápido se ela for infinitamente diferenciável e se

$$\lim_{|x| \rightarrow \infty} x^m D^n f(x) = 0, \text{ para todo } m, n \text{ inteiros e } \geq 0.$$

O conjunto das funções de decrescimento rápido é designado / por  $\mathcal{S}$ .

A demonstração e o estudo da transformada de Fourier no espaço  $\mathcal{S}$  estão feitos em [18], pags. 196-206.

2.1.6 - Teorema. - Sejam  $h: \mathbb{R} \longrightarrow \mathbb{C}$  uma função de  $\mathcal{S}$  e  $H(f)$  a sua transformada de Fourier. Então

$$\mathcal{F}[H(\omega)] = h(t) = (1/2) \int_{-\infty}^{\infty} H(\omega) e^{j\omega t} d\omega \quad (02)$$

onde a expressão (02) representa a transformada inversa de Fourier.

2.1.7 - Observação. - A transformada de Fourier é um instrumento de alta eficiência, universalmente aceito na análise moderna. No entanto, não há unanimidade na literatura relativa a definição da integral de Fourier, bem como da sua inversa. Das definições acima, tiramos que,

$$H(\omega) = c_1 \int_{-\infty}^{\infty} h(t) e^{-j\omega t} dt, \text{ com } \omega = 2\pi f \quad (03)$$

$$h(t) = c_2 \int_{-\infty}^{\infty} H(\omega) e^{j\omega t} d\omega \quad (04)$$

onde os coeficientes  $c_1$  e  $c_2$  assumem valores diferentes, que dependem do / uso. Quando  $c_1 = 1$ ;  $c_2 = (1/2\pi)$ , ou  $c_1 = (1/2\pi)$ ;  $c_2 = 1$ ,  $c_1 = c_2 = (1/2\pi)$ . Em suma, as equações (03) e (04) são válidas somente quando  $c_1 c_2 = (1/2\pi)$ .

Esta questão poderá ser resolvida através da relação existente entre a transformada de Fourier, a transformada de Laplace e o teorema / de Parseval. Para escapar da contradição existente entre essas relações, um caminho lógico é definir o par de transformadas de Fourier por [07]:

$$H(f) = \int_{-\infty}^{\infty} h(t) e^{-j2\pi f t} dt \quad (05)$$

$$h(t) = \int_{-\infty}^{\infty} H(f) e^{j2\pi f t} df, \quad (06)$$

onde  $t$  representará a função no domínio do tempo e  $f$  representará a mesma / no domínio da frequência.

2.1.8 - Propriedades da Transformada de Fourier.

Dentre as várias propriedades colocadas e demonstradas em [07], [13] e [18] podemos destacar duas delas em função da aplicabilidade / das mesmas no nosso trabalho.

2.1.8.1 - Linearidade - O sistema é aditivo e homogêneo.

$$\mathcal{F} [h(t) + g(t)] = \mathcal{F} [h(t)] + \mathcal{F} [g(t)]$$

$$\mathcal{F} [\alpha h(t)] = \alpha \mathcal{F} [h(t)]$$

2.1.8.2 - Produto de Convolução.- Sejam  $h(t)$  e  $g(t)$  duas funções quaisquer dadas. O produto de convolução, simbolicamente representado / por  $f(t) = h(t) * g(t) = (h * g)(t)$  é definido pela função

$$(h * g)(t) = \int_{-\infty}^{\infty} h(t - y)g(y)dy \tag{09}$$

2.1.9 - Relação entre a Transformada de Fourier Contínua e / a Transformada de Fourier Discreta.

Sejam  $h(t)$  e  $H(f)$ , como definidas em (06) e (07), respectivamente. Quando amostramos  $h(t)$  em intervalos de  $T$  segundos, a expansão de / (06) pode ser feita em relação aos pontos amostrados  $h_k = kT$ , com /  $k = 0, \pm 1, \pm 2, \dots$

Sendo  $F = 1/T$ , temos que

$$h(kT) = \int_{-\infty}^{\infty} H(f)e^{j2\pi f k/F} df = \sum_{n=-\infty}^{\infty} \int_{nF}^{(n+1)F} H(f)e^{j2\pi f k/F} df, \tag{10}$$

onde  $T$  representa o espaço compreendido entre duas amostras consecutivas e  $F$  representa duas vezes a frequência de Nyquist ( $1/2T$ ).

Pela periodicidade de  $e^{j2\pi f k/F}$  de período  $F$  e fazendo as respectivas trocas de variáveis, podemos escrever a expressão (10), como:

$$h(kT) = \int_0^F H_p(f)e^{j2\pi f k/F} df, \tag{11}$$

onde,

$$H_p(f) = \sum_{n=-\infty}^{\infty} H(f + nF) \tag{12}$$

e  $p$  denotará a função periódica formada pela sobreposição da função periódica substituída por todos os múltiplos do período fundamental. A expressão / (12) está representada graficamente em [21].

$H_p(f)$  representa uma versão de  $H(f)$  distorcida em consequência do "ALIASING" [21], onde este ocorre na frequência de Nyquist  $F/2$ .

Como  $H_p(f)$  é função periódica de  $H(f)$ , pelo teorema de Fourier ela tem uma expansão em série de potências  $e^{-j2\pi f/F}$ , cujos coeficientes / são dados por  $(1/F)h(kT)$ . Então

$$H_p(f) = (1/F) \sum_{k=-\infty}^{\infty} h(kT) e^{-j2\pi f k/F}, \quad (13)$$

onde a equação (13) representa a transformada de Fourier não finita.

Considerando a amostragem no domínio da frequência, nos pontos  $f_n = m\Delta f$ , onde  $m = 0, \pm 1, \pm 2, \dots$  e  $\Delta f = 1/T_0$ , reescrevemos (13), como

$$h_p(m\Delta f) = T \sum_{k=0}^{N-1} h(kT) e^{-j2\pi m k/T_0 F} \quad (14)$$

Fazendo  $T_0 F = N$ , onde  $N$  é inteiro, usando o fato de que  $e^{-j2\pi m k/N}$  é função periódica de período  $N$ , a expressão (14) pode ser representada por

$$h_p(m\Delta f) = T \sum_{k=0}^{N-1} h_p(kT) e^{-j2\pi m k/N}, \quad (14a)$$

onde

$$h_p(kT) = \sum_{n=-\infty}^{\infty} h((t + nT_0)T), \quad (14b)$$

e, o somatório em (14b) é dado pelos valores amostrados de

$$h_p(t) = \sum_{n=-\infty}^{\infty} h(t + nT_0) \quad (14c)$$

a qual é função periódica de  $t$ , com período  $T_0$ , e forma  $h(t)$  do mesmo modo que  $H_p(f)$  forma  $H(f)$  [15] e [21].

Substituindo  $T = T_0/N$  por  $1/F$  a expressão (14a) pode ser / reescrita como

$$H_p(m\Delta f) = 1/N \sum_{k=0}^{N-1} T_0 h_p(kT) e^{-j2\pi m k/N} \quad (14d)$$



2.1.9 - Relação entre a Transformada de Fourier Discreta e a Transformada Contínua, numa Sequência de Amostras de Nyquist.

Uma propriedade importante que torna a DFT eminentemente útil advém da relação existente entre a DFT de uma sequência de amostras de Nyquist e a transformada de Fourier de uma forma de onda contínua representada pelas amostras de Nyquist. Consideremos a função  $h(t)$  com banda de frequência limitada, cujas amostras de Nyquist  $h(k)$  estão definidas no intervalo  $0 \leq t \leq NT$ .

$$h(t) = \sum_{k=0}^{N-1} \frac{\text{sen}(\Pi(t - kT)/T)}{(\Pi(t - kT)/T)} \quad (17)$$

onde  $T$  representa o espaço entre duas amostras consecutivas [05]. Uma repetição periódica de  $h(t)$  pode ser construída, com as mesmas amostras de Nyquist, no intervalo  $0 \leq t \leq NT$ , i.e.,

$$h_p(t) = \sum_1 \sum_{k=0}^{N-1} x(k) \frac{\text{sen}(\Pi(t - kT - \frac{1}{2}NT)/T)}{(\Pi(t - kT - \frac{1}{2}NT)/T)} \quad (18)$$

e  $h(t)$  tem a transformada de Fourier  $H(f)$  especificada nas frequências discretas pelos coeficientes da série de Fourier complexa,  $h_p(t)$ . Então

$$\begin{aligned} \frac{H(m/NT)}{NT} &= D_m = (1/NT) \int_0^{NT} h_p(t) e^{-j2\Pi mt/NT} dt \\ &= (1/NT) \sum_{k=0}^{N-1} x(k) e^{-j2\Pi knT/NT}, \end{aligned} \quad (19)$$

onde  $|n| \leq N/2$ , devido ao espectro de limitação da largura da faixa implicitamente pressuposta e o teorema da amostragem [13] que ressalta a validade das amostras de Nyquist [05].

$$\frac{H(m/NT)}{NT} = D_m = N(X(n)), \text{ onde } \begin{matrix} m = n, & \text{para } n = 0, 1, \dots, q < N/2 \\ m = N-n, & n = 0, -1, \dots, -q > -N/2. \end{matrix} \quad (20)$$

$$\frac{H(m/NT)}{NT} = N[X(n)/2] \text{ para } m = N/2 \quad (21)$$

As equações (20) e (21) dão diretamente a relação entre os coeficientes da DFT e a transformada de Fourier dada pela função definida em (17), [05].

### 2.2.1 - Transformada de Fourier Discreta e Finita.

Quando uma função está amostrada [07], [13], [14] e [20], ou o sistema precisa ser analisado em um computador digital, necessitamos da transformada de Fourier discreta e finita. Ainda que muitas das propriedades da transformada contínua sofram modificações resultantes das restrições impostas pela DFT, esta precisa operar precisamente sobre as funções amostradas e definidas em um intervalo finito.

A DFT finita aplicada a funções amostradas é definida por, /

$$H(n/NT) = \sum_{k=0}^{N-1} h(kT) e^{-j2\pi nk/N}, \text{ para } n = 0, 1, 2, \dots, N-1 \quad (23)$$

onde  $H(n/NT) = H[(rN + n)/NT]$ , e  $h(kT) = h[(rN + k)T]$ , para  $r=0, \pm 1, \pm 2, \dots$ . Ambas são periódicas no domínio do tempo e da frequência, / respectivamente.

$H(n/NT)$  representa o  $n$ -ésimo coeficiente da DFT e  $h(kT)$  representa a  $k$ -ésima amostra da série de tempo, a qual consiste de  $N$  amostras e  $j = \sqrt{-1}$ .

Enquanto  $h(kT)$  pode ser um número real ou complexo,  $H(n/NT)$  sempre será complexo [07] e [20].

A transformada de Fourier discreta, finita e inversa existe, como definida em [07].

$$h(kT) = (1/N) \sum_{n=0}^{N-1} H(n/NT) e^{+j2\pi nk/N}, \text{ com } k=0, 1, \dots, N-1 \quad (24)$$

a qual é periódica com período de  $N$  amostras de  $h(kT)$ , propriedade essa, / resultante da natureza periódica de  $e^{j2\pi nk/N}$ .

2.2.1.1 - Observação. - Para simplificar a notação podemos / fazer:  $H(n/NT) = X(n)$ ,  $h(kT) = x(k)$  e  $W_N = e^{-j2\pi/N}$ . Então o par de / transformadas de Fourier torna-se:

$$X(n) = \sum_{k=0}^{N-1} x(k) W_N^{nk}, \text{ para } n = 0, 1, \dots, N-1 \quad (25)$$

$$x(k) = \sum_{n=0}^{N-1} X(n) W_N^{-nk}, \text{ para } k = 0, 1, \dots, N-1 \quad (26)$$

onde a equação (26) representa a função no domínio do tempo e (25) representa a mesma no domínio da frequência. [07] e [14].

### 2.2.2 - Propriedades da DFT.

Uma das propriedades mais importantes que torna a transformada de Fourier discreta, eminentemente útil é a relação de convolução discreta.

2.2.2.1 - Teorema. - Se  $x(iT)$  e  $h(k-i)T$  são duas seqüências tendo respectivamente, a transformada de Fourier  $X(n/NT)$  e  $H(n/NT)$ , então

$$y(kT) = \sum_{i=0}^{N-1} h(iT)x[(k-i)T], \text{ tem a transformada de Fourier}$$

$$(1/N) \sum_{n=0}^{N-1} X(n/NT)H(n/NT)e^{j2\pi nk/N} \quad (27)$$

O teorema está demonstrado em [07] e [14], demonstração essa que nos leva a concluir que a convolução de duas funções periódicas de período  $N$  é igual ao produto das respectivas transformadas discretas de Fourier dessas funções. Ou seja, a convolução no domínio do tempo corresponde a multiplicação no domínio da frequência e vice-versa.

A convolução discreta requer que ambas as funções sejam amostradas e também periódicas com período de  $N$  amostras cada. A convolução discreta é um caso especial da convolução contínua.

2.2.2.1 - Observação - Todas as demais propriedades da transformada discreta de Fourier são idênticas àquelas da transformada contínua de Fourier e estão demonstradas em [07], [14], [25] e [26].

### 2.3 - Transformada Rápida de Fourier.

A transformada rápida de Fourier (The Fast Fourier Transform-FFT, [04]), é um algoritmo descrito por Cooley-Tukey (Cooley-Tukey, 1965 [03]) para computar os coeficientes da DFT das séries de tempo com dados amostrados.

A vasta aplicação deste algoritmo nas técnicas computacionais/ usadas na análise espectral digital, simulação de filtros e campos correlacionados, levou um grande número de pessoas a estudarem o referido algoritmo / nos últimos tempos.

Em razão de ser uma técnica de alta eficiência ela tem uma longa e interessante história descrita por Cooley (Cooley-Lewis and Welch, 1967, [04]).

A eficiência da FFT está nos procedimentos usados para computar os coeficientes da DFT através de iterações, que resultam em consideráveis economias de tempo de computação. A iteração não é intuitivamente óbvia, talvez por esse motivo, durante algum tempo, esse método não despertou grande / interesse.

Além da economia de tempo, a FFT apresenta uma considerável redução do erro de aproximação dos coeficientes da DFT, quando calculados pelo/ método direto [05].

Especificamente, quando a série de tempo consiste em N dados / amostrados, onde  $N = 2^m$  amostras, o número de operações é reduzido para /  $(2N) \log_2 N$  operações aritméticas ( multiplicações, adições e subtrações), sendo que o cálculo direto (métodos convencionais) requer  $N^2$  operações aritméticas.

As aplicações do método da redução do tempo de computação / são testados com sucesso nos mais variados campos do conhecimento humano, destacando-se entre eles:

- a) - computação do espectro de potências e autocorrelação de funções com dados amostrados;
- b) - simulação de filtros;
- c) - reconhecimento de parâmetros pelo uso da DFT-bidimensional;
- d) - computação do espectro duplo e funções de covariância cruzada;
- e) - decomposição de funções convolvidas.

Podemos verificar as vantagens do algoritmo descrito, através da tabela mostrada em [05], na qual estão calculados os números de operações que envolvem o cálculo direto e aquele feito através da FFT.

O algoritmo da FFT para  $N = 2^m$  simplesmente representa um procedimento simples para fatorar uma matriz  $N \times N$  em  $m$  matrizes, também  $N \times N$  onde cada matriz fatorada tem a propriedade de minimizar o número de multiplicações e adições complexas.

Supondo que o número de multiplicações seja proporcional ao tempo de computação, a razão de aproximação do cálculo direto para o da FFT, no tempo de computação, é dado por: (veja [07] e [20])

$$N^2 / (Nm/2) = 2N/m, \quad (28)$$

onde  $N$  representa o número de amostras e  $m$ , uma potência de 2.

### 2.3.2 - Formas Convencionais da FFT.

As fórmulas convencionais da DFT, bem como da sua inversa, de finidas por (23) e (24), são de forma semelhante para que o procedimento da máquina, ou subrotina, seja capaz de computar uma, usando a outra através da simples troca de  $X(n)$  por  $x(k)$  com os respectivos fator de escala e troca de sinal.

As duas formas básicas da FFT, cada uma com as suas modificações, são no entanto, equivalentes. De qualquer maneira, é bom fazer uma distinção entre as referidas, a fim de estudá-las separadamente [05].

Quando desenvolvemos a fórmula segundo os valores de  $k$ , denominamos a transformada de "DECIMAÇÃO NO TEMPO". Este desenvolvimento foi apresentado por Cooley (Cooley-Tukey, 1965 [03]). Por outro lado, quando desenvolvemos a fórmula segundo os valores de  $n$  temos a "DECIMAÇÃO EM FREQUÊNCIA". Esse desenvolvimento foi apresentado por Sande (Sande-Tukey, [07]).

### 2.3.3 - Decimação no Tempo.

Uma série de tempo  $x(k)$  tendo  $N$  amostras, pode ser dividida / em outras duas séries  $y(k)$  e  $z(k)$ , onde cada uma delas representa somente a metade dos  $N$  pontos amostrados, ou seja, possui  $N/2$  pontos amostrados.

Seja  $y(k)$  formada somente pelos pontos de índice par  $x_0(k), x_2(k), \dots, x_N(k)$ , e seja  $z(k)$  formada somente pelos pontos de índice ímpar  $x_1(k), x_3(k), \dots, x_{N-1}(k)$ .

Representamos essas funções, por

$$\begin{aligned} y(k) &= x(2k) & \text{com } k = 0, 1, \dots, N/2 - 1 \\ z(k) &= x(2k + 1) \end{aligned} \quad (29)$$

A DFT dada por (29) é

$$\begin{aligned} B(n) &= \sum_{k=0}^{(N/2)-1} y(k) e^{-j4\pi nk/N} \\ C(n) &= \sum_{k=0}^{(N/2)-1} z(k) e^{-j4\pi nk/N} \end{aligned} \quad \text{com } n = 0, 1, \dots, (N/2)-1 \quad (30)$$

Desenvolvendo essas expressões, chegamos a transformada procurada,  $X(n)$ . [05]

$$X(n) = B(n) + e^{-j2\pi n/N} \cdot C(n) \quad 0 \leq n \leq N/2 \quad (31)$$

Para os valores de  $n > N/2$  a DFT de  $B(n)$  e de  $C(n)$  se repetem periódicamente assumindo os mesmos valores que para  $n < N/2$ .

Substituindo  $n + N/2$  na equação (31), temos:

$$\begin{aligned} X(n + N/2) &= B(n) + e^{-j2\pi [(n+N/2)/N]} C(n) \\ &= B(n) - e^{-j2\pi n/N} C(n), \quad 0 \leq n \leq N/2 \end{aligned} \quad (32)$$

Aplicando as simplificações de 2.2.1.1, temos:

$$X(n) = B(n) + W^n C(n) \quad 0 \leq n \leq N/2 \quad (33)$$

$$X(n+N/2) = B(n) - W^n C(n)$$

Por (33) os primeiros  $N/2$  e os últimos  $N/2$  pontos da DFT de  $x(k)$ , sequência composta por  $N$  pontos amostrados, podem simplesmente ser obtidos pela DFT de  $y(k)$  e de  $z(k)$ , ambas com  $N/2$  pontos amostrados [05].

Esta redução pode ser efetuada em cada função que tenha o número de amostras  $N$  divisível por 2.

Assim, se  $N = 2^m$  podemos fazer  $m$  dessas reduções aplicando as fórmulas (29) e (33), fazendo primeiro para  $N$ , depois para  $N/2$ , e assim sucessivamente, até obtermos a função "ponto dois", que é a última das divisões possíveis. A função "ponto um", é naturalmente, a própria função.

A fig. (2.I) ilustra a transformada discreta de Fourier, e é denominada de "gráfico de fluxo de sinal", com as operações complexas, multiplicações e adições, completamente reduzidas [07].

Em geral,  $N \log_2 N$  adições complexas e  $(N/2) \log_2 N$  multiplicações complexas são requeridas para computar a DFT de uma sequência de  $N$  pontos amostrados.

De acordo com a figura (2.I), a computação da DFT pode ser feita "in loco" isto é, podemos escrever todos os resultados intermediários sobre a sequência de dados originais, e escrevendo a resposta final sobre os resultados intermediários. Portanto, nenhum armazenamento se faz necessário, além daqueles requeridos pelos  $N$  números complexos originais [05] e [08].

Podemos fazer diversas manipulações obtendo várias formas diferentes para o algoritmo da decimação no tempo, todas elas com novas ordenações, ou seja;

- a) - amostras no tempo naturalmente ordenadas com os coeficientes na ordem do "bit-inverso";
- b) - amostras e coeficientes da DFT normalmente ordenados no tempo, sendo / que nesta ordem a computação não pode ser feita "in loco";
- c) - amostras no tempo na ordem do "bit inverso" e os coeficientes normalmente ordenados.

Essas manipulações são efetuadas em função da aplicação do "bit inverso", onde as amostras são armazenadas na ordem inversa, i.e., /  $x_4 = x_{(100)_2}$  é armazenado na posição  $(011)_2 = 3$ . (veja [05], [07] e [20]).

### 2.3.4 - Decimação em Frequência.

A série de tempo  $x(k)$  tem a DFT  $X(n)$ , ambas contendo  $N$  amostras.

Dividimos  $x(k)$  em duas seqüências tendo  $N/2$  pontos amostrados cada uma delas. A primeira seqüência é formada pelos primeiros  $N/2$  pontos, / ou seja  $y(k)$ , enquanto que a outra é formada pelos últimos  $N/2$  pontos,  $z(k)$ , [05] e [07], i.e.,

$$y(k) = x(k) \quad k = 0, 1, \dots, (N/2) - 1 \quad (34)$$

$$z(k) = x(k + N/2)$$

Os pontos  $N$ , da seqüência  $x(k)$  são dados por

$$X(n) = \sum_{k=0}^{(N/2)-1} y(k)e^{-j2\pi nk/N} + z(k)e^{-j2\pi n(k+N/2)/N} \quad (35)$$

Considerando os pontos pares e ímpares da transformada, separadamente, temos

$$R(n) = X(2n) \quad 0 \leq n \leq n/2 \quad (36)$$

$$S(n) = X(2n + 1)$$

Para computar o espectro par de (36) usamos

$$R(n) = X(2n) = \sum_{k=0}^{(N/2)-1} [y(k) + z(k)]e^{-j2\pi nk/(N/2)}, \quad (37)$$

enquanto que, para computar o espectro ímpar, usamos a relação

$$S(n) = X(2n+1) = \sum_{k=0}^{(N/2)-1} [y(k) - z(k)]e^{-j2\pi nk/N} \cdot e^{-j2\pi nk/(N/2)} \quad (38)$$

Pelas relações (37) e (38) podemos concluir que a DFT de uma seqüência  $x(k)$  com  $N$  amostras, pode ser determinada como segue: - Para a / transformada dos pontos pares enumerados, podemos computar como  $N/2$  pontos/ da DFT de uma seqüência de combinações simples dos primeiros  $N/2$  com os últimos  $N/2$  pontos de  $x(k)$ .



E, para a transformada dos pontos ímpares enumerados podemos / computar como os demais  $N/2$  pontos da DFT de uma sequência de combinações / simples e diferentes dos primeiros com os últimos  $N/2$  pontos amostrados de  $x(k)$  (Veja, [05], [07] e [20]).

Na figura (2.II) está ilustrado o gráfico de fluxo de sinal / da DFT, onde a quantidade de operações complexas, multiplicações e adições / está reduzida ao mínimo, com os coeficientes naturalmente ordenados.

De maneira semelhante àquela da decimação no tempo, podemos / fazer as reduções partindo da função que tenha o número de amostras divisível / por 2, até chegarmos a função "ponto dois".

A decimação em frequência também requer  $(N/2) \log_2 N$  operações / complexas (multiplicações, subtrações e adições [05]). Estas podem ser compu / tadas "in loco" e as manipulações são também idênticas àquelas da decimação / o tempo (Veja [05], [07] e [20]).

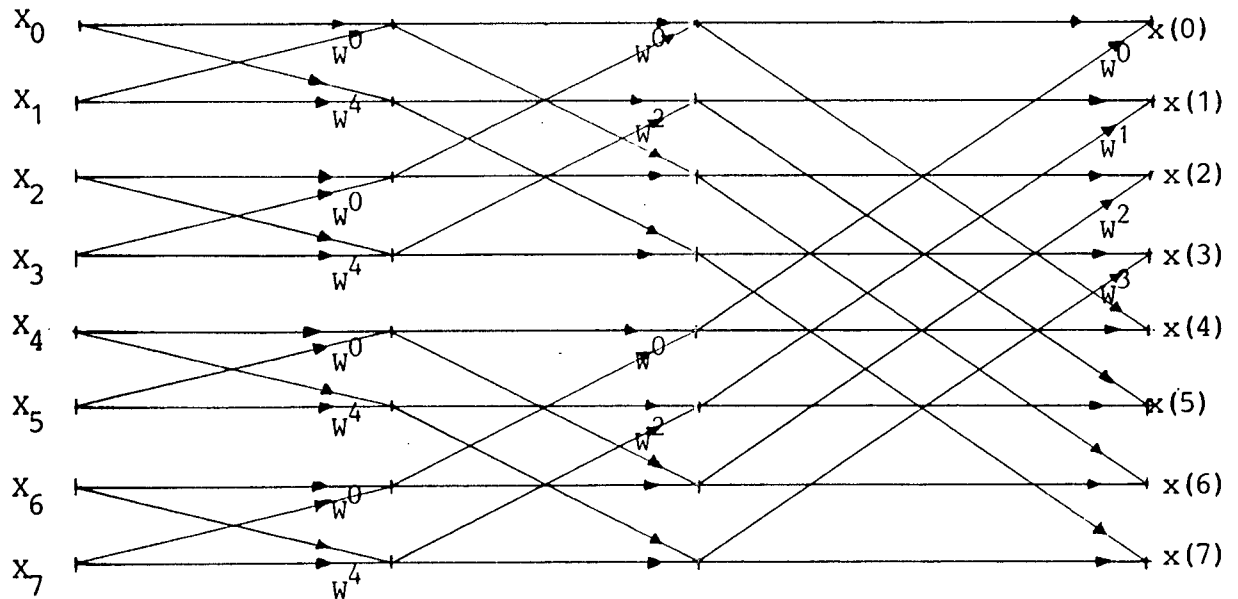


Fig. (2.I) - Gráfico de fluxo de sinal ilustrando a computação da DFT através da FFT, quando o número de operações complexas / está completamente reduzido. Decimação no tempo.

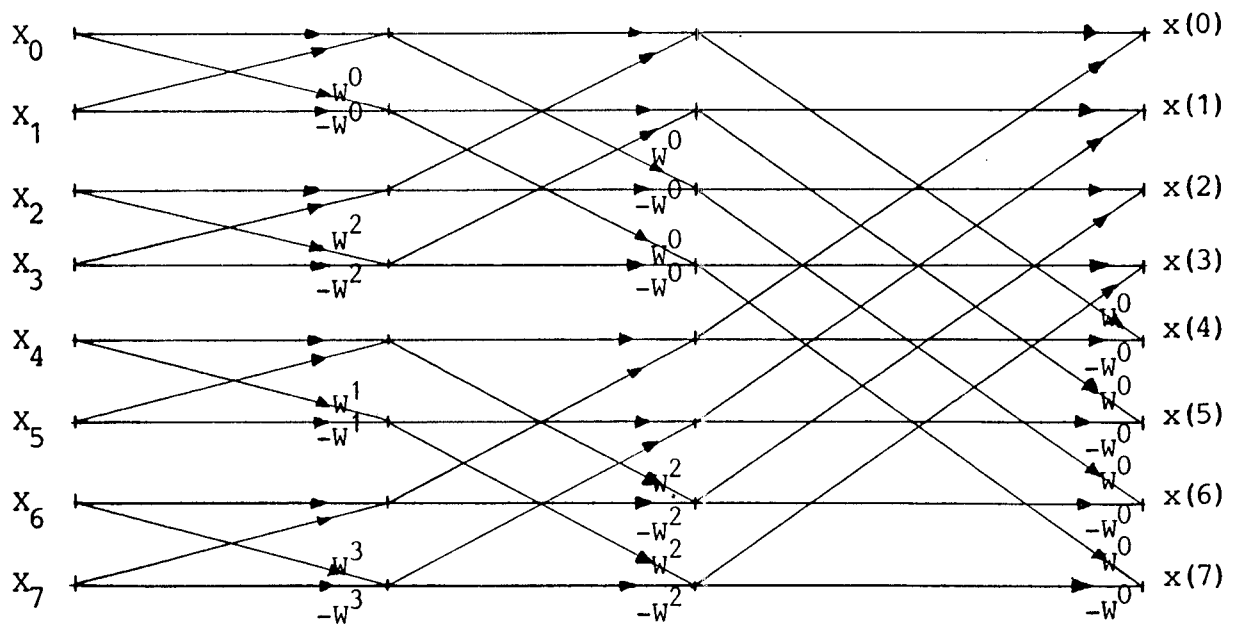


Fig. (2.II) - Gráfico de fluxo de sinal ilustrando a computação da / DFT através da FFT, onde as operações envolvidas estão reduzidas. Decimação em frequência.

2.3.5 - FFT de Funções Reais no Domínio do Tempo, Composta-  
por 2N Amostras.

Podemos usar a parte imaginária de uma função complexa no / tempo para aumentar a eficiência da computação da transformada discreta de / Fourier de uma função real de tempo [07] e [14].

Consideremos a função  $x(k)$  representada por 2N amostras. Para computar a DFT usamos

$$H(n) = (1/N) \sum_{k=0}^{N-1} [h_r(k) + jh_i(k)] \cdot e^{-j2\pi nk/N} \quad (39)$$

Para aplicar a fórmula (39) dividimos  $x(k)$  em duas funções, / onde cada uma delas é composta por N amostras,

$$\begin{aligned} h(k) &= x(2k) \\ g(k) &= x(2k + 1) \end{aligned} \quad k = 0, 1, \dots, N-1 \quad (40)$$

onde  $h(k)$  representa as amostras pares enumeradas e  $g(k)$  representa as amostras ímpares enumeradas.

Substituindo esses valores na equação (39), temos

$$X(n) = \sum_{k=0}^{2N-1} x(k) e^{-j2\pi nk/N} = H(n) + e^{-j\pi n/N} G(n). \quad (41)$$

Para computar  $H(n)$  e  $G(n)$  com maior eficiência, usamos a propriedade da linearidade da DFT e a decomposição de uma forma de onda nas suas componentes par e ímpar, respectivamente, ou seja, [07], [14] e [15]:

$$\begin{aligned} H(n) &= R_e(n) + jI_o(n) \\ G(n) &= I_e(n) - jR_o(n) \end{aligned} \quad (42)$$

Substituindo (42) no lado direito da igualdade (41), temos

$$\begin{aligned} X(n) &= R_e(n) + jI_o(n) + e^{-j\pi n/N} [I_e(n) - jR_o(n)] \\ &= X_r(n) + jX_i(n) \end{aligned} \quad (43)$$

A parte real da função  $x(k)$  com 2N amostras é dada por

$$X_r(n) = \left[ \frac{R(n)}{2} + \frac{R(N-n)}{2} \right] + \cos \frac{\ln}{N} \left[ \frac{I(n)}{2} + \frac{I(N-n)}{2} \right] - \operatorname{sen} \frac{\ln}{N} \left[ \frac{R(n)}{2} - \frac{R(N-n)}{2} \right] \quad (44)$$

Igualmente, a parte imaginária da função  $x(k)$  com  $2N$  amostras é dada por, [07], [14] e [15]

$$X_i(n) = \left[ \frac{I(n)}{2} - \frac{I(N-n)}{2} \right] - \operatorname{sen} \frac{\ln}{N} \left[ \frac{I(n)}{2} + \frac{I(N-n)}{2} \right] - \cos \frac{\ln}{N} \left[ \frac{R(n)}{2} - \frac{R(N-n)}{2} \right] \quad (45)$$

Em suma, a parte imaginária de uma função complexa de tempo pode ser usada com vantagem para computar a transformada da função definida por  $2N$  amostras, usando a transformada discreta com a soma dos  $N$  valores somente.

### 2.3.6 - Algoritmo de Cooley-Tukey para $N = 2^p$ .

O desenvolvimento do algoritmo para  $N = 2^p$ , com  $p$  inteiro, bem/ eiro como as equações recursivas foram desenvolvidos por Cooley (Cooley-Tukey, / 1965 [07]), conforme mostrados por Bigham (Bigham, E. Oran, 1975 [07]). O referido desenvolvimento é feito com base na representação binária dos expoentes  $n$  e  $k$  da exponencial, i. e.,

$$\begin{aligned} n &= 2^{p-1}n_{p-1} + 2^{p-2}n_{p-2} + \dots + n_0 \\ e \quad k &= 2^{p-1}k_{p-1} + 2^{p-2}k_{p-2} + \dots + k_0 \end{aligned} \quad (46)$$

Usando a equação (25) para esses valores, temos:

$$X(n_{p-1}, \dots, n_0) = \sum_{k_0=0}^1 \sum_{k_1=0}^1 \dots \sum_{k_{p-1}=0}^1 x(k_{p-1}, \dots, k_0) W_N^B \quad (47)$$

$$\text{onde } B = (2^{p-1}n_{p-1} + \dots + n_0) (2^{p-1}k_{p-1} + \dots + k_0) \quad (48)$$

Através da propriedade das operações de potências e sendo /

$$e^{-j2\pi k} = \cos(2\pi k) - j\operatorname{sen}(2\pi k) = 1, \quad (49)$$

temos que

$$W^{2p} = W^N = [e^{-j2\pi/N}]^N = 1 \quad (50)$$

A fórmula (47) pode ser reescrita como

$$X(n_{p-1}, \dots, n_0) = \sum_{k_0=0}^1 \sum_{k_1=0}^1 \dots \sum_{k_{p-1}=0}^1 x(k_{p-1}, \dots, k_0) W^{2^{p-1}(n_0 k_{p-1})} \cdot W^{(2n_1 n_0) 2^{p-2} k_{p-2}} \dots W^{(2^{p-1} n_{p-1} + \dots + n_0) k_0} \quad (51)$$

Escrevendo cada um dos somatórios separadamente, a equação (51) pode ser escrita em forma recursiva, i.e.,

$$\begin{aligned} X_1(n_0, k_{p-1}, \dots, k_0) &= \sum_{k_{p-1}=0}^1 x_0(k_{p-1}, \dots, k_0) W^{2^{p-1}(n_0 k_{p-1})} \\ X_2(n_0, n_1, k_{p-2}, \dots, k_0) &= \sum_{k_{p-2}=0}^1 x_1(n_0, k_{p-2}, \dots, k_0) W^{(2n_1 + n_0) 2^{p-2} k_{p-2}} \\ &\vdots \\ X_p(n_0, n_1, \dots, n_{p-1}) &= \sum_{k_0=0}^1 x_{p-1}(n_0, n_1, \dots, k_0) W^{(2^{p-1} n_{p-1} + \dots + n_0) k_0} \\ X(n_{p-1}, n_{p-2}, \dots, n_0) &= X_p(n_0, n_1, \dots, n_{p-1}) \end{aligned} \quad (52)$$

Na aplicação do algoritmo para  $N = 2^p$ , temos  $Np/2$  multiplicações complexas e  $Np$  adições complexas [07].

Para chegar ao algoritmo da decimação em frequência, o desenvolvimento é idêntico aquele apresentado nas equações (46) e (52).

### 2.3.7 - FFT com um Número de Amostras Arbitrário.

Quando o número de amostras não é um número fatorável em potências de base 2, unicamente, temos duas hipóteses a considerar, ou seja:

- i) o número de amostras  $N$  é primo;
- ii) o número de amostras  $N$  é um número composto, fatorável em fatores primos/ quaisquer.

#### 2.3.7.1 - O Número de Amostras $N$ é Primo.

Podemos computar os coeficientes da DFT através do algoritmo / desenvolvido por Rader (Rader, 1968 [09]).

A DFT de uma sequência  $\{A_k\}$ ,  $k = 0, 1, \dots, N-1$ , cujos coeficientes podem ser dados por

$$A_k = \sum_{i=0}^{N-1} a_i e^{-j2\pi ik/N}, \quad (54)$$

onde  $A_k$  representa as amostras da "Transformada-Z" [21] de uma sequência  $\{a_i\}$  de duração finita com N pontos amostrados igualmente espaçados no círculo unitário [09].

Na expressão (54)  $A_k$  vale para todo k, no entanto, para o valor  $A_0$  ela é particularmente simples, i.e.,

$$A_0 = \sum_{i=0}^{N-1} a_i \quad (55)$$

A expressão (55) pode ser computada diretamente.

Para outros valores de  $A_k$  observamos que o  $a_0$  não precisa ser multiplicado e o colocamos somando, fora do somatório, sendo que a expressão abaixo, é indicada para computá-los.

$$A_k - a_0 = \sum_{i=1}^{N-1} a_i e^{-j2\pi ik/N}, \quad K = 0, 1, \dots, N-1. \quad (56)$$

Os termos do somatório podem ser permutados, trocando a ordem das equações, através da representação em módulo, onde  $(( ))$  representa o módulo, temos

$$J = ((g^i)), \quad (57)$$

com  $J = 0, 1, \dots, N-1$  e  $i = 0, 1, \dots, N-1$

Fazendo as transformações:

$$i \longrightarrow ((g^i)), \quad k \longrightarrow ((g^k)), \quad (58)$$

e notando que  $((g^{N-1})) = ((g^0))$ , obtemos a equação

$$A_{((g^k))} - a_0 = \sum_{i=1}^{N-1} a_{((g^i))} e^{-j2\pi g(i+k)/N} \quad (59)$$

Podemos reconhecer que a sequência  $\{A_{((g^k))} - a_0\}$  é obtida pela correlação circular [11] entre as sequências

$$\{ a_{((g^i))} \} \quad \text{e} \quad \{ e^{-j2\pi g^i/N} \}.$$

Foi demonstrado em [12] que a correlação de funções circulares ordinárias poder ser computada com a redução de um grande número de operações, usando o algoritmo da FFT.

Para computar a equação (59) temos que, se  $N$  é primo,  $N-1$  / poderá ser composto por muitos ou por poucos fatores.

Quando  $N-1$  for composto por muitos fatores a correlação circular (59) pode ser reconhecida como a inversa da DFT do produto das DFT's / das sequências  $\{a_{(g^i)}\}$  e  $\{e^{-j2\pi/N}g^i\}$ . Todas as operações indicadas / são desenvolvidas pelo algoritmo

$$\{A_{(g^k)} - a_0\} = \text{DFT}^{-1} \{ (\text{DFT} \{a_{(g^i)}\}) (\text{DFT} \{e^{-j(2\pi/N)g^i}\}) \}_k \quad (60)$$

No caso de  $N-1$  ser composto por poucos fatores podemos desenvolver a computação baseados no fato de que a convolução circular ou a correlação circular podem ser computadas acrescentando-se zeros, aumentando assim, o número de amostras até ter um número composto por muitos fatores, ou mesmo uma potência de base 2 unicamente.

### 2.3.7.2 - Quando o Número de Amostras não é Primo, mas Alta - mente Fatorável.

Podemos considerar dois casos, ou seja:

i) - quando o número de amostras  $N$  apresenta um fator comum  $q$ , o desenvolvimento das equações é semelhante àqueles das equações (29) e (33) onde é possível formar  $q$  sequências diferentes:  $y_k^{(i)} = X_{qk+1}$ , tendo cada uma delas  $N/q$  amostras. Cada uma dessas sequências tem a DFT  $B_r^{(i)}$ , e a DFT da sequência  $\{X_k\}$  pode ser computada através de  $q$  DFT's simples com  $qN$  multiplicações e adições complexas [05].

$$A_{r+m(N/q)} = \sum_{i=0}^{q-1} B_r^{(i)} w^{(i)(r+m(N/q))}, \quad (61)$$

onde  $m = 0, 1, \dots, q-1$  e  $r = 0, 1, \dots, (N/q) - 1$

ii) no segundo caso o número de amostras  $N$  é dado por /  $N = r_1 r_2 \dots r_m$ , onde  $r_1, r_2, \dots, r_m$  são inteiros.

O algoritmo de Cooley Tukey, dado em [07] para a decimação no cima tempo, primeiro expressa os índices  $n$  e  $k$ , como

$$\begin{aligned}
 n &= n_{m-1}(r_1 r_2 \dots r_{m-1}) + \dots + n_1 r_1 + n_0 \\
 e \quad k &= k_{m-1}(r_2 r_3 \dots r_m) + \dots + k_1 r_1 + k_0
 \end{aligned} \tag{62}$$

onde  $n_{i-1} = 0, 1, \dots, r_1 - 1$  para  $1 \leq i \leq m$ , e

$$k_i = 0, 1, \dots, r_{m-i} - 1 \quad \text{para} \quad 0 \leq i \leq m-1.$$

A equação (25) pode ser reescrita como

$$X(n_{m-1}, \dots, n_1, n_0) = \sum_{k_0=0}^{\dots} \sum_{k_1=0}^{\dots} \dots \sum_{k_{m-1}=0}^{\dots} x_0(k_{m-1}, \dots, k_0) W^{nk} \tag{63}$$

Desenvolvendo a equação (63) sob a forma de equações recursivas, como em (52), temos

$$\begin{aligned}
 X_i(n_0, n_1, \dots, n_{i-1}, k_{m-i-1}, \dots, k_0) &= \sum_{k_{m-i}=0}^{\dots} x_{i-1}(n_0, \dots, n_{i-2}, k_{m-i}, \dots, k_0) \cdot \\
 &\cdot W^{(n_{i-1}(r_1 r_2 \dots r_{i-1}) + \dots + n_0) k_{m-i} (r_{i+1} \dots r_m)} \\
 X(n_{m-1}, n_{m-2}, \dots, n_0) &= x_m(n_0, n_1, \dots, n_{m-1})
 \end{aligned} \tag{64}$$

com  $i = 1, 2, \dots, m$ .

A expressão (64) é válida somente se definirmos  $(r_{i+1} \dots r_m) = 1$ , para  $i > m-1$  e  $k_{-1} = 0$ . Essa expressão foi desenvolvida por Bergland (Bergland, 1967 [06]), baseada no algoritmo dado por Cooley-Tukey [03], [07].

A computação da  $x_m$  requer  $N(r_1 + r_2 + \dots + r_m)$  operações complexas. O algoritmo da decimação em frequência desenvolvido por Sande (sande-Tukey, 1966 [07]) é idêntico aquele dado por (64), somente que o desenvolvimento é expandido em potências de  $n$ , no lugar de  $k$ .

### 2.3.8 - Fator de Giro.

O algoritmo da FFT pode ser aperfeiçoada através da exploração do fator de giro (Twiddle Factor [07] e [08]), no qual são exploradas simetrias das funções seno e cosseno.

A formulação do algoritmo na versão de Cooley (Cooley-Tukey, / 1965 [07]), para a equação (64) é dada como



$$X_i(n_0, \dots, n_{i-1}, k_{m-i-1}, \dots, k_0) = \left[ \sum_{k_{m-i}=0}^{N/r_i} \hat{x}_{i-1}(n_0, \dots, n_{i-2}, k_{m-i}, \dots, k_0) \cdot W^{n_{i-1} k_{m-i} (N/r_i)} w^{(n_{i-1}(r_1 \dots r_{i-1}) + \dots + n_0) k_{m-i-1} (r_{i+1} \dots r_m)} \right] \quad (65)$$

A notação  $X$  indica a aplicação do fator de giro. A equação (65) é válida para  $i = 1, 1, \dots, m$ , no caso devidamente definido, ou seja,  $(r_{i+2} \dots r_m) = 1$  para  $i > m-i$  e  $k_{-1} = 0$ .

Da mesma maneira, resolvendo-se (65) em função do índice  $n$  no lugar do índice  $k$ , temos a equação de Sande-Tukey [07] para o algoritmo da FFT, também denominado de "Decimação em frequência".

### 2.3.9 - Álgebra Básica para a FFT.

Dada a importância do algoritmo da FFT, o qual torna a computação dos coeficientes de Fourier mais rápida do que os outros algoritmos existentes, e redefinindo (23) como

$$X(f) = \sum_{t=0}^{N-1} x(t) e^{j2\pi t f / N}, \quad (66)$$

onde  $f = (n/N T_A)$ ,  $t = (k T_A)$ , e ainda, como  $e(X) = e^{j2\pi X}$ , pelas propriedades da exponencial, temos

$$e(X + Y) = e(X) \cdot e(Y)$$

$$e(X) = 1, \text{ se } X \text{ for qualquer inteiro.}$$

Supondo  $N = ABCDE$ , onde  $A, B, C, D, E$  são os fatores primos de  $N$ , podemos escrever, [08]

$$\begin{aligned} f &= \hat{e} + \hat{d}E + \hat{c}DE + \hat{b}CDE + \hat{a}BCDE, & \text{com: } a, \hat{a} &= 0, 1, \dots, A-1 \\ t &= a + bA + cBA + dCBA + eDCBA & b, \hat{b} &= 0, 1, \dots, B-1 \\ & & c, \hat{c} &= 0, 1, \dots, C-1 \\ t - \text{domínio do tempo} & & d, \hat{d} &= 0, 1, \dots, D-1 \\ f - \text{domínio da frequência} & & e, \hat{e} &= 0, 1, \dots, E-1 \end{aligned} \quad (67)$$

Substituindo esses valores na equação (66), vem

$$X(\hat{e}+\hat{d}E+\hat{c}DE+\hat{b}CDE+\hat{a}BCDE) = \sum_{a=0}^{A-1} \sum_{b=0}^{B-1} \sum_{c=0}^{C-1} \sum_{d=0}^{D-1} \sum_{e=0}^{E-1} x(a+bA+cAB+dABC+eABCD).$$

$$.e^{\left[ \frac{(\hat{e}+\hat{d}E+\hat{c}DE+\hat{b}CDE+\hat{a}BCDE)(a+bA+cAB+dABC+eABCD)}{ABCDE} \right]} \quad (68)$$

Desenvolvendo (68) em função das variáveis com circunflexo, temos

$$X(\hat{e}+\hat{d}E+\hat{c}DE+\hat{b}CDE+\hat{a}BCDE) = \sum_{a=0}^{A-1} e^{\left[ \frac{a\hat{a}}{A} \right]} \sum_{b=0}^{B-1} e^{\left[ \frac{b(a+bA)}{AB} \right]} \sum_{c=0}^{C-1} e^{\left[ \frac{\hat{c}(a+bA+cAB)}{ABC} \right]} \\ \sum_{d=0}^{D-1} e^{\left[ \frac{\hat{d}(a+bA+cAB+dABC)}{ABCD} \right]} \sum_{e=0}^{E-1} e^{\left[ \frac{\hat{e}(a+bA+cAB+dABC+eABCD)}{ABCDE} \right]} x(a+bA+cAB+dABC+eABCD) \quad (70)$$

Colocando os "fatores de giro" para o lado de fora dos respectivos somatórios, temos [08]

$$X(\hat{e}+\hat{d}E+\hat{c}DE+\hat{b}CDE+\hat{a}BCDE) = \sum_{a=0}^{A-1} e^{\left[ \frac{a\hat{a}}{A} \right]} e^{\left[ \frac{b\hat{a}}{AB} \right]} \sum_{b=0}^{B-1} e^{\left[ \frac{b\hat{b}}{B} \right]} .e^{\left[ \frac{\hat{c}(a+bA)}{ABC} \right]} \sum_{c=0}^{C-1} \\ .e^{\left[ \frac{\hat{c}c}{C} \right]} e^{\left[ \frac{\hat{d}(a+bA+cAB)}{ABCD} \right]} \sum_{d=0}^{D-1} e^{\left[ \frac{\hat{d}d}{D} \right]} e^{\left[ \frac{\hat{e}(a+bA+cAB+dABC)}{ABCDE} \right]} \sum_{e=0}^{E-1} e^{\left[ \frac{\hat{e}e}{E} \right]} \\ .x(a+bA+cAB+dABC+eABCD). \quad (70)$$

A equação (70) representa o algoritmo da FFT na versão de Sande (Sande-Gentlemann, 1966, [08]).

#### 2.4 - Eliminação de Operações com Zeros.

Calculando os coeficientes da DFT através da FFT com dados / de entrada reais e de duração consideravelmente menor do que os da transformada, podemos eliminar as operações envolvendo os cálculos com zeros (pruning, [32]), obtendo assim, uma economia de tempo de computação significativa, sem contudo alterar a complexidade do algoritmo.

Seja  $2^M$  pontos amostrados, dos quais apenas  $2^L$  são diferentes de zero, com  $M > L$ . Para calcular a FFT aplicando a técnica do "pruning" eliminando ou reduzindo consideravelmente as operações com zeros, colocamos primeiro os pontos diferentes de zero ( $2^L$ ) e, em seguida, todos aqueles que são iguais a zero. (Fig. (2.III) e (2.IV)).

A economia do tempo de computação para o algoritmo da FFT de base dois é dada, aproximadamente por  $M \left| L + 2(1 - 2^{-K}) \right|^{-1} - 1$ , onde  $K = M - L$ . Se os dados amostrados da entrada, que são diferentes de zero, não forem um inteiro igual a uma das potências de 2, então L deverá ser escolhido como o próximo inteiro maior do que  $\log_2 N$ .

Na figura (2.III) apresentamos o gráfico de fluxo de sinal da FFT com 16 pontos amostrados, tendo as operações complexas completamente reduzidas. Cada conjunto de operações realizadas "in loco" é mostrado na figura (2.III.1) e correntemente denominada de "borboleta", e cada uma delas envolve adição, subtração e multiplicação complexas. Na figura (2.III) apresentamos o gráfico de fluxo de sinal, destacando 4 etapas distintas, 8 borboletas por etapa com 3 operações por borboleta.

Para o caso geral, são M etapas,  $N/2$  borboletas por etapa com 3 operações por borboleta, dando assim, um total de  $1.5NM = 1.5N \log_2 N$  operações.

Na figura (2.IV), mostramos a FFT com pruning desenvolvida para 16 dados amostrados na entrada. Todas as operações com zeros são eliminadas. Pela figura observamos que o pruning é aplicado em três etapas, enquanto que na última etapa a sua aplicação não é possível.

• Com  $2^L$  dados da entrada diferentes de zero e  $2^{M-L}$  iguais a zero, temos  $L = 1$ , número de etapas nas quais o pruning não é aplicável e  $M - L = 3$  aquelas nas quais o pruning é aplicável.

A economia de tempo relativa ao desenvolvimento da FFT com o pruning é dada pela fórmula

$$t_r = \lfloor L + 2(1 - 2^{-K}) \rfloor / M \quad (71)$$

onde  $t_r$  é o tempo relativo,  $K = M - L$  e a equação (71) é válida somente para os computadores, cujo tempo de multiplicação é maior do que o respectivo tempo de adição [32].

Em [32] estão detalhados todos os cálculos relativos à aplicação do pruning, bem como são apresentadas subrotinas para o desenvolvimento do mesmo, envolvendo a FFT para números fatoráveis unicamente em potências de base dois.

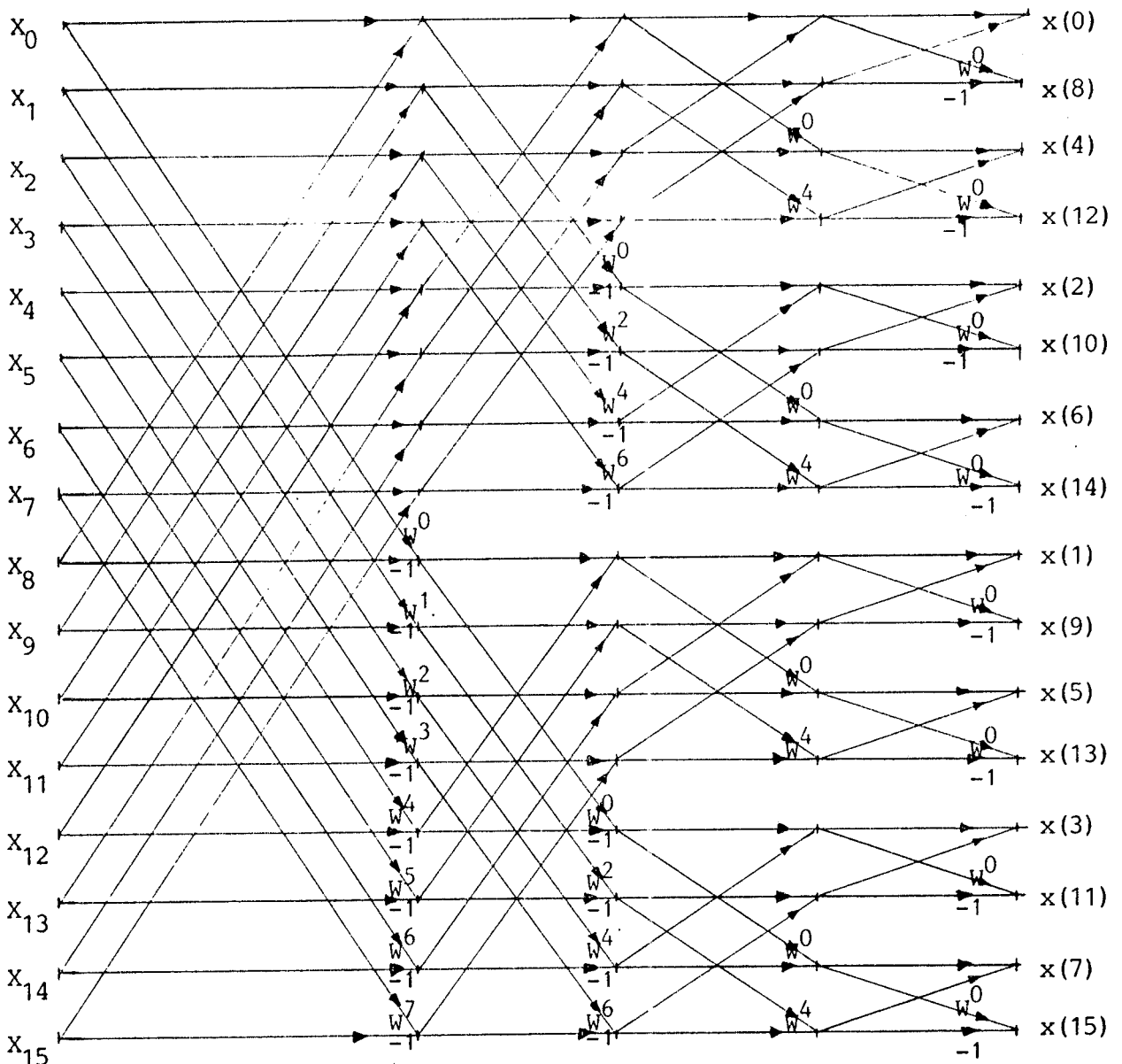


Fig.(2.III) - Gráfico de fluxo de sinal da FFT de 16 dados amostrados decimação em frequência. Os fatores de giro são definidos por  $W^k = e^{j2\pi k/16} = \exp(-j2\pi k/16)$ .

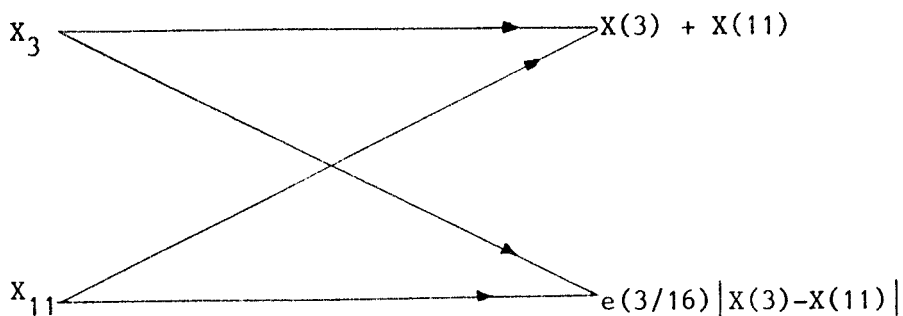


Fig. (2.III.1) - Borboleta representando a computação da FFT de  $2^M$  pontos amostrados (corresponde a uma das borboletas da fig.(2.III)).

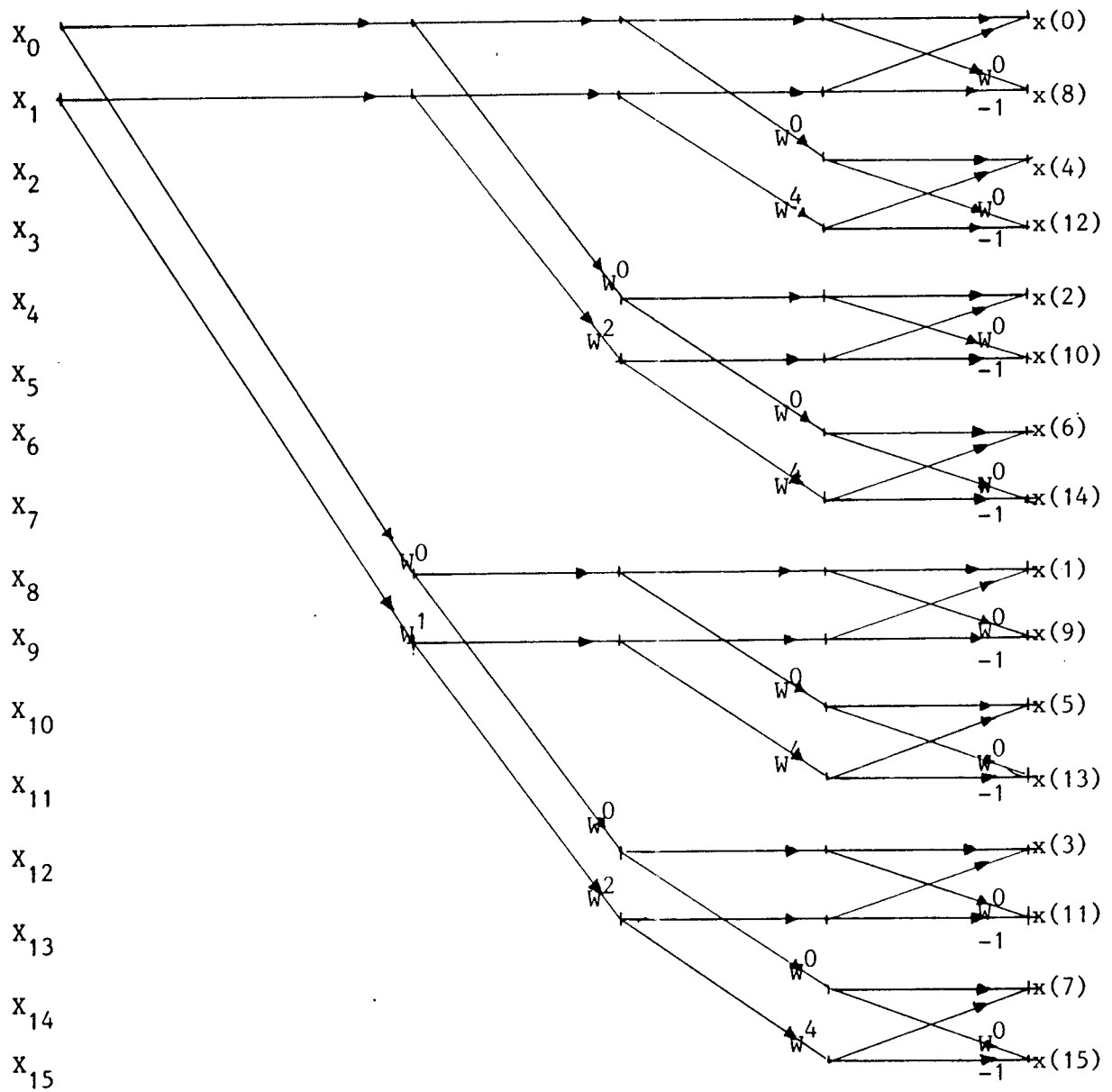


Fig. (2.IV) - Gráfico de fluxo de sinal da FFT de 16 dados onde somente os dois primeiros são diferentes de zero, na entrada (pruning).

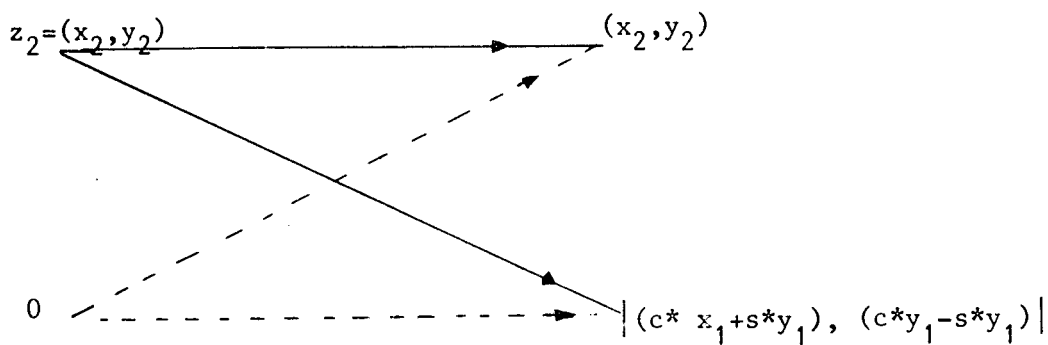


Fig.(2.IV.1) - Computação de uma das borboletas da figura (2.IV) com pruning.

## CAPÍTULO III

### 3.0 - Introdução e Justificativa.

Faremos uma análise matemática, usando a transformada de Fourier, contínua e discreta, aplicadas ao estudo dos espectros das ondas, pulso emitido (cossenóide) e ondas de terra e ionosférica recuperadas pelo aparelho recuperador de informação citado na introdução deste trabalho.

Desenvolveremos as equações relativas ao algoritmo na versão de Sande (Sande-Gentlemann, 1966 [08]), no qual está fundamentado o cálculo dos coeficientes de Fourier usando a DFT.

O pulso emitido pela estação emissora é cossenoidal de duração finita. A obtenção do espectro do mesmo é feita usando a DFT, a qual é obtida, conforme já mencionado, pela amostragem no domínio do tempo, truncamento e amostragem no domínio da frequência, respectivamente.

O estudo detalhado da análise, ou seja, aquele comparativo / entre os espectros dos pulsos emitido e recuperado não será feita neste trabalho, em razão de escapar dos objetivos do mesmo.

### 3.1 - Espectro do Pulso Emitido pela Emissora.

Obtemos o espectro do pulso emitido pela estação emissora através da transformada de Fourier do mesmo. Pela relação existente entre as transformadas discreta e contínua, de conformidade com os itens 2.1.9 e / 2.1.10 do capítulo II, podemos determiná-lo através da DFT, tendo em vista / que calcularemos seus coeficientes com o auxílio de computador, por termos // que desenvolver os cálculos numa função amostrada com um número grande de / amostras (pontos amostrados).

#### 3.1.1 - Transformada de Fourier Contínua.

Os coeficientes complexos  $C_n$  do desenvolvimento em série de Fourier da função  $f(t)$  com período de repetição  $T$  são iguais aos valores da transformada de Fourier de  $F_0(\omega)$  em  $\omega = n\omega_0 = n2\pi/T$ , multiplicados por  $1/T$ , /

onde  $f_0(t)$  é definida por:

$$f_0(t) = \begin{cases} f(t), & |t| < T/2 \\ 0, & |t| > T/2 \end{cases} \quad (72)$$

A função periódica  $f(t)$  com período  $T$  é representada por, [02]

$$f(t) = \sum_{n=-\infty}^{\infty} C_n e^{-jn\omega_0 t}, \quad (73)$$

com  $\omega_0 = 2\pi/T$ , e os coeficientes  $C_n$  determinados pela fórmula:

$$C_n = (1/T) \int_{-\infty}^{\infty} f(t) e^{-jn\omega_0 t} dt. \quad (74)$$

Sabemos que

$$F_0(\omega) = \mathcal{F}[f_0(t)] = \int_{-\infty}^{\infty} f_0(t) e^{-j\omega t} dt, \quad (75)$$

enquanto que no intervalo  $-T/2 < t < T/2$ ,  $f_0(t) = f(t)$ , o que nos leva a escrever a expressão (75) como

$$F_0(\omega) = \int_{-T/2}^{T/2} f(t) e^{-j\omega t} dt. \quad (76)$$

Visto que

$$F_0(n\omega_0) = \int_{-T/2}^{T/2} f(t) e^{-jn\omega_0 t} dt, \quad (77)$$

podemos concluir que por (73) e (77), temos

$$C_n = (1/T) F_0(n\omega_0). \quad (78)$$

Como  $f_0(t) = \cos\omega_0 t$ , podemos calcular a transformada de Fourier de  $f_0(t)$  mostrada na figura (3.I)

$$\begin{aligned} F_0(\omega) &= \mathcal{F}[f_0(t)] = \mathcal{F}[\cos\omega_0 t] \\ &= \mathcal{F}\left[\frac{1}{2}e^{j\omega_0 t} + \frac{1}{2}e^{-j\omega_0 t}\right]. \end{aligned} \quad (78a)$$

A transformada de Fourier de  $e^{j\omega_0 t}$  é dada por

$$\mathcal{F}[e^{j\omega_0 t}] = 2\pi\delta(\omega - \omega_0) \quad (79)$$

Portanto, a expressão (78a) pode ser reescrita como

$$\mathcal{F}[\cos\omega_0 t] = \pi\delta(\omega - \omega_0) + \pi\delta(\omega + \omega_0) \quad (80)$$

Calculando a transformada de Fourier da expressão (73), temos:

$$\mathcal{F}[f(t)] = F(\omega) = \mathcal{F}\left[\sum_{n=-\infty}^{\infty} C_n e^{-jn\omega_0 t}\right] = \sum_{n=-\infty}^{\infty} C_n \mathcal{F}[e^{-jn\omega_0 t}], \quad (81)$$



i.e., 
$$F(\omega) = 2\pi \sum_{n=-\infty}^{\infty} C_n \delta(\omega - n\omega_0) \quad (82)$$

Substituindo os valores de  $C_n$ , calculados no apêndice A deste trabalho, dados por

$$C_n = (d/T)^2 \cdot \frac{n\pi \text{sen}(n\pi d/T)}{\pi^2 - (n\pi d/T)^2} \cdot e^{-j(n\pi d/T)}, \quad (83)$$

O que nos leva, finalmente, a expressar a transformada de Fourier da equação (81) como

$$\mathcal{F}[f(t)] = F(\omega) = 2n(\pi d/T)^2 \sum_{n=-\infty}^{\infty} \frac{\text{sen}(n\pi d/T)}{\pi^2 - (n\pi d/T)^2} \cdot e^{-j(n\pi d/T)} \left[ \delta(\omega - n\omega_0) \right] \quad (84)$$

A expressão (84) mostra a fase  $e^{-j(n\pi d/T)}$ , a qual resulta do deslocamento da função  $f(t)$  em relação à origem, salientando também a parte imaginária da transformada, conforme mostrada na figura (3.VII).

### 3.1.1.1 - Transformada de Fourier Contínua-Finita.

A transformada de Fourier finita está relacionada com aquela / que tem o intervalo de integração finito [20].

$$F(f) = \int_0^T f(t) e^{-j2\pi f_0 t} dt, \quad (84a)$$

onde  $f = (n/NT)$ , frequência.

A transformada finita de uma função  $f(t)$  que existe entre os limites  $-\infty$  e  $\infty$  pode ser definida pelo produto  $f(t)x(t)$ , onde

$$x(t) = \begin{cases} 1, & |t| < d/2 \\ 0, & |t| > d/2 \end{cases}$$

o qual limita a função ao intervalo  $-d/2 < t < d/2$ . Se a função for devidamente truncada, pela reversibilidade da transformada podemos escrever

$$f(t)x(t) = \int_{-\infty}^{\infty} F(f) e^{j2\pi f t} df \quad (84b)$$

Na equação (84a), substituindo  $f(t)$  pelo seu valor, dado para um valor particular de  $f$ , temos

$$f(t) = \int_{-\infty}^{\infty} F(f) e^{j2\pi ft} df \quad (84c)$$

$$F(f) = \int_0^T \left[ \int_{-\infty}^{\infty} F(f) e^{j2\pi ft} df \right] e^{-j2\pi f_0 t} dt \quad (84d)$$

Desenvolvendo a expressão (84d), e empregando a expressão /  $\int_{-\infty}^{\infty} \delta(u - x) f(u) du = f(x)$ , chegamos ao valor

$$F(f) = \text{sen}2\pi T(f - f_0) + \text{sen}2\pi T(f + f_0) + j \left[ \frac{\text{sen}^2 \pi T(f - f_0)}{\pi T(f - f_0)} + \frac{\text{sen}^2 \pi T(f + f_0)}{\pi T(f + f_0)} \right]$$

Na figura (3.VII) mostramos o esboço da expressão (84e), acima citada. O deslocamento no intervalo de integração faz surgir a parte imaginária da transformada.

### 3.1.2 - Transformada de Fourier Discreta do Pulso Emitido.

A transformada discreta de Fourier do pulso emitido e contínuo é obtida através da amostragem no domínio do tempo, truncamento e amostragem/ no domínio da frequência.

A amostragem do pulso emitido no domínio do tempo, consiste em multiplicá-lo pela função amostrante  $\Delta_0(t)$ , também denominado de "trem de pulsos"; enquanto que no domínio da frequência ela é feita através da relação de convolução.

Seja o trem de pulsos da figura (3.II), definido por

$$\Delta_0(t) = \sum_{n=-\infty}^{\infty} \delta(t - nT_A), \quad (85)$$

onde  $T_A$  representa o espaço entre duas amostras consecutivas que, de acordo / com o teorema da amostragem, deve ser maior do que o inverso do dobro da componente de maior frequência da transformada de Fourier da função contínua / ( $T_A > 1/2f_c$ , onde  $f_c$  indica a frequência de corte).

Quando  $1/T_A = f_c$ , a frequência é conhecida como "Classe de Amostras de Nyquist".

Multiplicando o pulso emitido por (85), multiplicação essa, / que tem sentido somente no espaço  $\mathcal{S}$  definido em 2.1.4 do capítulo II deste trabalho, ou seja, dentro da teoria das distribuições, figura (3.III), temos:

$$f(t) = \cos(2\pi ft) \quad (86)$$

$$\begin{aligned} f(t)\Delta_0(t) &= f(t) \sum_{n=-\infty}^{\infty} \delta(t - nT_A) \\ &= \sum_{n=-\infty}^{\infty} f(nT_A) \delta(t - nT_A) \end{aligned} \quad (87)$$

O truncamento é feito pela multiplicação da função amostrada/ pela função retangular da Fig. (3.IV)

$$x(t) = \begin{cases} 1 & \text{para } -T/2 < t < T/2 + T_0 \\ 0 & \text{para outros valores} \end{cases} \quad (88)$$

$$f(t)\Delta_0(t)x(t) = \left[ \sum_{n=-\infty}^{\infty} f(nT_A) \delta(t - nT_A) \right] x(t) \quad (89)$$

$$= \sum_{k=0}^{N-1} f(kT_A) \delta(t - kT_A) \quad (90)$$

Para eliminar o "rippling" definido por [07], introduzido pelo truncamento da função no domínio do tempo, precisamos amostrar a função / truncada (90), convolvendo-a com o trem de pulsos definido por:(Fig.(3.V))

$$\Delta_1(t) = T_0 \sum_{r=-\infty}^{\infty} \delta(t - rT_0) \quad (91)$$

onde  $T_0$  representa a duração da função truncada.

$$[f(t)\Delta_0(t)x(t)] * \Delta_1(t) = \left[ \sum_{k=0}^{N-1} f(kT_A) \delta(t - kT_A) \right] * \left[ T_0 \sum_{r=-\infty}^{\infty} \delta(t - rT_0) \right] \quad (92)$$

Desenvolvendo a convolução, do lado direito da igualdade, [07] temos

$$\tilde{f}(t) = T_0 \sum_{r=-\infty}^{\infty} \left[ \sum_{k=0}^{N-1} f(kT_A) \delta(t - kT_A - rT_0) \right] \quad (93)$$

onde  $\tilde{f}$  representa uma aproximação de  $f(t)$ . (Fig. (3.VI))

A transformada de Fourier de uma função periódica é dada pela seqüência de impulsos equidistantes [07], [13]

$$F(n/T_0) = \sum_{n=-\infty}^{\infty} C_n (f - nf_0), \text{ com } f_0 = 1/T_0, \quad (95)$$

onde  $C_n$  representam os coeficientes de Fourier, complexos, isto é,

$$C_n = (1/T_0) \int_{-T/2}^{T/2} f(t) e^{-j2\pi nt/T_0} dt, \quad n = 0, 1, 2, \dots \quad (95)$$

Substituindo-se  $\tilde{f}(t) = f(t)$  pelo valor dado na expressão / (93), chegamos a

$$C_n = (1/T_0) \int_{-T/2}^{T_0-T/2} T_0 \sum_{m=-\infty}^{\infty} \sum_{k=0}^{N-1} f(kT_A) \delta(t - kT_A - rT_0) e^{-j2\pi n t / T_0} dt. \quad (96)$$

Desenvolvendo a integração de (96) sobre um único período, / [07] temos que:

$$\begin{aligned} C_n &= \sum_{k=0}^{N-1} f(kT_A) \int_{-T/2}^{T_0-T/2} e^{-j2\pi n t / T_0} \delta(t - kT_A) dt \\ &= \sum_{k=0}^{N-1} f(kT_A) e^{-j2\pi n k T_A / T_0} \end{aligned} \quad (97)$$

Como  $T_0 = NT_A$ , podemos reescrever (97) como

$$C_n = \sum_{k=0}^{N-1} f(kT_A) e^{-j2\pi n k / N}, \text{ com } n = 0, 1, 2, \dots \quad (98)$$

Finalmente, a transformada de Fourier da equação (93) é dada por

$$\tilde{F}(n/NT_A) = \sum_{n=-\infty}^{\infty} \sum_{k=0}^{N-1} f(kT_A) e^{-j2\pi n k / N} \quad (99)$$

Sabemos, ainda que,

$$e^{-j2\pi k} = \cos 2\pi k - j \sin 2\pi k = 1, \text{ para qualquer inteiro.}$$

Isso nos leva a situação de podermos avaliar somente N valores distintos para a equação (93).

A função  $\tilde{F}(n/NT_A)$  é periódica de período N amostras, o que equivale a expressar a transformada de Fourier da equação (99) por:

$$\tilde{F}(n/NT_A) = \sum_{k=0}^{N-1} f(kT_A) e^{-j2\pi n k / N}, \text{ com } n = 0, 1, 2, \dots, N-1 \quad (100)$$

A equação (100) representa uma aproximação da transformada / de Fourier contínua e podemos representá-la por:

$$F(n/NT_A) = \sum_{k=0}^{N-1} f(kT_A) e^{-j2\pi n k / N}, \text{ com } n = 0, 1, \dots, N-1 \quad (101)$$

onde a transformada de Fourier da função  $f(kT_A)$  periódica e amostrada é  $N(n/NT_A)$ .

A transformada de Fourier discreta e inversa é dada pela relação (conforme [07], [06] e [14]),

$$f(kT_A) = (1/N) \sum_{k=0}^{N-1} F(n/NT_A) e^{j2\pi nk/N}, \text{ com } k = 0, 1, \dots, N-1 \quad (102)$$

O espectro resultante da expressão (101), representa uma aproximação daquele obtido da expressão (84).

Quando o intervalo de truncamento é escolhido igual a um múltiplo do período da  $f(t)$ , a função amostrada no domínio da frequência com impulsos equidistantes e separados por  $1/T_0$  tem os seus zeros coincidentes com aqueles da função  $\text{sen}(f)/f$ , exceto no primeiro impulso, o qual corresponde ao impulso no domínio da frequência da função original  $f(t) = \cos \omega t$ . Essa escolha, tem a vantagem de não alterar a transformada discreta de Fourier.

Um exame das figuras (3.V) e (3.VI), mostra que nos tomamos a nossa função original no domínio do tempo, amostramo-la e multiplicamos cada amostra pelo valor  $T_0$ .

A transformada de Fourier dessa função no domínio da frequência tem as respectivas amplitudes multiplicadas pelo fator  $T_0/2T_A$ . O fator  $T_0$  é comum e pode ser eliminado.

Finalmente, se desejarmos computar a transformada de Fourier, através da transformada discreta de Fourier precisamos multiplicar a função discreta no tempo pelo valor  $T_A$ . Podemos então, reescrever a expressão (101), como

$$F(n/NT_A) = T_A \sum_{k=0}^{N-1} f(kT_A) e^{-j2\pi nk/N}, \text{ com } n = 0, 1, \dots, N-1 \quad (103)$$

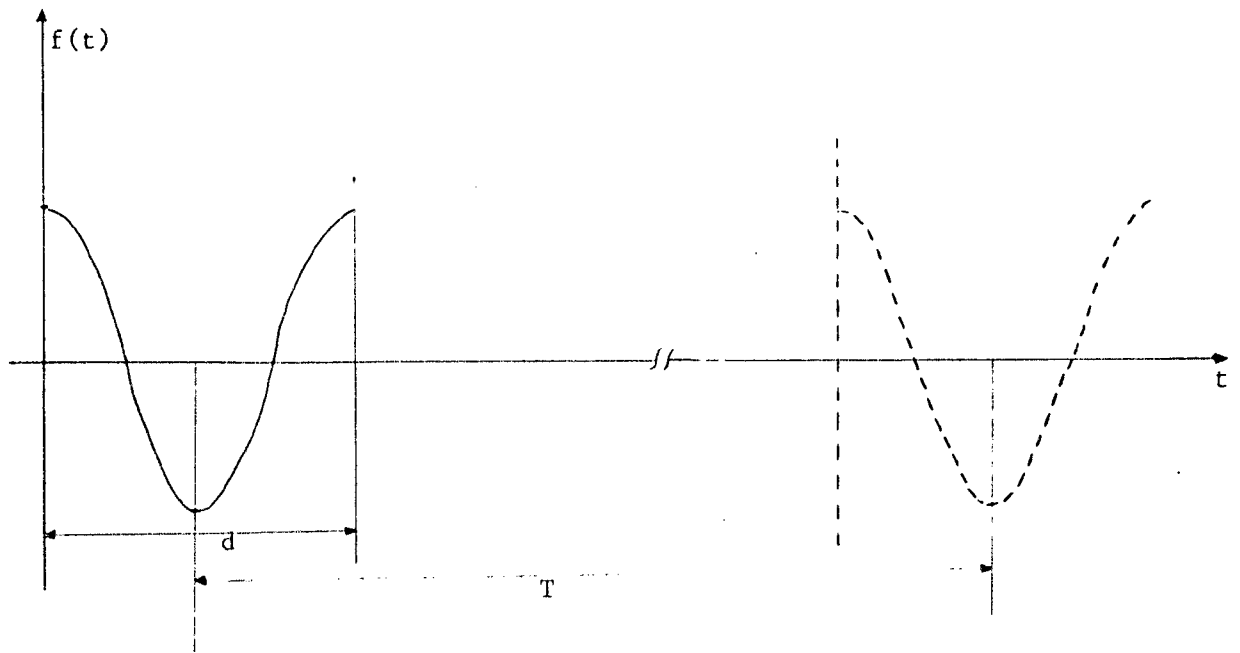


Fig.(3.I) - Pulso emitido  $f_o(t) = \cos \omega t$   
 $d = 1/f = 25$  micro-segundos  
 $T = 1263$  micro-segundos = PRP =  $1/792$  vezes/seg.

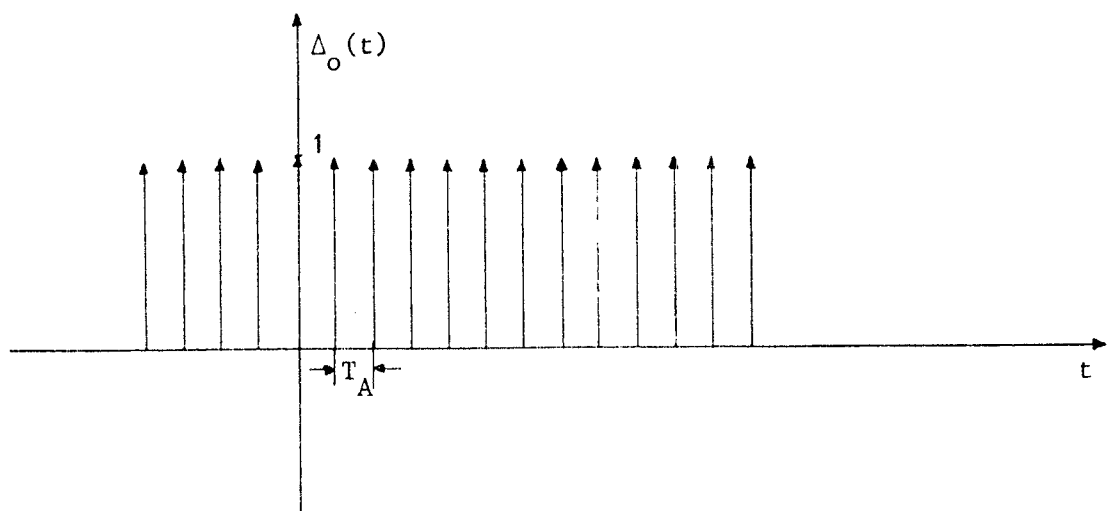


Fig.(3.II) - Trem de pulsos (85)

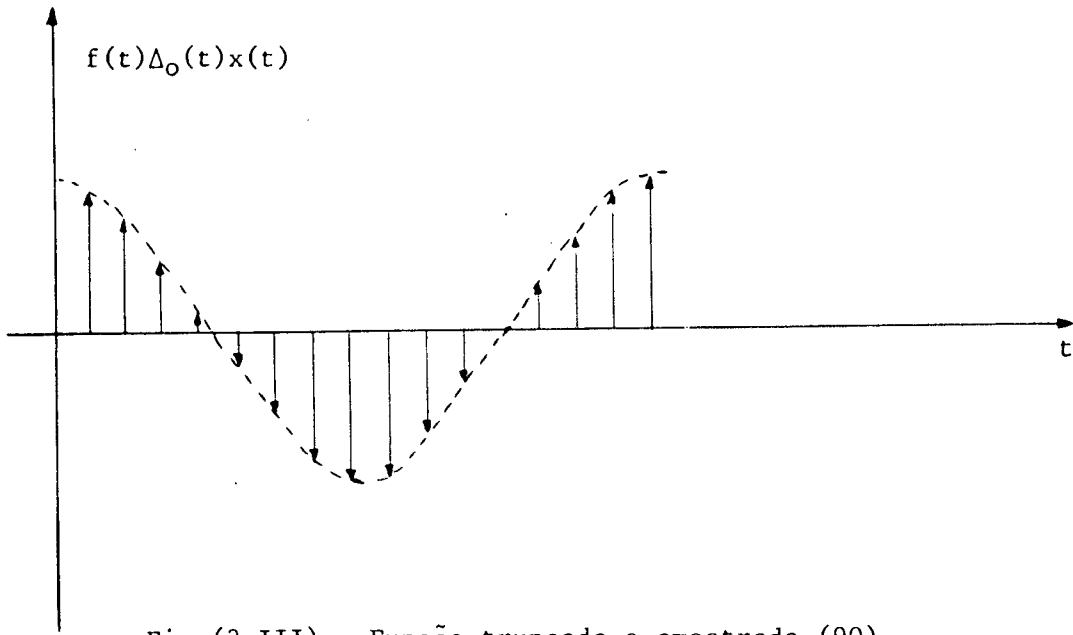


Fig.(3.III) - Função truncada e amostrada (90)

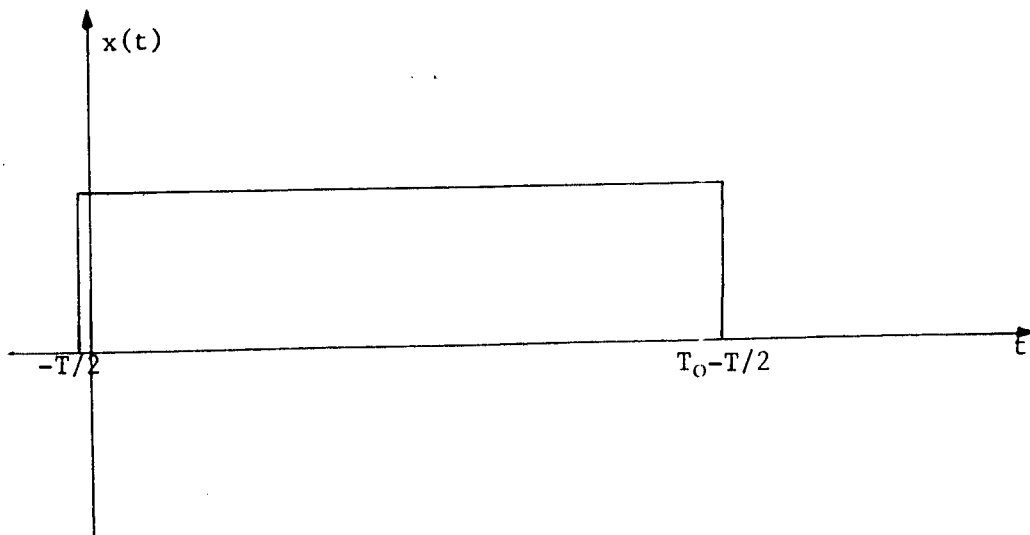


Fig. (3.IV) - Função de truncamento (88)

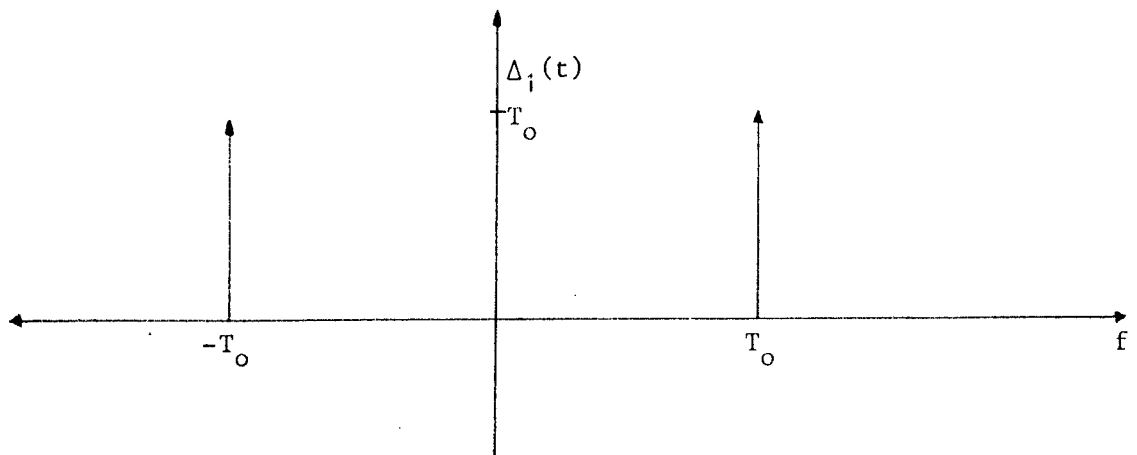


Fig. (3,V) - Trem de pulsos (91)

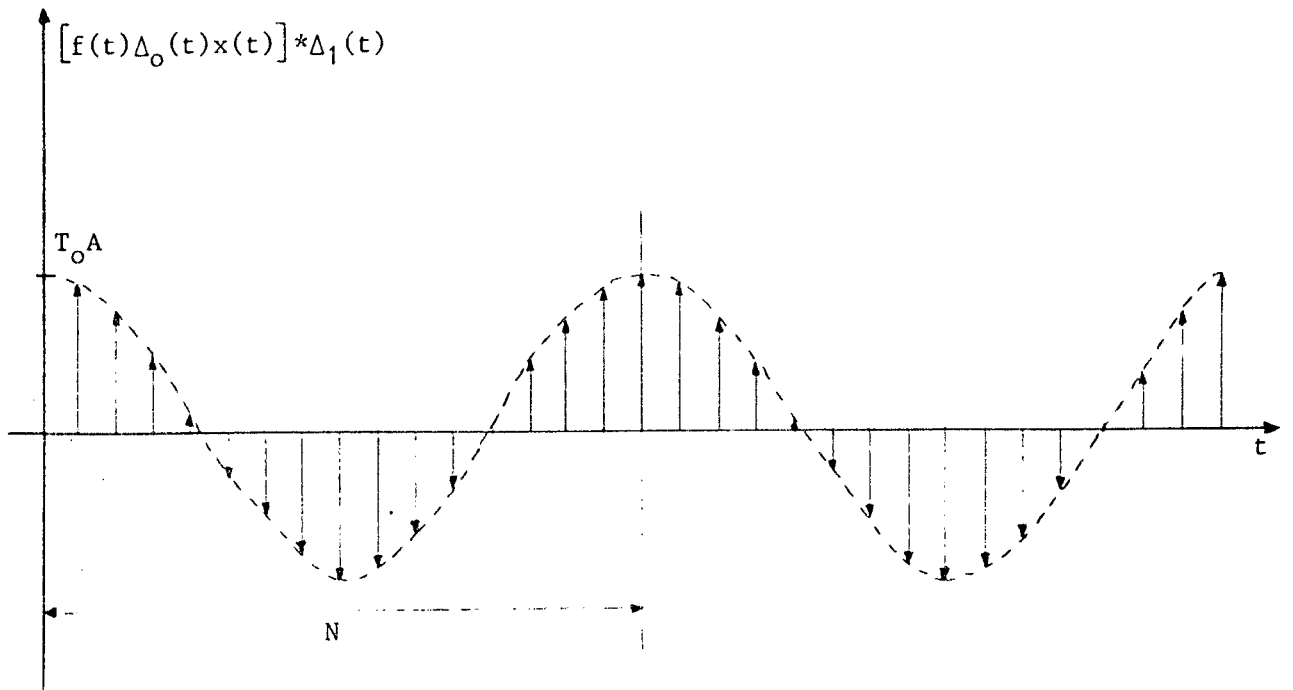


Fig. (3,VI) - Função  $\tilde{f}(t)$  aproximadamente igual a  $f(t)$  dentro do intervalo de truncamento



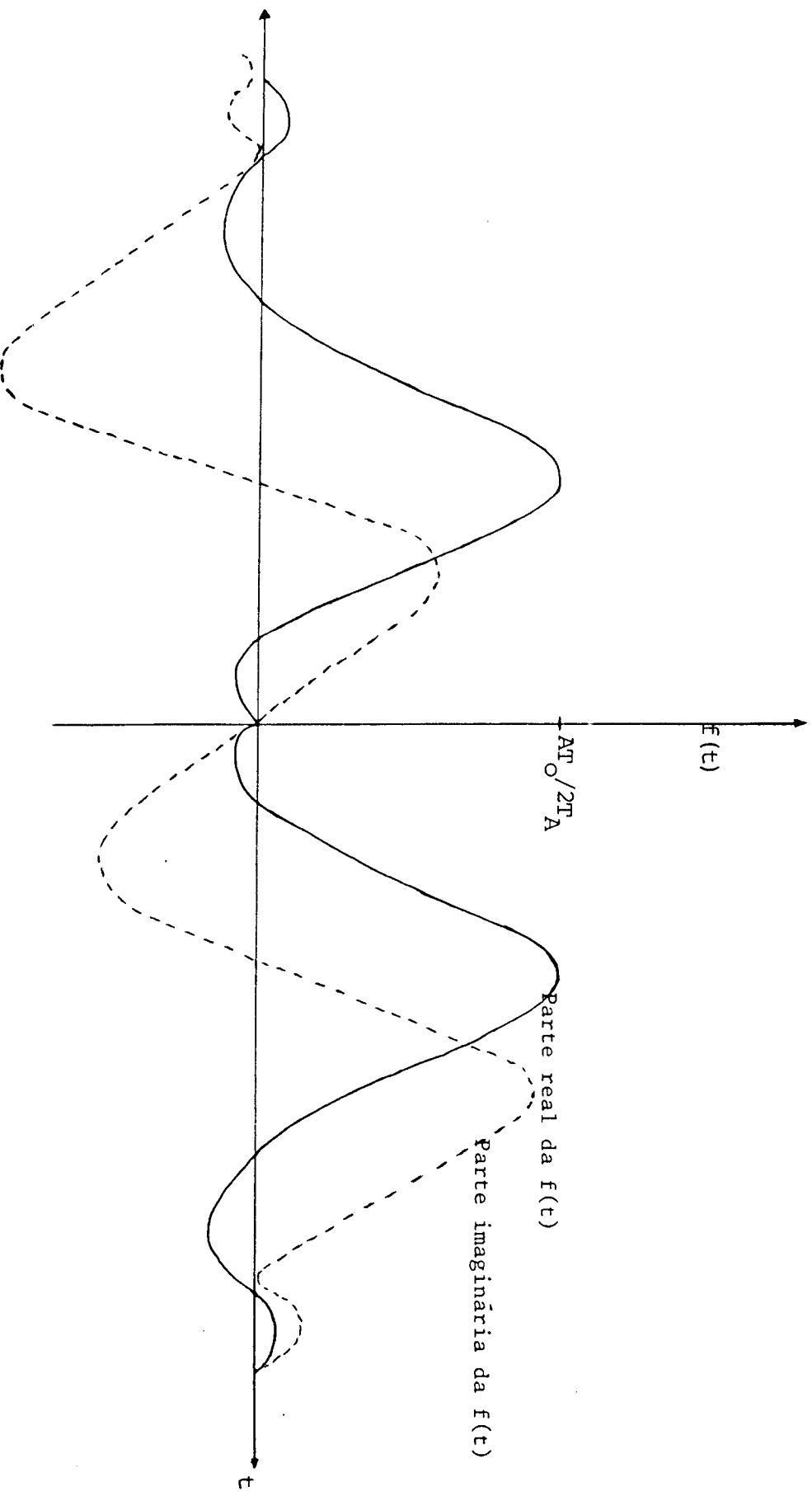


Fig. (3.VII) - A função  $\tilde{F}(n/NT_A)$ , transformada de Fourier de  $f(t)$ , destacando as partes real e imaginária, sendo que esta última aparece em função do deslocamento da  $f$  em relação a origem (truncamento).

### 3.2 - Espectros dos pulsos recuperados:

Os pulsos recuperados pelo aparelho recuperador de informação onda de terra e onda ionosférica, respectivamente, são amostrados pelo referido aparelho, com um período de amostragem  $T_A = 2$  micro segundos.

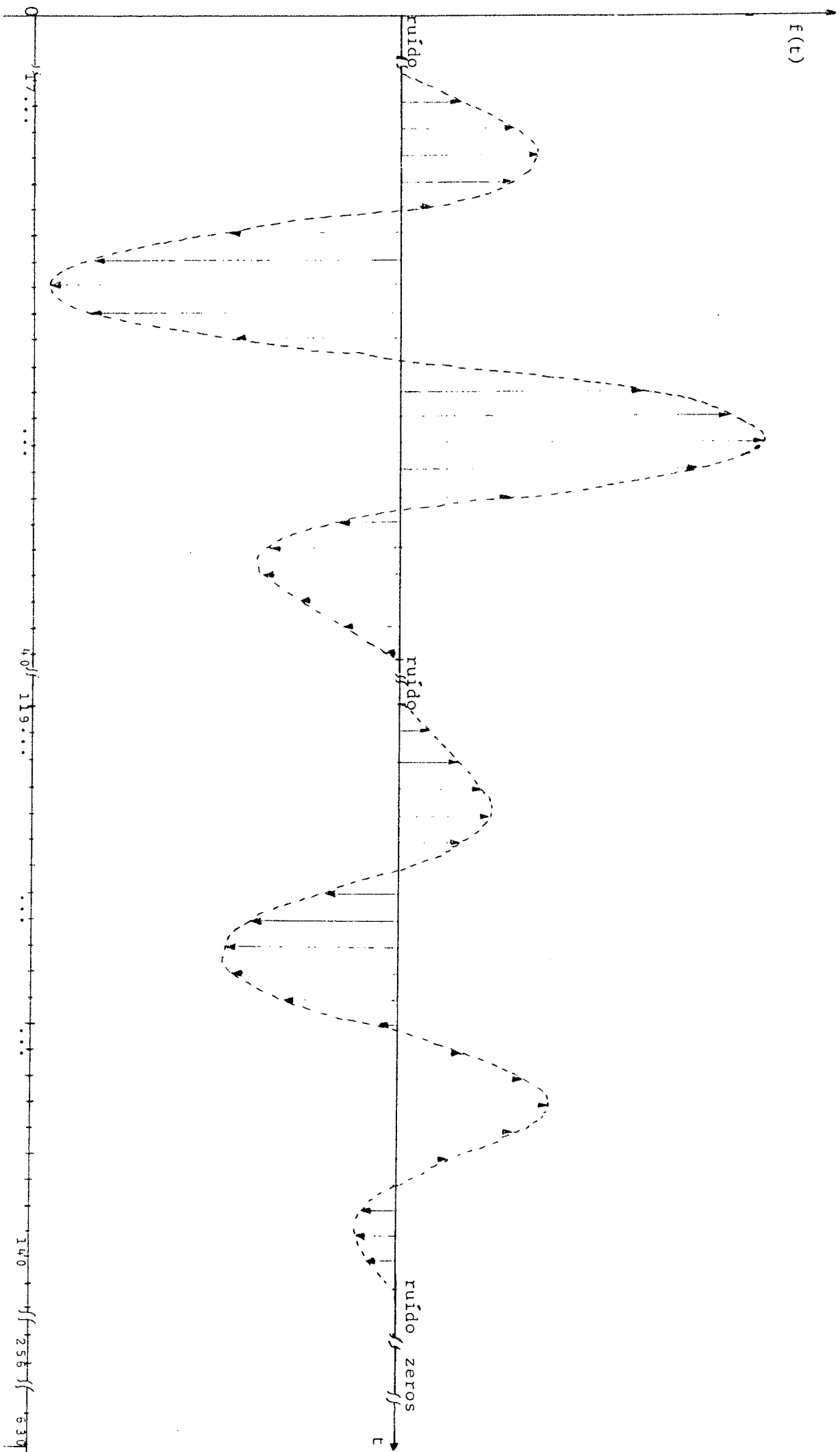
A amostragem efetuada pelo aparelho está de acordo com o teorema da amostragem, ou seja  $T_A > 1/2f_c$ , onde  $f_c$  é a componente de maior frequência da transformada de Fourier contínua  $f(t)$ .

O período de repetição do pulso,  $T$  é da ordem de 1263 microsegundos, enquanto que o tempo de varredura é de 512 microsegundos e o tempo de espera para o engatilhamento do próximo pulso é de 751 microsegundos. O número de amostras  $N$  é obtido pelo quociente entre o período de repetição do pulso e o período de amostragem do aparelho. ( $N = T/T_A$ ).

Durante o tempo de varredura o aparelho recupera os pulsos / correspondentes a onda de terra e onda ionosférica, respectivamente. Ambas / vêm acompanhadas de ruídos aleatórios.

No apêndice C deste trabalho, acrescentamos uma tabela contendo as amplitudes, bem como altura e reflexão dos sinais recuperados. Esses / valores são aqueles tomados por base para os gráficos apresentados no capítulo IV, no correspondente desenvolvimento dos valores obtidos através do computador.

Na figura (3.VIII) mostramos os pulsos recuperados, sem esboçar o ruído, enquanto que na figura referida, os valores estão de acordo / com aqueles registrados pelo aparelho recuperador de informação e colocados / no apêndice "C" deste trabalho. Procuramos salientar na figura (3.VIII) os espaços relativos aos valores correspondentes ao ruído captado.



3.2.1 - Obtenção do Espectro dos Pulsos Recuperados Usando Usando a Transformada Rápida de Fourier.

Podemos obter os coeficientes da transformada discreta de Fourier através da transformada rápida de Fourier, para o que foram desenvolvidos os algoritmos por Sande-Tukey [07], Cooley-Tukey [05], [07] e Sande-Gentleman [08], dentre outros.

Para o desenvolvimento deste trabalho, usaremos o algoritmo na versão de Sande (Sande-Gentleman, 1966 [08]), baseado na equação (70) citada no capítulo II.

$$\text{Fazendo } N = p_1 p_2 p_3 p_4 p_5$$

$$n = n_4 + n_3 p_5 + n_2 p_4 p_5 + n_1 p_3 p_4 p_5 + n_0 p_2 p_3 p_4 p_5 \tag{104}$$

$$k = k_0 + k_1 p_1 + k_2 p_1 p_2 + k_3 p_1 p_2 p_3 + k_4 p_1 p_2 p_3 p_4$$

com:

$$\begin{aligned} n_0, k_0 &= 0, 1, \dots, p_1 - 1 \\ n_1, k_1 &= 0, 1, \dots, p_2 - 1 \\ n_2, k_2 &= 0, 1, \dots, p_3 - 1 \\ n_3, k_3 &= 0, 1, \dots, p_4 - 1 \\ n_4, k_4 &= 0, 1, \dots, p_5 - 1 \end{aligned}$$

Usando os valores dados acima, reescrevemos a equação (70), como.

$$\begin{aligned} X(n_4 + n_3 p_5 + n_2 p_4 p_5 + n_1 p_3 p_4 p_5 + n_0 p_2 p_3 p_4 p_5) &= \sum_{k_0=0}^{p_1-1} \sum_{k_1=0}^{p_2-1} \sum_{k_2=0}^{p_3-1} \sum_{k_3=0}^{p_4-1} \sum_{k_4=0}^{p_5-1} \cdot \\ \cdot x(k_0 + k_1 p_1 + k_2 p_1 p_2 + k_3 p_1 p_2 p_3 + k_4 p_1 p_2 p_3 p_4) &\cdot e^{\left[ \frac{(n_4 + n_3 p_5 + n_2 p_4 p_5 + n_1 p_3 p_4 p_5 + n_0 p_2 p_3 p_4 p_5) \cdot (k_0 + k_1 p_1 + k_2 p_1 p_2 + k_3 p_1 p_2 p_3 + k_4 p_1 p_2 p_3 p_4)}{p_1 p_2 p_3 p_4 p_5} \right]} \end{aligned} \tag{105}$$

Através da propriedade da exponencial,  $e(X) = 1$  para qualquer / inteiro, podemos simplificar a expressão (105), obtendo.

$$\begin{aligned}
 X(n_4+n_3p_5+n_2p_4p_5+n_1p_3p_4p_5+n_0p_2p_3p_4p_5) &= \sum_{k_0=0}^{p_1-1} e^{\left[\frac{n_0k_0}{p_1}\right]} \cdot \sum_{k_1=0}^{p_2-1} e^{\left[\frac{n_1(k_0+k_1p_1)}{p_1p_2}\right]} \cdot \\
 &\sum_{k_2=0}^{p_3-1} e^{\left[\frac{n_2(k_0+k_1p_1+k_2p_1p_2)}{p_1p_2p_3}\right]} \sum_{k_3=0}^{p_4-1} e^{\left[\frac{n_3(k_0+k_1p_1+k_2p_1p_2+k_3p_1p_2p_3)}{p_1p_2p_3p_4}\right]} \sum_{k_4=0}^{p_5-1} \\
 &\cdot e^{\left[\frac{n_4(k_0+k_1p_1+k_2p_1p_2+k_3p_1p_2p_3+k_4p_1p_2p_3p_4)}{p_1p_2p_3p_4p_5}\right]} x(k_0+k_1p_1+k_2p_1p_2+k_3p_1p_2p_3+k_4p_1p_2p_3p_4)
 \end{aligned}
 \tag{106}$$

Fatorando a expressão (106), podemos colocar os fatores de / giro, denominados de "Twiddle Factors" por Sande (Sande-Gentlemann, 1966/ [08]), para o lado de fora dos somatários:

$$\begin{aligned}
 X(n_4+n_3p_5+n_2p_4p_5+n_1p_3p_4p_5+n_0p_2p_3p_4p_5) &= \sum_{k_0=0}^{p_1-1} e^{\left[\frac{n_0k_0}{p_1}\right]} \cdot e^{\left[\frac{n_1k_0}{p_1p_2}\right]} \sum_{k_1=0}^{p_2-1} e^{\left[\frac{n_1k_1}{p_1}\right]} \cdot \\
 &e^{\left[\frac{n_2(k_0+k_1p_1)}{p_1p_2p_3}\right]} \sum_{k_2=0}^{p_3-1} e^{\left[\frac{n_2k_2}{p_3}\right]} e^{\left[\frac{n_3(k_0+k_1p_1+k_2p_1p_2)}{p_1p_2p_3p_4}\right]} \sum_{k_3=0}^{p_4-1} e^{\left[\frac{n_3k_3}{p_4}\right]} \cdot \\
 &\cdot e^{\left[\frac{n_4(k_0+k_1p_1+k_2p_1p_2+k_3p_1p_2p_3)}{p_1p_2p_3p_4p_5}\right]} \sum_{k_4=0}^{p_5-1} e^{\left[\frac{n_4k_4}{p_5}\right]} x(k_0+k_1p_1+k_2p_1p_2+k_3p_1p_2p_3+ \\
 &+ k_4p_1p_2p_3p_4)
 \end{aligned}
 \tag{107}$$

Substituindo os valores numéricos nos respectivos coeficientes, temos para equação (107):

$$N = 630; \quad p_1 = 2, \quad p_2 = 3, \quad p_3 = 3, \quad p_4 = 5, \quad p_5 = 7 \quad (\text{fatores primos de } N)$$

$$\begin{aligned}
 X(n_4+7n_3+35n_2+105n_1+315n_0) &= \sum_{k_0=0}^1 e^{\left[\frac{n_0k_0}{2}\right]} e^{\left[\frac{n_1k_0}{6}\right]} \sum_{k_1=0}^2 e^{\left[\frac{n_1k_1}{3}\right]} e^{\left[\frac{n_2(k_0+2k_1)}{18}\right]} \\
 &\sum_{k_2=0}^2 e^{\left[\frac{n_2k_2}{3}\right]} e^{\left[\frac{n_3(k_0+2k_1+6k_2)}{90}\right]} \sum_{k_3=0}^4 e^{\left[\frac{n_3k_3}{5}\right]} e^{\left[\frac{n_4(k_0+2k_1+6k_2+18k_3)}{630}\right]} \sum_{k_4=0}^6 \\
 &\cdot e^{\left[\frac{n_4k_4}{7}\right]} \cdot x(k_0+2k_1+6k_2+18k_3+90k_4)
 \end{aligned}
 \tag{108}$$

Podemos representar a transformada de Fourier complexa, através duma multiplicação de matriz,  $X = Tx$ , onde  $T$  representa a matriz  $N \times N$  / de exponenciais complexas, definida por

$$t_{nk} = \exp(j2\pi nk/N), \text{ com } k = 0, 1, \dots, N-1, \quad (109)$$

Usando o algoritmo da transformada rápida de Fourier, nós fatoramos a matriz  $T$  em

$$T = PF_m \dots F_1 \quad (110)$$

onde  $F_i$  representa o passo da transformada correspondendo ao fator  $p_i$  de  $N$  e  $P$  representa a matriz de permutações.

As matrizes  $F_i$  têm somente  $p_i$  elementos diferentes de zero em cada linha e cada coluna, e podem ser particionadas em  $N/p_i$  submatrizes quadradas de dimensão  $p_i$ . As partições são resultantes das reduções das multiplicações, as quais formam a base da transformada rápida de Fourier.

Cada matriz  $F_i$  pode ser particionada em  $F_i = R_i T_i$  (111), onde  $R_i$  são as matrizes diagonais formadas pelos fatores de giro, mostrados na equação (107), e  $T_i$  pode também ser particionada em  $N/p_i$  submatrizes quadradas e idênticas a cada uma das matrizes da transformada de Fourier complexa/ de dimensão  $p_i$ .

A matriz de permutação  $P$  é usada porque a transformada resulta inicialmente, na ordem do "bit-inverso", conforme definido em [05], [07] e [08]; i.e., os coeficientes de Fourier  $C_n$ , com

$$n = n_{m-1}p_{m-1} \dots p_1 + \dots + n_2 p_1 + n_0$$

são encontrados na ordem (112)

$$n' = n_0 p_2 \dots p_m + n_1 p_3 \dots p_m + \dots + n_{m-1}$$

Apresentamos no apêndice E, os gráficos simplificados, correntemente denominados de "borboletas", relativos as computações básicas efetuadas em cada um dos nós do gráfico de fluxo de sinal que representa a FFT com as operações complexas reduzidas. Os gráficos apresentados no referido apêndice não foram desenvolvidos de acordo com o algoritmo na versão de Sande, mas/ sim, estão fundamentados na subdivisão da sequência de dados amostrados  $N$  em  $n$  subsequências, cada uma delas correspondendo ao respectivo fator primo de  $N$  (número de amostras). [11].

## CAPÍTULO IV

### 4.0 - Introdução e Justificativa.

Desenvolvemos neste capítulo um programa para computar os coeficientes da DFT, através da FFT, aplicada à equação (25).

O nosso número de amostras  $N$ , determinado pelo aparelho recuperador de informação, citado na introdução deste trabalho, é fatorável em fatores primos arbitrários.

Este trabalho consiste em adaptar as subrotinas apresentadas / por Singleton (Singleton, Richard C., 1968 [16]), tornando-as aplicáveis ao nosso problema de características particulares, bem como introduzir um pruning de zeros [32] para diminuir o tempo de computação (tempo de CPU).

As modificações e a introdução do "pruning" não alteram os resultados finais esperados. Todas as computações são realizadas "in loco" [05], [07].

### 4.1 - Desenvolvimento do Programa.

O algoritmo da transformada rápida de Fourier, conforme explicações e cálculos desenvolvidos, respectivamente, nos capítulos II e III deste trabalho, se adapta a computação de expressões como,

$$X(n) = \sum_{k=0}^{N-1} x(k) e^{-j2\pi nk/N}, \quad k = 0, 1, \dots, N-1, \quad (118)$$

onde as sequências  $\{X(n)\}$  e  $\{x(k)\}$  são sequências de números complexos.

A subrotina FFT foi desenvolvida em [16], para computar os coeficientes da DFT, através da FFT, especialmente quando o número de amostras  $N$  é composto por fatores primos arbitrários. Essa subrotina também pode ser usada para computar a transformada inversa.

O desenvolvimento da referida subrotina foi feito com base na fatoração de Sande (Sande-Gentleman, 1966, [08]), apresentado na equação /

(70) e desenvolvida no ítem 3.2 deste trabalho.

A sequência dos cálculos seguida pela subrotina da FFT não / coincide com aquela apresentada na equação (108), razão pela qual introduzi- / mos algumas modificações na mesma.

A fatoração da matriz P de permutação, pode ser feita "in lo- / co", desde que N seja fatorado<sup>2</sup> em

$$p_i = p_{m-i}, \text{ para } i < p-i$$

Neste caso, n será encontrado na ordem natural e n' na ordem do "bit-inverso", / procedendo-se então à respectiva troca de  $C_n$  com  $C_{n'}$ , se  $n < n'$ .

Esse método consiste numa generalização do método reordenar / os resultados da transformada rápida de Fourier de fatores todos iguais a 2 ( / base dois).

Antes de computar os coeficientes da transformada de Fourier , / é necessário calcular os fatores primos de N, colocando os repetidos (fatores- / elevados ao quadrado) em posição de simetria com relação aos demais fatores.

A matriz de permutação P é decomposta em outras duas matrizes / correspondentes a dois passos, ou seja  $P = P_1 P_2$ . A permutação  $P_1$  está associ- / ada com os fatores quadrados de N, cuja troca é feita do seguinte modo:

$N = p_1 p_2 p_3 p_4 p_5$ , com  $p_1 = p_5$  e  $p_2, p_3, p_4$  relativamente primos, são trocados / de forma que

$$n = n_4 p_5 p_4 \dots p_1 + n_3 p_4 \dots p_1 + \dots + n_1 p_1 + n_0$$

e

$$n' = n_0 p_5 p_4 \dots p_1 + n_1 p_4 \dots p_1 + \dots + n_3 p_1 + n_4$$

(119)

A permutação  $P_1$  neste caso conduz cada elemento resultante da / divisão dos elementos da subsequência  $N/p_1$ , agrupando-os em subsequências de /  $p_1$  elementos consecutivos.

A permutação  $P_2$  completa então o reordenamento, permutando as /  $p_2 p_3 p_4$  subsequências dentro de cada divisão  $N/p_1$ . Na subrotina FFT a permu- / tação  $P_2$  é concluída fazendo primeiro a determinação dos ciclos de permutação / para o "bit-inverso" dos dígitos correspondentes aos fatores livres de quadra- / dos, permutando a seguir todos os dados, seguindo esse ciclo[16].

A expressão (108) pode ser reescrita, colocando os fatores pri- / mos quadrados na posição de simetria.

$$N = 630 = p_1 p_2 p_3 p_4 p_5 = 3 \times 2 \times 5 \times 7 \times 3$$

com  $p_1 = 3$ ;  $p_2 = 2$ ;  $p_3 = 5$ ;  $p_4 = 7$  e  $p_5 = 3$ :

temos então,

<sup>2</sup> SINGLETON, R.C., "ON COMPUTING THE FAST FOURIER TRANSFORM". Commun, ACM. vol. / 10 pág. 647-654. october 1967.



$$\begin{aligned}
 X(n_4+3n_3+21n_2+105n_1+210n_0) = & \sum_{k_0=0}^2 e^{\left[\frac{n_0 k_0}{3}\right]} e^{\left[\frac{n_1 k_0}{6}\right]} \sum_{k_1=0}^1 e^{\left[\frac{n_1 k_1}{2}\right]} e^{\left[\frac{n_2 (k_0+3k_1)}{30}\right]} \\
 & \sum_{k_2=0}^4 e^{\left[\frac{n_2 k_2}{5}\right]} e^{\left[\frac{n_3 (k_0+3k_1+6k_2)}{210}\right]} \sum_{k_3=0}^6 e^{\left[\frac{n_3 k_3}{7}\right]} e^{\left[\frac{n_4 (k_0+3k_1+6k_2+30k_3)}{630}\right]} \sum_{k_4=0}^2 \\
 & e^{\left[\frac{n_4 k_4}{3}\right]} \cdot x(k_0+3k_1+6k_2+30k_3+210k_4) \tag{120}
 \end{aligned}$$

Efetua-se assim, a fatoração da matriz  $F_i$  com a aplicação do fator de giro, o qual explora a simetria das funções seno e cosseno, conforme (111). Em outras palavras, fatorando-se a transformada de Fourier de  $F_i$  / correspondente ao fator  $p_i$  de  $N$ , do que resulta no produto  $R_i T_i$ , de  $T_i$  uma/matriz idêntica à transformada  $N/p_i$  de dimensão  $p_i$  com a matriz  $R_i$  dos fatores de giro (Twiddle Factor). Usam-se os elementos  $R_i$ , na versão de Sande[08], da FFT, conforme as equações (108) e (120), as quais formam a matriz diagonal definida por

$$r_n = \exp(j2\pi/kk \pmod k [n \pmod kk]/k), \quad n = 0, 1, \dots, N-1, \tag{121}$$

onde  $k = N/p_1 \dots p_i$ ;  $kk = p_i k$  e os colchetes denotam o maior inteiro contido nos referidos.

O fator de giro multiplicando cada transformada de dimensão  $p_i$  dentro da matriz  $T_i$ , tem ângulos  $0, \theta, 2\theta, \dots, (p_i-1)\theta$ , onde  $\theta$  pode diferir de uma transformada para outra, conforme o passo correspondente a cada um dos fatores primos de  $N$ .

Na transformada, correspondendo ao passo  $T_i$  existem  $N(p_i-1)/p_i$  multiplicações complexas. O número de multiplicações complexas envolvendo a aplicação do fator de giro  $R_i$  é dado pela fórmula, [16]

$$\sum_{i=1}^m \frac{N(p_i-1)}{p_i} = (N-1) \tag{122}$$

onde  $m$  representa o número de fatores de  $N$ , e na expressão (122) consideramos a existência de multiplicação para os ângulos nulos ( $\theta=0$ ). O número de multiplicações complexas obtido através da equação (122) precisa ser somado/ao das multiplicações correspondentes ao passo  $T_i$ .

A computação dos valores das funções trigonométricas seno e cosseno é feita através da equação de diferenças

$$\beta_{k+1} = \beta_k + \eta\beta_k \tag{123}$$

onde  $\beta_k$  representa a sequência dos valores computados de  $\exp(j\theta)$ , enquanto /

que o fator  $\eta$  é dado por

$$\eta = \exp(j\theta) - 1 = -2\text{sen}(\theta/2) + j\text{sen}(\theta). \quad (124)$$

Usando as equações (123) e (124), dispensamos os respectivos valores dessas funções armazenados na biblioteca do computador.

Pelas características do computador usado neste trabalho, optamos pelo cálculo com "arrendondamento aritmético de ponto flutuante", ao invés do "truncamento aritmético".

Um estudo detalhado da vantagem do uso do arrendondamento aritmético de ponto flutuante, foi feita por Sande (Sande-Gentlemann, 1966, [08]), enquanto que Singleton (Singleton, R.C., 1969, [16]) apresentou tabelas comparativas do uso dos dois métodos mencionados.

Em cada um dos passos  $T_i$  a transformada complexa de Fourier é fatorada por:

$$\begin{aligned} a_k + jb_k &= \sum_{n=0}^{p_i-1} (x_n + jy_n) [\cos(2\pi nk/p_i) + j\text{sen}(2\pi nk/p_i)] \quad (125) \\ &= x_0 + \sum_{n=1}^{(p_i-1)/2} (x_n + x_{p_i-n}) \cos(2\pi nk/p_i) - \sum_{n=1}^{(p_i-1)/2} (y_n + y_{p_i-n}) \text{sen}(2\pi nk/p_i) + \\ &\quad j[y_0 + \sum_{n=1}^{(p_i-1)/2} (y_n + y_{p_i-n}) \cos(2\pi nk/p_i) + \sum_{n=1}^{(p_i-1)/2} (x_n - x_{p_i-n}) \text{sen}(2\pi nk/p_i)] \quad (126) \end{aligned}$$

Na fatoração apresentada na equação (126) e naquela devida ao fator de giro apresentada em (122), estão fundamentadas as reduções das operações complexas da computação da FFT. Em [16] encontramos uma análise detalhada das reduções supra citadas, bem como o estudo relativo às respectivas eficiências.

Para acessar a subrotina na computação da transformada de Fourier de uma variável simples com N pontos amostrados, de acordo com as normas do FORTRAN, fazemos "CALL FFT(A, B, N, N, N, 1)", enquanto que para computar a transformada inversa a chamada é "CALL FFT(A, B, N, N, N, -1)", onde o primeiro N representa o número total (NTOT) de dados complexos da entrada, o segundo N representa a quantidade de dados amostrados, o terceiro N representa o espaço entre dois dados consecutivos (NSPAN), usado especificamente quando computamos a transformada de Fourier de várias variáveis. No caso da transformada simples, NTOT=N=NSPAN=NUMERO DE DADOS COMPLEXOS DA ENTRADA.

Os arranjos (matrizes) A e B contêm, respectivamente, as partes real e imaginária dos dados da entrada, indexados de 1 a n, os quais são trocados pelos coeficientes da transformada de Fourier complexa. Assim, a parte real de  $C_n$  é encontrada em A(k+1) e a parte imaginária em B(k+1), / com  $k = 0, 1, 2, \dots, N-1$ .

Os arranjos AT(MAXF), CK(MAXF), BT(MAXF), SK(MAXF) e NP(MAXP) são usados para armazenar temporariamente os valores calculados. MAXF precisa ser maior ou igual ao maior fator primo de N. NFAC tem capacidade máxima para 11 elementos (fatores primos). Quando N possui mais do que um par de fatores livres de quadrados (fatores repetidos), o produto dos fatores repetidos precisa ser menor ou igual a 210.

A subrotina REALTR completa a transformada de Fourier de 2N valores reais (número de amostras), conforme item 2.3.5 do capítulo II deste trabalho.

Os dados da entrada são armazenados alternativamente nos arranjos (matrizes) A e B, e são primeiro transformados para uma transformada de Fourier complexa de dimensão N. Os coeficientes relativos aos cossenos encontrados nas posições A(1), A(2), ..., A(N+1) e aqueles relativos aos senos são encontrados nas posições B(1), B(2), ..., B(N+1).

A chamada das subrotinas, de conformidade com o FORTRAN, é feita na sequência:

```
CALL FFT(A, B, N, N, N, 1)
```

```
CALL REALTR(A, B, N, 1).
```

Os resultados precisam ser multiplicados por  $0,5/N$  para dar o fator de escala usual, ou seja, para manter a aproximação dos valores dos coeficientes da transformada de Fourier contínua.

Para computar a transformada inversa, a chamada é feita na ordem:

```
CALL REALTR(A,B, N, -1)
```

```
CALL FFT(A, B, N, N, N, -1).
```

Neste caso, os resultados precisam ser multiplicados por  $0,5$  para dar o fator de escala usual, conforme equação (103).

Os resultados correspondentes ao domínio do tempo são armazenados alternativamente nos arranjos A e B, i.e., A(1), B(1), ..., A(N), B(N).

#### 4.2 - Programa para Computar os Coeficientes de Fourier.

O nosso programa para computar os coeficientes de Fourier, através da FFT, consiste na adaptação das subrotinas apresentadas por Singleton (Singleton, R.C. 1968, [16]).

Essa adaptação fundamenta-se na eliminação das partes que não são usadas na solução do problema.

Os dados da entrada estão armazenados em um arquivo separado e são aqueles recuperados pelo aparelho recuperador de informação citado na introdução deste trabalho.

No apêndice C, apresentamos os dados referentes a uma das coletas, sendo que esses foram os que usamos para obter os resultados apresentados no final deste capítulo.

No apêndice A apresentamos o fluxograma esclarecido, detalhando todas as partes que compõem o programa principal e as subrotinas.

O programa funciona segundo as explicações colocadas no item 4.1 deste capítulo. Para um estudo mais detalhado do programa, bem como do seu funcionamento, indicamos [16], já que nos limitamos apenas a estudar as partes que se adaptam ao nosso problema de características particulares e citado no capítulo I deste trabalho.

FILED FFTMIV OSVSI AL NUCLEO DE PROCESSAMENTO DE DADOS

```

1
//ASRFFTRM JOB MTM03PSU, 'MTM03.PNTONIU',MSGCLASS=V,CLASS=A,
// MSGLEVEL=(1,1),PRTY=10
//STEP01 EXEC FTGICG,CLASS=V,SIZE=832K
//FORT.SYSIN DD *
C PROGRAMA PRINCIPAL PARA COMPUTAR OS COEFICIENTES DE FOURIER.
C COM VALORES COMPOSTOS.
  DIMENSION A(631),B(631)
  DATA A,0/ 630*0.0,630*0.0/
  READ(5,101) N
101 FORMAT(13)
  READ(5,100)(A(I),I=1,N)
100 FORMAT(10F7.2)
  ITAM=630
  CALL FFT(A,B,ITAM,ITAM,ITAM,1)
  CALL REALTR(A,B,ITAM,1)
  WRITE(6,300)
  WRITE(6,200) (A(L),L=1,ITAM)
  WRITE(6,301)
  WRITE(6,200) (B(L),L=1,ITAM)
200 FORMAT(1P8E15.5)
300 FORMAT(//,10A,'VALORES DE A',//)
301 FORMAT(//,10A,'VALORES DE B',//)
  DO 3 I=1,ITAM
  A(I)=0.5/ITAM*(SQRT(A(I)*A(I)+B(I)*B(I)))
  B(I)=I/DAT(I)
  3 CONTINUE
  WRITE(6,310)
  WRITE(6,305)(A(I),I=1,630)
305 FORMAT(1P8E15.6)
310 FORMAT(//,10X,'VALORES MOD(A(I))',//)
  CALL GRAFIC(3,3,ITAM)
  END
C AS OJAS CONSTANTES SEGUINTE PRECISAM COINCIDIR COM AS DIMENSÕES
  DAS MATRIZES.
  SUBROUTINE FFT(A,B,NTCT,N,NSPAN,ISN)
  DIMENSION AT(23),CK(23),BT(23),SK(23),NP(209)
  DIMENSION A(1),B(1),NFAC(11)
  EQUIVALENCE (I,1)
  MAXI=2)
  MAXP=209
  IF (N .LT. 2) RETURN
  INC=ISN
  RAD=8.9*ATAN(1.0)
  S72=RAD/9.0
  C72=COS(S72)
  S72=SEN(S72)
  S120=SQRT(0.75)
  IF (ISN .GE. 0) GO TO 10
  S72=-S72
  S120=-S120
  RAD=-RAD

```

```

FFTC0010
FFTC0020
FFTC0030
FFTC0040
FFTC0050
FFTC0060
FFTC0070
FFTC0080
FFTC0090
FFTC0100
FFTC0110
FFTC0120
FFTC0180
FFTC0190
FFTC0200
FFTC0210
FFTC0220
FFTC0230
FFTC0240
FFTC0250
FFTC0260
FFTC0270
FFTC0280
FFTC0290
FFTC0300
FFTC0310
FFTC0320
FFTC0330
FFTC0340
FFTC0350
FFTC0360
FFTC0370
FFTC0380
FFTC0390
FFTC0400
FFTC0410
FFTC0420
FFTC0430
FFTC0440
FFTC0450
FFTC0460
FFTC0470
FFTC0480
FFTC0490
FFTC0500
FFTC0510
FFTC0520
FFTC0530
FFTC0540
FFTC0550

```

FILE0 FFTMIV OSVSI A1 NUCLEO DE PROCESSAMENTO DE DADOS

```

INC=-INC
10 NT=INC*NTOT
KS=INC*NSPAN
KSPAN=KS
NV=NT-INC
JC=KS/N
RADF=RAD*FLOAT(JC)*0.5
I=0
JF=0

```

```

FFTC0560
FFTC0570
FFTC0580
FFTC0590
FFTC0600
FFTC0610
FFTC0620
FFTC0630
FFTC0640

```

C DETERMINA OS FATORES DE N

FFTC0650

```

M=0
K=N
GO TO 20
15 M=M+1
NFAC(M)=4
K=K/15
20 IF (K-(K/16)*16 .EQ. 0) GO TO 15
J=3
JJ=9
GO TO 30
25 M = M+1
NFAC(M)=J
K=K/JJ
30 IF (MOD(K,JJ) .EQ. 0) GO TO 25
J=J+2
JJ=J**2
IF (JJ .LE. K) GO TO 30
IF (K .GT. 4) GO TO 40
KT=M
NFAC(M+1)=K
IF (K .NE. 1) M=M+1
GO TO 30
40 IF (K-(K/4)*4 .NE. 0) GO TO 50
M=M+1
NFAC(M)=2
K=K/4
50 KT=M
J=2
60 IF (MOD(K,J) .NE. 0) GO TO 70
M = M+1
NFAC(M)=J
K=K/J
70 J=(J+1)/2+1
IF (J .LE. K) GO TO 60
80 IF (NT .EQ. 0) GO TO 100
J=KT
90 M=M+1
NFAC(M)=NFAC(J)
J=J-1
IF (J .NE. 0) GO TO 90

```

```

FFTC0660
FFTC0670
FFTC0680
FFTC0690
FFTC0700
FFTC0710
FFTC0720
FFTC0730
FFTC0740
FFTC0750
FFTC0760
FFTC0770
FFTC0780
FFTC0790
FFTC0800
FFTC0810
FFTC0820
FFTC0830
FFTC0840
FFTC0850
FFTC0860
FFTC0870
FFTC0880
FFTC0890
FFTC0900
FFTC0910
FFTC0920
FFTC0930
FFTC0940
FFTC0950
FFTC0960
FFTC0970
FFTC0980
FFTC0990
FFTC1000
FFTC1010
FFTC1020
FFTC1030
FFTC1040
FFTC1050

```

C CALCULA A TRANSFORMADA DE FOURIER

FFTC1060

FILED FFTMIV OSVS1 A1. NUCLEO DE PROCESSAMENTO DE DADOS

```

100 SD=RADP/FLD(JAT(KSPAN)
    CD=2.0)*SINISD)*+2
    SD=SINISD+SD)
    KK=1
    I=1+I
    IF(INF(J(I) .NL. 2) GO TO 600
FFTC1070
FFTC1080
FFTC1090
FFTC1100
FFTC1110
FFTC1120

C TRANSFORMADA DO FATOR 2 (INCLUINDO O FATOR DE GIRO)
FFTC1130

    KSPAN=KSPAN/2
    K1=KSPAN+2
210 K2=KK+KSPAN
    AK=A(K2)
    BK=B(K2)
    A(K2)=A(KK)-AK
    B(K2)=B(KK)-BK
    A(KK)=A(KK)+AK
    B(KK)=B(KK)+BK
    KK=K2+KSPAN
    IF(KK .LE. NN) GO TO 210
    KK=KK-NN
    IF(KK .LE. JC) GO TO 210
    IF(KK .GT. KSPAN) GO TO 800
220 C1=1.0-CD
    S1=SD
230 K2=KK+KSPAN
    AK=A(KK)-A(K2)
    BK=B(KK)-B(K2)
    A(KK)=A(KK)+A(K2)
    B(KK)=B(KK)+B(K2)
    A(K2)=C1*AK-S1*BK
    B(K2)=S1*AK+C1*BK
    KK=K2+KSPAN
    IF(KK .LT. NT) GO TO 230
    K2=KK-NT
    C1=-C1
    KK=K1-K2
    IF(KK .GT. K2) GO TO 230
    AK=C1-(CD*C1+SD*S1)
    S1=(SD*C1-CD*S1)+S1
FFTC1140
FFTC1150
FFTC1160
FFTC1170
FFTC1180
FFTC1190
FFTC1200
FFTC1210
FFTC1220
FFTC1230
FFTC1240
FFTC1250
FFTC1260
FFTC1270
FFTC1280
FFTC1290
FFTC1300
FFTC1310
FFTC1320
FFTC1330
FFTC1340
FFTC1350
FFTC1360
FFTC1370
FFTC1380
FFTC1390
FFTC1400
FFTC1410
FFTC1420
FFTC1430
FFTC1440

C AS TRES DECLARAÇÕES, QUE SEGUEM COMPENSAM O ERRO DE TRUNCAMENTO.
FFTC1450
C SE USAR ARREDONDAMENTO ARITMETICA, SUBSTITUA
FFTC1460
C C1=AK
FFTC1470

    C1=0.5/(AK**2+S1**2)+0.5
    S1=C1*S1
    C1=C1*AK
    KK=KK+JC
    IF(KK .LT. K2) GO TO 230
    K1=K1+INC+INC
    KK=(K1-KSPAN)/2+JC
    IF(KK .LE. JC+JC) GO TO 220
    GO TO 100
FFTC1480
FFTC1490
FFTC1500
FFTC1510
FFTC1520
FFTC1530
FFTC1540
FFTC1550
FFTC1560

```

FILEO FFTMTV OSV51 A1 NUCLEO DE PROCESSAMENTO DE DADOS

C TRANSFORMADA DO FATOR 3 (CODIGO OPCIONAL)

```

320 K1=KK+KSPAN
    K2=K1+KSPAN
    IF (NFAC(M).EQ.NFAC(5)) GO TO 330
    IF (KK.GT.21) GJ TO 350
330 AK=A(KK)
    BK=B(KK)
    AJ=A(K1)+A(K2)
    BJ=B(K1)+B(K2)
    A(KK)=AK+AJ
    B(KK)=BK+BJ
    AK=-0.5*AJ+AK
    BK=-0.5*BJ+BK
    AJ=(A(K1)-A(K2))*S120
    BJ=(B(K1)-B(K2))*S120
    A(K1)=AK-BJ
    B(K1)=BK+AJ
    A(K2)=AK+BJ
    B(K2)=BK-AJ
    KK=K2+KSPAN
    IF (KK .LT. NN) GO TO 320
    KK=KK-NN
    IF (KK .LE. KSPAN) GO TO 320
350 KK=21)
    GO TO 700

```

FFTC1570

FFTC1580  
FFTC1590  
FFTC1600  
FFTC1610  
FFTC1620  
FFTC1630  
FFTC1640  
FFTC1650  
FFTC1660  
FFTC1670  
FFTC1680  
FFTC1690  
FFTC1700  
FFTC1710  
FFTC1720  
FFTC1730  
FFTC1740  
FFTC1750  
FFTC1760  
FFTC1770  
FFTC1780  
FFTC1790  
FFTC1800  
FFTC1810

C TRANSFORMADA DO FATOR 5 (CODIGO OPCIONAL)

```

510 C2=C72**2-S72**2
    S2=2.0)*C72*S72
520 K1=KK+KSPAN
    K2=K1+KSPAN
    K3=K2+KSPAN
    K4=K3+KSPAN
    AKP=A(K1)+A(K4)
    AKM=A(K1)-A(K4)
    BKP=B(K1)+B(K4)
    BKM=B(K1)-B(K4)
    AJP=A(K2)+A(K3)
    AJM=A(K2)-A(K3)
    BJP=B(K2)+B(K3)
    BJM=B(K2)-B(K3)
    AA=A(KK)
    BB=B(KK)
    A(KK)=AA+AKP+AJP
    B(KK)=BB+BKP+BJP
    AK=AKP*C72+AJP*C2+AA
    BK=BKP*C72+BJP*C2+BB
    AJ=AKM*S72+AJM*S2
    BJ=BKM*S72+BJM*S2
    A(K1)=AK-BJ
    A(K4)=AK+BJ
    B(K1)=BK+AJ
    B(K4)=BK-AJ

```

FFTC1820

FFTC1830  
FFTC1840  
FFTC1850  
FFTC1860  
FFTC1870  
FFTC1880  
FFTC1890  
FFTC1900  
FFTC1910  
FFTC1920  
FFTC1930  
FFTC1940  
FFTC1950  
FFTC1960  
FFTC1970  
FFTC1980  
FFTC1990  
FFTC2000  
FFTC2010  
FFTC2020  
FFTC2030  
FFTC2040  
FFTC2050  
FFTC2060  
FFTC2070  
FFTC2080



FILED FFTMTV USVS1 A1 NUCLEO DE PROCESSAMENTO DE DADOS...

```

AK=AKP*C2+AJP*C72+AA
BK=BKP*C2+BJP*C72+BB
AJ=AKM*S2-AJM*S72
BJ=BKM*S2-BJM*S72
A(K2)=AK-BJ
A(K3)=AK+BJ
B(K2)=BK-AJ
B(K3)=BK-AJ
KK=K4+KSPAN
IF(KK .LT. NN) GO TO 520
KK=KK-NN
IF(KK .LE. KSPAN) GO TO 520
GO TO 700

```

```

FFTC2090
FFTC2100
FFTC2110
FFTC2120
FFTC2130
FFTC2140
FFTC2150
FFTC2160
FFTC2170
FFTC2180
FFTC2190
FFTC2200
FFTC2210

```

C TRANSFORMADA DOS FATORES IMPARES

```

660 K=NFAC(I)
KSPNN=KSPAN
KSPAN=KSPAN/K
IF(K .EQ. 3) GO TO 320
IF(K .EQ. 5) GO TO 510
IF(K .EQ. JF) GO TO 640
JF=K
S1=RAD/FLOAT(K)
C1=COS(S1)
S1=SIN(S1)
IF(JF .GT. MAXF) GO TO 998
CK(JF)=1.0
SK(JF)=0.0
J=1
630 CK(J)=CK(K)*C1+SK(K)*S1
SK(J)=CK(K)*S1-SK(K)*C1
K=K-1
CK(K)=CK(J)
SK(K)=-SK(J)
J=J+1
IF(J .LT. K) GO TO 630
640 K1=KK
K2=KK+KSPNN
AA=A(KK)
BB=B(KK)
AK=AA
BK=BB
J=1
K1=K1+KSPAN
650 K2=K2-KSPAN
J=J+1
AT(J)=A(K1)+A(K2)
AK=AT(J)+AK
BT(J)=B(K1)+B(K2)
BK=BT(J)+BK
J=J+1
AT(J)=A(K1)-A(K2)
BT(J)=B(K1)-B(K2)
K1=K1+KSPAN

```

```

FFTC2220
FFTC2230
FFTC2240
FFTC2250
FFTC2260
FFTC2270
FFTC2280
FFTC2290
FFTC2300
FFTC2310
FFTC2320
FFTC2330
FFTC2340
FFTC2350
FFTC2360
FFTC2370
FFTC2380
FFTC2390
FFTC2400
FFTC2410
FFTC2420
FFTC2430
FFTC2440
FFTC2450
FFTC2460
FFTC2470
FFTC2480
FFTC2490
FFTC2500
FFTC2510
FFTC2520
FFTC2530
FFTC2540
FFTC2550
FFTC2560
FFTC2570
FFTC2580
FFTC2590
FFTC2600
FFTC2610

```

FILEO FFTMIV OSVS1 AI NUCLEO DE PROCESSAMENTO DE DADOS

IF (K1 .LT. K2) GO TO 650	FFT02620
A(KK)=AK	FFT02630
B(KK)=BK	FFT02640
K1=KK	FFT02650
K2=KK+KSPNN	FFT02660
J=1	FFT02670
660 K1=K1+KSPAN	FFT02680
K2=K2-KSPAN	FFT02690
JJ=J	FFT02700
AK=AA	FFT02710
BK=BB	FFT02720
AJ=0.0	FFT02730
BJ=0.0	FFT02740
K=J	FFT02750
670 K=K+1	FFT02760
AK=AT(K)*CK(JJ)+AK	FFT02770
BK=BT(K)*CK(JJ)+BK	FFT02780
K=K+1	FFT02790
AJ=AT(K)*SK(JJ)+AJ	FFT02800
BJ=BT(K)*SK(JJ)+BJ	FFT02810
JJ=JJ+J	FFT02820
IF (JJ .GT. JF) JJ=JJ-JF	FFT02830
IF (K .LT. JF) GO TO 670	FFT02840
K=JF-J	FFT02850
A(K1)=AK-BJ	FFT02860
B(K1)=BK+AJ	FFT02870
A(K2)=AK+BJ	FFT02880
B(K2)=BK-AJ	FFT02890
J=J+1	FFT02900
IF (J .LT. K) GO TO 660	FFT02910
KK=KK+KSPNN	FFT02920
IF (KK .LE. NN) GO TO 640	FFT02930
KA=KA-NN	FFT02940
IF (KK .LE. KSPAN) GO TO 640	FFT02950
C MULTIPLICA PELL FATOR DE GIRRO(CEXETO, O FATOR 2)	FFT02960
700 IF (I .EQ. M) GO TO 800	FFT02970
KK=JC+1	FFT02980
710 C2=1.0-CD	FFT02990
S1=SD	FFT03000
720 C1=C2	FFT03010
S2=S1	FFT03020
KK=KK+KSPAN	FFT03030
730 AK=A(KK)	FFT03040
A(KK)=C2*AK-S2*B(KK)	FFT03050
B(KK)=S2*AK+C2*B(KK)	FFT03060
KK=KK+KSPNN	FFT03070
IF (KK .LE. NT) GO TO 730	FFT03080
AK=S1*S2	FFT03090
S2=S1*C2+C1*S2	FFT03100
C2=C1*C2-AK	FFT03110
KK=KK-NT+KSPAN	FFT03120
IF (KK .LE. KSPNN) GO TO 730	FFT03130
C2=C1-(C0*C1+SD*S1)	FFT03140



FILEO FFTMIV OSVSI AI NUCLEO DE PROCESSAMENTO DE DADOS

```

JC=K3
890 IF (2*KT+1 .GE. M) RETURN
KSPNN=NP(KT+1)

```

FFT03640  
FFT03650  
FFT03660

C PERMUTACAO PARA OS FATORES DE N, LIVRES DE QUADRADO.

FFT03670

```

J=M-KT
NFAC(J+1)=1
900 NFAC(J)=NFAC(J)*NFAC(J+1)
J=J-1
IF (J .NE. KT) GO TO 900
KT=KT+1
NN=NFAC(KT)-1
IF (NN .GT. MAXP) GO TO 998
JJ=0
J=0
GO TO 906
902 JJ=JJ-K2
K2=KK
K=K+1
KK=NFAC(K)
904 JJ=KK+JJ
IF (JJ .GE. K2) GO TO 902
NP(J)=JJ
906 K2=NFAC(KT)
K=KT+1
KK=NFAC(K)
J=J+1
IF (J .LE. NN) GO TO 904

```

FFT03680  
FFT03690  
FFT03700  
FFT03710  
FFT03720  
FFT03730  
FFT03740  
FFT03750  
FFT03760  
FFT03770  
FFT03780  
FFT03790  
FFT03800  
FFT03810  
FFT03820  
FFT03830  
FFT03840  
FFT03850  
FFT03860  
FFT03870  
FFT03880  
FFT03890  
FFT03900

C DETERMINA OS OS CICLOS DE PERMUTACAO DE COMPRIMENTO MAIOR QUE 1.

FFT03910

```

J=0
GO TO 914
910 K=KK
KK=NP(K)
NP(K)=-KK
IF (KK .NE. J) GO TO 910
K3=KK
914 J=J+1
KK=NP(J)
IF (KK .LT. 0) GO TO 914
IF (KK .NE. J) GO TO 910
NP(J)=-J
IF (J .NE. NN) GO TO 914
MAXF=INC*MAXF

```

FFT03920  
FFT03930  
FFT03940  
FFT03950  
FFT03960  
FFT03970  
FFT03980  
FFT03990  
FFT04000  
FFT04010  
FFT04020  
FFT04030  
FFT04040  
FFT04050

C REORDENA A E B, SEGUINDO OS CICLOS DE PERMUTACAO

FFT04060

```

GO TO 950
924 J=J-1
IF (NP(J) .LT. 0) GO TO 924
JJ=JC
926 KSPAN=JJ
IF (JJ .GT. MAXF) KSPAN=MAXF

```

FFT04070  
FFT04080  
FFT04090  
FFT04100  
FFT04110  
FFT04120

FILED FFTMIV GSVS1 A1 NUCLEO DE PROCESSAMENTO DE DADOS

JJ=JJ-KSPAN	FFTC4130
K=NP(J)	FFTC4140
KK=JC*K+11+JJ	FFTC4150
K1=KK*KSPAN	FFTC4160
K2=0	FFTC4170
928 K2=K2+1	FFTC4180
AT(K2)=A(K1)	FFTC4190
BT(K2)=B(K1)	FFTC4200
K1=K1-INC	FFTC4210
IF(K1.NE.KK) GO TO 928	FFTC4220
932 K1=KK+KSPAN	FFTC4230
K2=K1-JC*(K+NP(K))	FFTC4240
K=-NP(K)	FFTC4250
936 A(K1)=A(K2)	FFTC4260
B(K1)=B(K2)	FFTC4270
K1=K1-INC	FFTC4280
K2=K2-INC	FFTC4290
IF(K1.NE.KK) GO TO 936	FFTC4300
KK=K2	FFTC4310
IF(K.NE.J) GO TO 932	FFTC4320
K1=KK+KSPAN	FFTC4330
K2=0	FFTC4340
940 K2=K2+1	FFTC4350
A(K1)=AT(K2)	FFTC4360
B(K1)=BT(K2)	FFTC4370
K1=K1-INC	FFTC4380
IF(K1.NE.KK) GO TO 940	FFTC4390
IF(JJ.NE.0) GO TO 926	FFTC4400
IF(J.NE.1) GO TO 924	FFTC4410
950 J=K3+1	FFTC4420
NT=NT-KSPNN	FFTC4430
II=NT-INC+1	FFTC4440
IF(NT.GE.0) GO TO 924	FFTC4450
RETURN	FFTC4460
C ENCONTRANDO ERRO POR INSUFICIENCIA DE ARMAZEMMENTO NA MEMORIA	FFTC4470
998 ISN=0	FFTC4480
PRINT 999	FFTC4490
STOP	FFTC4500
999 F0RMAT(2X,'EXCEDEU A CAPACIDADE DO ARRANJO CENTRO DA SUB FFT')	FFTC4510
END	FFTC4520
C SUBRUTINA REALTR COMPLETA A TRF PARA VALORES REAIS.	FFTC4530
SUBROUTINE REALTR(A, B, N, ISN)	FFTC4540
DIMENSION A(1), B(1)	FFTC4550
REAL IM	FFTC4560
INC=IABS(ISN)	FFTC4570
NK=N*(NC+2)	FFTC4580
NI=NK/2	FFTC4590
SD=2.0*ATAN(1.0)/FLGAT(N)	FFTC4600
CD=2.0*SIN(SD)**2	FFTC4610
SD=SIN(SD*SD)	FFTC4620
SN=0.0	FFTC4630

FILEO FFTMIV OSVSI A1 NUCLEO DE PROCESSAMENTO DE DADOS

	IF (ISN .LT. 0) GO TO 30	FFTC4640
	CN=1.0	FFTC4650
	A(NK-1)=A(1)	FFTC4660
	B(NK-1)=B(1)	FFTC4670
10	DO 20 J=1,NH,INC	FFTC4680
	X=NK-J	FFTC4690
	AA=A(J)+A(K)	FFTC4700
	AB=A(J)-A(K)	FFTC4710
	BA=B(J)+B(K)	FFTC4720
	BB=B(J)-B(K)	FFTC4730
	RE=CN*BA+SN*AB	FFTC4740
	IM=SN*BA-CN*AB	FFTC4750
	B(K)=IM-BB	FFTC4760
	B(J)=IM+BB	FFTC4770
	A(K)=AA-RE	FFTC4780
	A(J)=AA+RE	FFTC4790
	AA=CN-(CD*CN+SD*SN)	FFTC4800
	SN=(SD*CN-CD*SN)+SN	FFTC4810
C	AS TPES DECLARAC0ES SEGUINTES COMPENSAM O ERRO DE TRUNCAMENTO.	FFTC4820
C	SE USAR ARREDONDAMENTO ARITMETICO, SUBSTITUAM	FFTC4830
C	CN=AA	FFTC4840
	CN=0.5/(AA**2+SN**2)+0.5	FFTC4850
	SN=CN*SN	FFTC4860
20	CN=CN*AA	FFTC4870
	RETURN	FFTC4880
30	CN=-1.0	FFTC4890
	SD=-SD	FFTC4900
	GO TO 10	FFTC4910
	END	FFTC4920

### 4.3 - Desenvolvimento do Pruning.

A eliminação de operações com zeros (pruning) desenvolvida / por Markel (Markel, John D., 1971 [32]) para a FFT de base dois (números fatoráveis em potências de base dois, unicamente), com base no algoritmo de / Sande (Sande-Gentleman, 1966 [08]), foi por nós testada no computador da UFSC, modelo IBM-4341 do Núcleo de Processamento de Dados (NPD).

Usamos o programa apresentado no item 4.2 deste capítulo, no qual introduzimos pequenas modificações, ou seja, acrescentamos um ruptura / de sequência incondicional, mais precisamente um "GO TO" controlado (computed GO TO) na parte correspondente à transformada do fator 2 da subrotina / FFT e obtivemos uma economia de 0,02 segundos. Mais precisamente, computamos a FFT do exemplo citado no item 4.2 do capítulo II deste trabalho e obtivemos um tempo de 0,09 segundos na computação direta, enquanto que com o uso do pruning supra citado obtivemos um tempo de 0,07 segundos, o que corresponde a uma economia de tempo da ordem de 30%. Em ambos os casos usamos / o compilador WATFIV.

Nos propusemos, também, a introduzir esse pruning na solução do nosso problema, que tem características particulares, ou seja, das 630 amostras apenas 21 delas são diferentes de zero, visando assim obter uma diminuição do tempo de CPU.

Como a transformada é calculada para cada um dos fatores primos da entrada, precisamos analisar a ordem de entrada dos referidos fatores. A ordem de entrada é aquela da equação (120).

Para o primeiro fator, 3, a sequência dos pontos amostrados /  $\{x_n\}$  é dividida em outras três subsequências com 210 pontos cada uma, onde / essas, tem apenas 21 pontos diferentes de zero. Para o segundo fator, 2, cada uma das três subsequências é agora dividida em outras duas com 105 pontos cada, tendo 63 pontos diferentes de zero. Em suma, para o primeiro fator temos um total de 63 pontos diferentes de zero, enquanto que para o segundo fator são 126 pontos diferentes de zero.

A introdução do pruning foi feita diretamente na subrotina / com a introdução das rupturas de sequências condicionais ou incondicionais. No primeiro caso, usamos um "IF" lógico, e no segundo caso usamos um "GO TO" controlado (computed GO TO).

No entanto, em ambos os casos, observamos um aumento do tempo de execução (tempo de CPU) da máquina.

Esse aumento é da ordem de 50 centésimos de segundo para o compilador WATFIV, e 01 segundo para o compilador FORTRAN OSVS1, ambos do computador IBM-4341 do NPD da UFSC. Ou seja, obtemos um tempo de 2,56 segundos e 7,36 segundos para os compiladores acima especificados, na computação dos resultados sem o pruning, respectivamente.

Julgamos, através de um estudo mais detalhado, que o aumento de tempo referido, deve-se a dois fatores:

- i) - Complexidade das borboletas em cada um dos nós relativos ao gráfico de fluxo de sinal, i.e., para a base dois as borboletas, além de serem bastante simples, se repetem em cada um dos passos da fatoração, enquanto que, para o nosso caso, as referidas borboletas são mais complexas (envolvem maior número de operações complexas) e, em cada passo, são diferentes umas das outras (Veja apêndice E deste trabalho).
- ii) - A estrutura interna do computador, i.e., ele gasta menos tempo de CPU para fazer as operações complexas exigidas na solução do nosso problema, do que para executar as rupturas condicionais, ou incondicionais das sequências usadas. No entanto, esta última conclusão é fruto de um estudo superficial, já que não dispomos das ferramentas necessárias e suficientes para desenvolver um estudo mais profundo da estrutura interna do computador usado no desenvolvimento deste trabalho.



#### 4.4 - Resultados.

Nas tabelas a seguir, apresentamos os valores obtidos na computação das equações (103) e (120), onde a primeira representa a FFT, e a / segunda o algoritmo da referida transformada na versão de Sande[08].

Em virtude da decomposição usada por Singleton [16] e apre - sentada na equação (126), os valores da saída, representam os coeficientes/ de Fourier das formas de ondas de terra e ionosférica, respectivamente, e estão divididos em partes real e imaginária da transformada correspondente.

Os gráficos apresentados foram obtidos diretamente dos re - sultados da computação e precisam ser arranjados para representar o gráfico real da transformada de Fourier. Isto porque, a transformada discreta é si - métrica em relação a  $n = N/2$ . Os resultados para  $n > N/2$  são aqueles rela - tivos à frequência negativa e por esse motivo representam a transformada relativa àquela da forma contínua, convencional.

A subrotina para o traçado de gráficos também não apresenta/ o escalonamento desejado e por esse motivo precisa ser rearranjada adequadamente.

Os pontos intermediários não foram reproduzidos por estarem/ muito próximos do zero, razão pela qual não há interesse nos mesmos em nos - so estudo.

VALORES COMPUTADOS COM DADOS DA PRDA DE TERRA

VALORES DE A (PARTE LIAL DE LIND)

-3.594977E 00	-3.558141E 00	-3.559209E 00	-3.553167E 00	-3.541400E 00	-3.625396E 00	-3.633675E 00	-4.210870E 00
-4.833893E 00	-3.720235E 00	-6.543935E 00	-8.511657E 00	-1.004770E 01	-1.215532E 01	-1.337799E 01	-1.333930E 01
-2.151500E 01	-2.453275E 01	-2.617673E 01	-3.142134E 01	-3.441154E 01	-3.676750E 01	-3.897922E 01	-4.021361E 01
-4.052087E 01	-3.973776E 01	-3.772485E 01	-3.635156E 01	-2.972743E 01	-2.511212E 01	-1.927199E 01	-5.022948E 00
5.092384E 00	1.743617E 01	3.059912E 01	4.559544E 01	6.197681E 01	7.716519E 01	9.392097E 01	1.056975E 02
1.759404E 02	1.413292E 02	1.597279E 02	1.908117E 02	1.862761E 02	1.699464E 02	1.972372E 02	2.023235E 02
2.046678E 02	2.367575E 02	2.826439E 02	1.698166E 02	1.665731E 02	1.760363E 02	1.691567E 02	1.591721E 02
1.333613E 02	1.149669E 02	5.538260E 01	7.495514E 01	5.407209E 01	3.251620E 01	1.223051E 01	-7.901134E 00
-2.707600E 01	-4.455069E 01	-6.136061E 01	-1.167325E 02	-8.354256E 01	-5.966154E 01	-1.073135E 02	-1.135536E 02
-1.743045E 02	-1.191678E 02	-1.188934E 02	-1.167325E 02	-1.126680E 02	-1.075116E 02	-1.005988E 02	-7.327158E 01
-6.489182E 01	-7.521402E 01	-6.688353E 01	-5.775342E 01	-4.662667E 01	-4.031164E 01	-3.237352E 01	-2.315509E 01
-1.876616E 01	-1.320413E 01	-8.756064E 00	-5.190091E 00	-2.576576E 00	-8.714754E 00	-7.409370E 00	7.409370E 00
-4.592877E 01	-1.559412E 01	-3.007771E 00	-4.723932E 00	-6.949112E 00	-9.069977E 00	-1.112185E 01	-1.307142E 01
-1.481899E 01	-1.629994E 01	-1.746573E 01	-1.628394E 01	-1.673828E 01	-1.688744E 01	-1.688744E 01	-1.688744E 01
-1.706551E 01	-1.555559E 01	-1.462112E 01	-1.513676E 01	-1.195591E 01	-9.939367E 00	-3.307316E 00	-6.736530E 00
-5.251210E 00	-3.584949E 00	-2.662086E 00	-1.559373E 00	-7.066505E 01	1.984375E 02	5.707344E 01	7.085138E 01
1.224740E 00	1.356633E 00	1.385723E 00	1.531142E 00	1.216867E 00	1.062573E 00	8.861155E 01	7.397979E 01
5.324264E 01	3.752586E 01	2.455317E 01	1.371237E 01	5.671673E 02	-3.115150E 00	-3.922250E 02	-6.672338E 02
-8.938086E 02	-1.147335E 01	-1.499329E 01	-1.957576E 01	-1.293749E 00	-2.687131E 01	-4.702779E 01	-6.000437E 01
-7.435418E 01	-6.923070E 01	-6.742335E 00	-1.179244E 00	-1.293749E 00	-3.251650E 01	8.965545E 02	5.580317E 01
-1.319915E 00	-1.176194E 00	-9.622346E 01	-6.176057E 01	-3.716765E 00	4.505132E 00	4.145599E 00	4.505132E 00
1.607506E 00	2.159059E 00	2.706227E 00	4.603865E 00	4.505132E 00	4.241508E 00	3.806451E 00	3.247593E 00
4.946870E 00	5.020205E 00	4.983665E 00	4.603865E 00	4.505132E 00	4.241508E 00	3.806451E 00	3.247593E 00
2.731074E 00	2.125094E 00	1.499163E 00	8.733976E 01	2.677550E 01	-2.986810E 01	-8.086810E 01	-5.249531E 00
-1.660003E 00	-1.850163E 00	-2.021187E 00	-1.628394E 01	-2.067492E 00	-1.509098E 00	-1.091174E 00	-1.450075E 00
-1.045977E 00	-6.567443E 01	-2.579487E 01	1.006025E 01	6.050629E 01	9.560459E 01	1.344812E 00	1.636677E 00
1.067128E 00	2.322423E 00	7.059985E 00	2.090525E 00	2.011988E 00	1.889221E 00	1.659202E 00	1.364550E 00
1.072756E 00	1.320709E 01	3.765925E 01	2.064563E 02	-3.219516E 01	-6.382940E 01	-9.171656E 01	-1.149597E 00
-1.327152E 00	-1.446801E 00	-1.506262E 00	-1.506271E 00	-1.450321E 00	-1.344075E 00	-1.195292E 01	-1.013318E 00
-8.085879E 01	-5.922883E 01	-3.755013E 01	-3.621975E 01	-1.692773E 01	-1.671296E 02	1.736028E 01	3.762090E 01
4.141896E 01	4.568533E 01	3.621975E 01	2.786449E 01	1.664357E 01	2.682264E 02	-1.246356E 01	-2.197385E 01
-4.287806E 01	-5.612342E 01	-6.677833E 01	-7.399807E 01	-7.707828E 01	-7.551969E 01	-6.901214E 01	-5.748156E 01
-1.810960E 01	-2.027324E 01	4.512781E 02	3.233603E 01	6.230571E 01	4.354582E 01	1.243194E 00	1.000594E 00
4.741418E 00	2.358342E 00	2.245623E 00	2.452176E 00	2.477966E 00	2.502670E 00	2.464826E 00	2.365676E 00
2.208930E 00	2.303036E 00	1.743758E 00	1.403105E 00	1.159422E 00	8.357634E 01	5.183774E 01	2.156619E 01
-6.257224E 02	-3.342625E 01	-5.006953E 01	-6.451541E 01	-7.327617E 01	-7.601662E 01	-7.303676E 01	-6.431049E 01
-5.045135E 01	-3.213091E 01	-1.040132E 01	1.637192E 01	3.912825E 01	6.492335E 01	3.932676E 01	1.114206E 00
1.301320E 00	1.449166E 00	5.924788E 01	3.412592E 01	2.830715E 02	1.457436E 00	1.332225E 00	1.146395E 00
9.111037E 01	5.752478E 01	-1.479777E 00	-1.568388E 00	-2.830715E 02	-1.538369E 00	-3.713605E 01	-1.119076E 00
-1.322968E 00	-1.479777E 00	-5.877729E 01	-2.830715E 01	1.579710E 00	-2.895370E 01	-1.474605E 00	-1.150708E 00
-1.371341E 01	-1.479777E 00	-5.877729E 01	-2.830715E 01	1.579710E 00	-2.895370E 01	-1.474605E 00	-1.150708E 00
-0.336220E 00	1.479777E 00	6.473094E 01	3.532915E 01	-6.451015E 01	-3.006663E 01	-3.664130E 01	-6.259571E 02
8.923491E 01	6.473094E 01	3.532915E 01	3.532915E 01	-6.451015E 01	-3.006663E 01	-3.664130E 01	-6.259571E 02
-7.302784E 01	-7.302784E 01	-7.302784E 01	-7.302784E 01	-7.302784E 01	-7.302784E 01	-7.302784E 01	-7.302784E 01
5.184422E 01	5.184422E 01	5.184422E 01	5.184422E 01	5.184422E 01	5.184422E 01	5.184422E 01	5.184422E 01
2.464555E 00	2.464555E 00	2.464555E 00	2.464555E 00	2.464555E 00	2.464555E 00	2.464555E 00	2.464555E 00
1.242277E 00	1.242277E 00	1.242277E 00	1.242277E 00	1.242277E 00	1.242277E 00	1.242277E 00	1.242277E 00
-6.301556E 01	-7.552357E 01	-7.085791E 01	-7.295964E 01	-6.678224E 01	-6.678224E 01	-6.678224E 01	-6.678224E 01
-1.245244E 01	2.673380E 02	1.664130E 01	2.673380E 02	1.664130E 01	2.673380E 02	1.664130E 01	2.673380E 02
2.951655E 01	1.737782E 01	1.666743E 02	1.582529E 01	-1.582529E 01	-1.582529E 01	-1.582529E 01	-1.582529E 01
-1.195315E 00	-1.244084E 00	-1.450362E 00	-3.219516E 01	-3.219516E 01	-3.219516E 01	-3.219516E 01	-3.219516E 01
-9.171617E 01	-8.383482E 01	-3.219516E 01	-3.219516E 01	-3.219516E 01	-3.219516E 01	-3.219516E 01	-3.219516E 01
1.654031E 00	1.369214E 00	6.056995E 01	2.399329E 00	1.686933E 01	2.399329E 00	1.686933E 01	2.399329E 00
1.34785E 00	0.960666E 01	-2.042050E 00	-2.381225E 00	-2.381225E 00	-2.381225E 00	-2.381225E 00	-2.381225E 00
-1.691173E 00	-1.939114E 00	-2.042050E 00	-2.381225E 00	-2.381225E 00	-2.381225E 00	-2.381225E 00	-2.381225E 00
-8.084715E 01	-2.934938E 01	4.589217E 00	6.733977E 00	4.983770E 00	5.020319E 00	4.943978E 00	4.713770E 00
3.806525E 00	4.221158E 00	3.716341E 00	3.231396E 00	2.706222E 00	2.155866E 00	1.607306E 00	1.063022E 00
4.502463E 00	4.145665E 00	3.716341E 00	3.231396E 00	2.706222E 00	2.155866E 00	1.607306E 00	1.063022E 00
5.530857E 01	5.964407E 00	-3.251263E 01	-6.773922E 01	-1.176321E 00	-1.424455E 00	-8.938682E 01	-7.435238E 01
-1.412602E 00	-1.375121E 00	-1.293381E 00	-1.176321E 00	-1.424455E 00	-8.938682E 01	-7.435238E 01	-6.052007E 01
-4.704580E 01	-3.631228E 01	-2.688175E 01	-1.956871E 01	-1.424455E 00	-1.424455E 00	-1.424455E 00	-1.424455E 00
-3.963259E 02	-5.947321E 04	5.657968E 02	1.370335E 01	2.439167E 01	3.762469E 01	5.323677E 01	7.098537E 01
8.868218E 01	1.362582E 00	1.716381E 00	1.331149E 00	1.334918E 00	1.356634E 00	1.224775E 00	7.069016E 01
5.708287E 01	1.571205E 02	-7.660176E 01	-1.599329E 00	-2.666211E 00	-3.664375E 01	-5.051198E 00	-6.765535E 00
-8.399082E 00	-9.330377E 00	-1.155911E 01	-1.313077E 01	-1.462113E 01	-1.595601E 01	-1.703958E 01	-1.797327E 01
-1.856642E 01	-1.382748E 01	-1.873330E 01	-1.323401E 01	-1.746577E 01	-1.627999E 01	-1.431969E 01	-1.307148E 01
-1.112187E 01	-9.349976E 00	-6.449124E 00	-4.529912E 00	-4.529912E 00	-4.529912E 00	-4.529912E 00	-4.529912E 00
-9.395063E 00	-8.714416E 01	-2.978459E 00	-2.978459E 00	-2.978459E 00	-2.978459E 00	-2.978459E 00	-2.978459E 00
-3.237360E 01	-4.331186E 01	-5.822844E 01	-5.773595E 01	-6.688887E 01	-7.601422E 01	-8.493201E 01	-9.349976E 01
-1.008971E 02	-1.075121E 02	-2.978459E 00	-1.167329E 02	-1.188693E 02	-1.151663E 02	-1.174076E 02	-1.150074E 02
-1.073941E 02	-9.936207E 01	-8.854305E 01	-7.552374E 01	-6.134185E 01	-4.406149E 01	-2.707760E 01	-7.941614E 01
1.223593E 01	3.294770E 01	5.402564E 01	7.494547E 01	9.595476E 01	1.145075E 02	1.337135E 02	1.531725E 02
1.651572E 01	1.760310E 02	1.868142E 02	1.966147E 02	1.952780E 02	1.413257E 02	1.259410E 02	1.070935E 02
1.972580E 02	1.890417E 02	1.802767E 02	1.666124E 02	1.557693E 02	1.413257E 02	1.259410E 02	1.070935E 02
3.352051E 01	7.714554E 01	6.167367E 01	4.595976E 01	3.172506E 01	-2.317886E 01	-2.191501E 01	-4.021361E 01
-1.9527194E 01	-2.317239E 01	-2.452263E 01	-3.351177E 01	-3.772506E 01	-4.406149E 01	-5.051198E 01	-5.748156E 01
-3.897939E 01	-3.698769E 01	-3.444171E 01	-3.142134E 01	-2.817886E 01	-2.463266E 01	-2.191501E 01	-1.915509E 01
-1.539496E 01	-1.274406E 01	-1.044793E 01	-0.811170E 01	-0.593997E 00	-0.376826E 00	-0.163389E 00	-0.216875E 00
-3.833728E 00	-3.625406E 00	-3.541416E 00	-3.533164E 00	-3.559300E 00	-3.568133E 00	-3.589370E 00	-3.625396E 00

VALORES DE B (PARTE INCOMPLETA DE CONT)

0.000000E-01	-1.834942E-01	-3.31770E-01	-4.179264E-01	-4.024462E-01	-2.854443E-01	-5.938890E-02	2.62719E-01
6.527272E-01	-1.766564E-02	1.845590E-00	1.715295E-00	1.776019E-00	1.574997E-03	7.703830E-01	-1.270000E-01
-1.810866E-01	-4.173503E-00	-7.679065E-00	-1.617186E-01	-1.555716E-01	-2.163223E-01	-2.811333E-01	-3.555492E-01
-4.332800E-01	-5.197900E-01	-6.086732E-01	-7.311504E-01	-7.942007E-01	-8.855373E-01	-9.727893E-01	-1.053207E-02
-1.124558E-02	-1.184968E-02	-1.229382E-02	-1.250256E-02	-1.265723E-02	-1.285110E-02	-1.223159E-02	-1.175397E-02
-1.059544E-02	-1.121570E-02	-3.819797E-01	-7.419330E-01	-5.821462E-01	-4.076095E-01	-2.135992E-01	-1.681532E-00
1.893947E-01	4.312001E-01	6.133293E-01	8.220307E-01	1.023462E-01	1.219422E-02	1.333093E-02	1.559466E-02
1.688304E-02	1.094619E-07	1.676972E-02	1.629236E-02	2.092675E-02	2.615640E-02	2.003719E-02	1.964273E-02
1.501776E-02	1.517203E-02	1.713067E-02	1.591767E-02	1.456809E-02	1.310043E-02	1.159994E-02	9.975559E-03
6.379166E-01	6.802576E-01	5.276792E-01	3.822344E-01	2.466797E-01	1.253766E-01	1.531214E-01	-3.214294E-00
-1.622485E-01	-2.755817E-01	-7.755273E-01	-3.892360E-01	-3.286287E-01	-3.867079E-01	-5.291379E-01	-3.151753E-01
-2.086304E-01	-2.572844E-01	-2.205959E-01	-1.681436E-01	-1.494275E-01	-9.955594E-02	-6.802024E-02	-2.366259E-00
9.043430E-01	3.711320E-00	5.688063E-00	3.905597E-00	2.672189E-00	1.657280E-01	-1.683199E-01	-3.465310E-00
8.307064E-00	7.101380E-00	5.690667E-00	7.726343E-00	8.888473E-00	9.452642E-00	9.555343E-00	9.156733E-00
-5.115644E-00	-6.576327E-00	-7.611593E-00	-8.610159E-00	-9.565863E-00	-1.012048E-01	-1.083490E-01	-1.152310E-01
-9.989737E-00	-9.553940E-00	-8.993377E-00	-8.296076E-00	-7.511491E-00	-6.682134E-00	-5.830479E-00	-4.988958E-00
-4.182496E-00	-3.433902E-00	-2.749309E-00	-2.148159E-00	-1.611742E-00	-1.200688E-00	-8.512274E-01	-5.764359E-01
-3.667853E-01	-2.111276E-01	-9.733776E-02	-1.690968E-02	-5.032907E-02	5.032907E-02	1.693685E-01	2.159699E-01
2.758620E-01	3.538622E-01	4.279242E-01	5.042261E-01	5.767783E-01	6.476511E-01	7.139038E-01	7.841780E-01
6.751744E-01	6.164909E-01	5.138134E-01	3.651186E-01	1.707209E-01	-2.666291E-02	-3.476359E-01	-4.401170E-01
-9.594436E-01	-1.300974E-00	-1.425762E-00	-1.929770E-00	-2.617385E-00	-3.491389E-00	-4.575352E-00	-5.859331E-00
-2.653644E-00	-2.591897E-00	-2.376917E-00	-2.192977E-00	-2.079655E-00	-1.738239E-00	-1.275677E-00	-1.745112E-01
4.512330E-01	1.102263E-00	1.768592E-00	2.405726E-00	3.018225E-00	3.618225E-00	4.219755E-00	4.836646E-00
4.792834E-00	5.011341E-00	5.114799E-00	5.168267E-00	4.994394E-00	4.779390E-00	4.473023E-00	4.088184E-00
3.640234E-00	3.136705E-00	2.626225E-00	2.358217E-00	1.961736E-00	1.685169E-00	1.452492E-01	1.164643E-01
-2.919136E-00	-2.530448E-01	-3.895357E-01	-4.368495E-01	-3.965066E-01	-2.758856E-01	-7.646436E-02	-1.646436E-01
4.964292E-01	8.442293E-01	1.212412E-00	1.584897E-00	1.945914E-00	2.280583E-00	2.575730E-00	2.819377E-00
3.003613E-00	3.121449E-00	3.169792E-00	3.148265E-00	3.095362E-00	2.965936E-00	2.792820E-00	2.452396E-00
2.168264E-00	1.862768E-00	1.547987E-00	1.237013E-00	9.415266E-01	6.722694E-01	4.333000E-01	3.342694E-01
1.025940E-01	6.296741E-03	-3.623465E-02	-3.322946E-02	1.269945E-02	9.469346E-02	7.032420E-01	6.937346E-01
4.718594E-01	6.776856E-01	7.315450E-01	8.341144E-01	9.674151E-01	5.443197E-01	5.405354E-01	6.937346E-01
8.032771E-01	6.711174E-01	5.615535E-01	3.707584E-01	7.665968E-02	-1.213534E-01	-4.031917E-01	-6.379018E-01
-8.547068E-01	-1.343286E-00	-1.194251E-00	-1.299591E-00	-1.350310E-00	-1.350465E-00	-1.239971E-00	-1.171936E-00
1.979221E-01	-7.769333E-01	-5.125255E-01	-2.149736E-01	1.058873E-01	1.058873E-01	7.659439E-01	1.061508E-00
9.373644E-00	1.629349E-00	1.899594E-00	1.996919E-00	2.005974E-00	2.005974E-00	2.133489E-00	2.074204E-00
1.883668E-00	1.893669E-00	1.603911E-00	1.201659E-00	9.211360E-01	6.355265E-01	2.130796E-00	6.662720E-02
-1.506643E-01	-3.453008E-01	-5.660249E-01	-5.555925E-01	-6.473091E-01	-6.267447E-01	-5.119155E-01	-3.543335E-01
-2.557456E-01	-4.357329E-02	1.580469E-01	4.079026E-01	7.243193E-01	9.897055E-01	1.226991E-00	1.439342E-00
1.612375E-00	1.736571E-00	1.805268E-00	1.814220E-00	1.761327E-00	1.647129E-00	1.474722E-00	1.249540E-00
4.792462E-01	6.736571E-01	8.429717E-01	-1.335132E-05	-3.425738E-01	-6.753795E-01	-9.792052E-01	-1.298591E-00
-1.474738E-00	-1.947141E-00	-1.761332E-00	-1.814221E-00	-1.695290E-00	-1.738524E-00	-1.572391E-00	-1.439342E-00
-1.226586E-00	-9.646967E-01	-7.242142E-01	-4.574946E-01	-1.906255E-01	4.356778E-02	2.557271E-01	4.286140E-01
5.542953E-01	6.267133E-01	6.422729E-01	5.998335E-01	5.607767E-01	3.485955E-01	1.506352E-01	-8.066043E-02
-3.512857E-01	-5.336430E-01	-7.012520E-01	-1.201808E-00	-1.463071E-00	-1.653135E-00	-1.833872E-00	-2.024410E-00
-2.109055E-01	-2.133607E-00	-2.056036E-00	-1.856946E-00	-1.685595E-00	-1.685595E-00	-1.373822E-00	-1.367442E-00
-7.659774E-01	-4.361379E-01	-1.050152E-01	2.351683E-01	5.125339E-01	7.770547E-01	9.992271E-01	1.171572E-00
1.290911E-00	1.353654E-00	1.353215E-00	1.299745E-00	1.194443E-00	1.042463E-00	8.592771E-01	6.385344E-01
4.033942E-01	1.615261E-01	-7.657320E-02	-3.580727E-02	-5.015312E-01	-6.710225E-01	-8.031250E-01	-9.936847E-01
-9.405875E-01	-9.442262E-01	-9.276048E-02	-3.517907E-02	-7.315389E-01	-8.078208E-01	-4.671300E-01	-3.342377E-01
-2.055118E-01	-9.494688E-02	-1.276374E-01	-1.237016E-00	-3.625454E-02	-8.283690E-03	-1.026174E-01	-2.467919E-01
-4.382193E-01	-6.722799E-01	-4.435374E-01	-1.237016E-00	-1.567992E-00	-1.862583E-00	-2.166258E-00	-2.645493E-00
-2.702840E-00	-2.298349E-00	-3.859362E-00	-3.148212E-00	-3.169793E-00	-3.121471E-00	-3.036794E-00	-2.819572E-00
7.645599E-00	-2.283563E-00	-1.945894E-00	-1.584906E-00	-1.274242E-00	-8.442481E-01	-4.964399E-01	-1.361208E-01
7.646747E-02	2.730808E-01	3.926302E-01	4.363800E-01	3.855435E-01	2.530206E-01	2.921596E-02	-2.764823E-01
-6.552434E-01	-1.995224E-00	-4.981788E-00	-2.398239E-00	-5.014880E-00	-3.146738E-00	-3.146738E-00	-4.066219E-00
-4.473066E-00	-4.779407E-00	-4.954401E-00	-4.954401E-00	-4.954401E-00	-4.954401E-00	-4.799257E-00	-4.646676E-00
-4.073174E-00	-3.579905E-00	-3.015279E-00	-2.465768E-00	-1.766616E-00	-1.162644E-00	-4.512678E-01	1.769906E-01
7.501527E-00	1.279927E-00	1.736609E-00	2.098680E-00	2.376975E-00	2.561994E-00	2.555715E-00	2.655422E-00
-2.373503E-00	-2.417455E-00	-2.198509E-00	1.929643E-00	1.628900E-00	1.361183E-00	9.703429E-01	6.462094E-01
3.417924E-01	6.575970E-02	-1.705711E-01	-3.551057E-01	-5.138024E-01	-6.164638E-01	-6.751374E-01	-6.936847E-01
-6.793322E-01	-6.376522E-01	-5.767271E-01	-5.042554E-01	-4.278275E-01	-3.508589E-01	-2.799474E-01	-2.160439E-01
-1.588488E-01	-1.254884E-01	-9.641765E-02	1.399607E-02	9.745444E-02	7.116233E-01	3.067314E-01	5.783284E-00
8.511328E-01	1.220253E-00	1.631662E-00	2.148090E-00	2.749424E-00	3.453831E-00	4.182310E-00	4.988844E-00
5.830428E-00	5.002066E-00	7.514877E-00	8.296644E-00	8.993090E-00	9.584935E-00	9.489749E-00	1.022526E-00
1.241990E-01	1.352051E-01	9.545935E-00	8.610236E-00	7.813952E-00	6.578355E-00	5.115072E-00	3.695340E-00
1.683626E-00	-1.152202E-01	-2.872189E-00	-3.573379E-00	-3.608030E-00	-7.181587E-00	-8.507107E-00	-9.150747E-00
-9.564844E-00	-9.442262E-00	-8.880912E-00	-7.726305E-00	-5.996699E-00	-3.711367E-00	-3.046655E-00	-2.466195E-00
6.020176E-00	9.353920E-00	1.404276E-00	1.814305E-01	2.205554E-01	2.577864E-01	2.883315E-01	3.131022E-01
3.291405E-01	3.348105E-01	3.266379E-01	3.552365E-01	3.755259E-01	2.260635E-01	1.622311E-01	1.214535E-00
-1.331110E-00	-1.233747E-01	-2.453774E-01	-3.822353E-01	-5.274779E-01	-6.822593E-01	-8.373161E-01	-9.975329E-01
-1.155955E-02	-1.310046E-02	-1.456401E-02	-1.591730E-02	-1.713060E-02	-1.817687E-02	-1.903179E-02	-1.964262E-02
-2.002124E-02	-2.315646E-02	-2.602078E-02	-2.862854E-02	-3.096500E-02	-3.220049E-02	-3.348108E-02	-3.465438E-02
-1.350537E-02	-1.214125E-02	-1.023485E-02	-7.419337E-03	-6.135322E-03	-4.817024E-03	-3.519245E-03	-2.337410E-03
2.185009E-01	4.378998E-01	5.831470E-01	7.419337E-01	8.619804E-01	1.001573E-01	1.099306E-02	1.175079E-02
1.228189E-02	1.259122E-02	1.266725E-02	1.258205E-02	1.229386E-02	1.164673E-02	1.124960E-02	1.053273E-02
9.727456E-01	8.895365E-01	7.542375E-01	7.011592E-01	6.036742E-01	5.153907E-01	4.323958E-01	3.536548E-01
2.810535E-01	2.163219E-01	1.599715E-01	1.121962E-01	7.290526E-01	4.173473E-01	1.815062E-00	1.250659E-00
-9.760495E-01	-1.575026E-00	-1.790312E-00	-1.715312E-00	-1.445546E-00	-1.066977E-00	-6.592207E-01	-2.220622E-01
5.949959E-02	2.854333E-01	4.024966E-01	4.129302E-01	3.317130E-01	1.554546E-01		

VAL PRES MODC(111)

1.857124E-03	2.851452E-03	2.837073E-03	2.825291E-03	2.817460E-03	2.806202E-03	2.794949E-03	2.783702E-03
1.871130E-03	1.862335E-03	1.850979E-03	1.839111E-03	1.827460E-03	1.815995E-03	1.804731E-03	1.793569E-03
1.713014E-02	1.709049E-02	1.705084E-02	1.701119E-02	1.697154E-02	1.693189E-02	1.689224E-02	1.685259E-02
1.707075E-02	1.703110E-02	1.699145E-02	1.695180E-02	1.691215E-02	1.687250E-02	1.683285E-02	1.679320E-02
1.931413E-02	1.927448E-02	1.923483E-02	1.919518E-02	1.915553E-02	1.911588E-02	1.907623E-02	1.903658E-02
1.326847E-01	1.322882E-01	1.318917E-01	1.314952E-01	1.310987E-01	1.307022E-01	1.303057E-01	1.299092E-01
1.632064E-01	1.628099E-01	1.624134E-01	1.620169E-01	1.616204E-01	1.612239E-01	1.608274E-01	1.604309E-01
1.737430E-01	1.733465E-01	1.729500E-01	1.725535E-01	1.721570E-01	1.717605E-01	1.713640E-01	1.709675E-01
1.524566E-01	1.520601E-01	1.516636E-01	1.512671E-01	1.508706E-01	1.504741E-01	1.500776E-01	1.496811E-01
1.144771E-01	1.140806E-01	1.136841E-01	1.132876E-01	1.128911E-01	1.124946E-01	1.120981E-01	1.117016E-01
6.855372E-02	6.851407E-02	6.847442E-02	6.843477E-02	6.839512E-02	6.835547E-02	6.831582E-02	6.827617E-02
2.732331E-02	2.728366E-02	2.724401E-02	2.720436E-02	2.716471E-02	2.712506E-02	2.708541E-02	2.704576E-02
8.051394E-04	8.047429E-04	8.043464E-04	8.039499E-04	8.035534E-04	8.031569E-04	8.027604E-04	8.023639E-04
1.340454E-02	1.336489E-02	1.332524E-02	1.328559E-02	1.324594E-02	1.320629E-02	1.316664E-02	1.312699E-02
1.415773E-02	1.411808E-02	1.407843E-02	1.403878E-02	1.399913E-02	1.395948E-02	1.391983E-02	1.388018E-02
8.957010E-03	8.953045E-03	8.949080E-03	8.945115E-03	8.941150E-03	8.937185E-03	8.933220E-03	8.929255E-03
3.648701E-03	3.644736E-03	3.640771E-03	3.636806E-03	3.632841E-03	3.628876E-03	3.624911E-03	3.620946E-03
5.131238E-04	5.127273E-04	5.123308E-04	5.119343E-04	5.115378E-04	5.111413E-04	5.107448E-04	5.103483E-04
2.331654E-04	2.327689E-04	2.323724E-04	2.319759E-04	2.315794E-04	2.311829E-04	2.307864E-04	2.303899E-04
7.871066E-04	7.867101E-04	7.863136E-04	7.859171E-04	7.855206E-04	7.851241E-04	7.847276E-04	7.843311E-04
1.299931E-03	1.295966E-03	1.292001E-03	1.288036E-03	1.284071E-03	1.280106E-03	1.276141E-03	1.272176E-03
2.462351E-03	2.458386E-03	2.454421E-03	2.450456E-03	2.446491E-03	2.442526E-03	2.438561E-03	2.434596E-03
3.943493E-03	3.939528E-03	3.935563E-03	3.931598E-03	3.927633E-03	3.923668E-03	3.919703E-03	3.915738E-03
4.382495E-03	4.378530E-03	4.374565E-03	4.370600E-03	4.366635E-03	4.362670E-03	4.358705E-03	4.354740E-03
3.155382E-03	3.151417E-03	3.147452E-03	3.143487E-03	3.139522E-03	3.135557E-03	3.131592E-03	3.127627E-03
8.335766E-04	8.331801E-04	8.327836E-04	8.323871E-04	8.319906E-04	8.315941E-04	8.311976E-04	8.308011E-04
1.533325E-03	1.529360E-03	1.525395E-03	1.521430E-03	1.517465E-03	1.513500E-03	1.509535E-03	1.505570E-03
2.531297E-03	2.527332E-03	2.523367E-03	2.519402E-03	2.515437E-03	2.511472E-03	2.507507E-03	2.503542E-03
2.017676E-03	2.013711E-03	2.009746E-03	2.005781E-03	2.001816E-03	1.997851E-03	1.993886E-03	1.989921E-03
6.466815E-04	6.462850E-04	6.458885E-04	6.454920E-04	6.450955E-04	6.446990E-04	6.443025E-04	6.439060E-04
4.983226E-04	4.979261E-04	4.975296E-04	4.971331E-04	4.967366E-04	4.963401E-04	4.959436E-04	4.955471E-04
7.226205E-04	7.222240E-04	7.218275E-04	7.214310E-04	7.210345E-04	7.206380E-04	7.202415E-04	7.198450E-04
7.526772E-04	7.522807E-04	7.518842E-04	7.514877E-04	7.510912E-04	7.506947E-04	7.502982E-04	7.499017E-04
1.643719E-03	1.639754E-03	1.635789E-03	1.631824E-03	1.627859E-03	1.623894E-03	1.619929E-03	1.615964E-03
2.084555E-03	2.080590E-03	2.076625E-03	2.072660E-03	2.068695E-03	2.064730E-03	2.060765E-03	2.056800E-03
1.495779E-03	1.491814E-03	1.487849E-03	1.483884E-03	1.479919E-03	1.475954E-03	1.471989E-03	1.468024E-03
4.175872E-04	4.171907E-04	4.167942E-04	4.163977E-04	4.159012E-04	4.155047E-04	4.151082E-04	4.147117E-04
1.052521E-03	1.048556E-03	1.044591E-03	1.040626E-03	1.036661E-03	1.032696E-03	1.028731E-03	1.024766E-03
1.469422E-03	1.465457E-03	1.461492E-03	1.457527E-03	1.453562E-03	1.449597E-03	1.445632E-03	1.441667E-03
1.396313E-03	1.392348E-03	1.388383E-03	1.384418E-03	1.380453E-03	1.376488E-03	1.372523E-03	1.368558E-03
1.359438E-03	1.355473E-03	1.351508E-03	1.347543E-03	1.343578E-03	1.339613E-03	1.335648E-03	1.331683E-03
1.435755E-03	1.431790E-03	1.427825E-03	1.423860E-03	1.419895E-03	1.415930E-03	1.411965E-03	1.408000E-03
8.343731E-04	8.339766E-04	8.335801E-04	8.331836E-04	8.327871E-04	8.323906E-04	8.319941E-04	8.315976E-04
6.431545E-04	6.427580E-04	6.423615E-04	6.419650E-04	6.415685E-04	6.411720E-04	6.407755E-04	6.403790E-04
1.723713E-03	1.719748E-03	1.715783E-03	1.711818E-03	1.707853E-03	1.703888E-03	1.699923E-03	1.695958E-03
2.048511E-03	2.044546E-03	2.040581E-03	2.036616E-03	2.032651E-03	2.028686E-03	2.024721E-03	2.020756E-03
1.421544E-03	1.417579E-03	1.413614E-03	1.409649E-03	1.405684E-03	1.401719E-03	1.397754E-03	1.393789E-03
6.344495E-04	6.340530E-04	6.336565E-04	6.332600E-04	6.328635E-04	6.324670E-04	6.320705E-04	6.316740E-04
7.930113E-04	7.926148E-04	7.922183E-04	7.918218E-04	7.914253E-04	7.910288E-04	7.906323E-04	7.902358E-04
2.853254E-04	2.849289E-04	2.845324E-04	2.841359E-04	2.837394E-04	2.833429E-04	2.829464E-04	2.825499E-04
1.310431E-03	1.306466E-03	1.302501E-03	1.298536E-03	1.294571E-03	1.290606E-03	1.286641E-03	1.282676E-03
2.262527E-03	2.258562E-03	2.254597E-03	2.250632E-03	2.246667E-03	2.242702E-03	2.238737E-03	2.234772E-03
2.642935E-03	2.638970E-03	2.635005E-03	2.631040E-03	2.627075E-03	2.623110E-03	2.619145E-03	2.615180E-03
1.054013E-03	1.050048E-03	1.046083E-03	1.042118E-03	1.038153E-03	1.034188E-03	1.030223E-03	1.026258E-03
1.415422E-03	1.411457E-03	1.407492E-03	1.403527E-03	1.399562E-03	1.395597E-03	1.391632E-03	1.387667E-03
3.677572E-03	3.673607E-03	3.669642E-03	3.665677E-03	3.661712E-03	3.657747E-03	3.653782E-03	3.649817E-03
4.424531E-03	4.420566E-03	4.416601E-03	4.412636E-03	4.408671E-03	4.404706E-03	4.400741E-03	4.396776E-03
3.623508E-03	3.619543E-03	3.615578E-03	3.611613E-03	3.607648E-03	3.603683E-03	3.599718E-03	3.595753E-03
2.035902E-03	2.031937E-03	2.027972E-03	2.024007E-03	2.020042E-03	2.016077E-03	2.012112E-03	2.008147E-03
1.153450E-03	1.149485E-03	1.145520E-03	1.141555E-03	1.137590E-03	1.133625E-03	1.129660E-03	1.125695E-03
6.550180E-04	6.546215E-04	6.542250E-04	6.538285E-04	6.534320E-04	6.530355E-04	6.526390E-04	6.522425E-04
1.279391E-04	1.275426E-04	1.271461E-04	1.267496E-04	1.263531E-04	1.259566E-04	1.255601E-04	1.251636E-04
9.755355E-04	9.751390E-04	9.747425E-04	9.743460E-04	9.739495E-04	9.735530E-04	9.731565E-04	9.727600E-04
4.645455E-03	4.641490E-03	4.637525E-03	4.633560E-03	4.629595E-03	4.625630E-03	4.621665E-03	4.617700E-03
1.046653E-02	1.042688E-02	1.038723E-02	1.034758E-02	1.030793E-02	1.026828E-02	1.022863E-02	1.018898E-02
1.479385E-02	1.475420E-02	1.471455E-02	1.467490E-02	1.463525E-02	1.459560E-02	1.455595E-02	1.451630E-02
1.164214E-02	1.160249E-02	1.156284E-02	1.152319E-02	1.148354E-02	1.144389E-02	1.140424E-02	1.136459E-02
4.777920E-03	4.773955E-03	4.769990E-03	4.766025E-03	4.762060E-03	4.758095E-03	4.754130E-03	4.750165E-03
3.664036E-03	3.660071E-03	3.656106E-03	3.652141E-03	3.648176E-03	3.644211E-03	3.640246E-03	3.636281E-03
6.666397E-02	6.662432E-02	6.658467E-02	6.654502E-02	6.650537E-02	6.646572E-02	6.642607E-02	6.638642E-02
1.252277E-01	1.248312E-01	1.244347E-01	1.240382E-01	1.236417E-01	1.232452E-01	1.228487E-01	1.224522E-01
1.592427E-01	1.588462E-01	1.584497E-01	1.580532E-01	1.576567E-01	1.572602E-01	1.568637E-01	1.564672E-01
1.713476E-01	1.709511E-01	1.705546E-01	1.701581E-01	1.697616E-01	1.693651E-01	1.689686E-01	1.685721E-01
1.579118E-01	1.575153E-01	1.571188E-01	1.567223E-01	1.563258E-01	1.559293E-01	1.555328E-01	1.551363E-01
1.225170E-01	1.221205E-01	1.217240E-01	1.213275E-01	1.209310E-01	1.205345E-01	1.201380E-01	1.197415E-01
7.814723E-02	7.810758E-02	7.806793E-02	7.802828E-02	7.798863E-02	7.794898E-02	7.790933E-02	7.786968E-02
3.313974E-02	3.309009E-02	3.304044E-02	3.299079E-02	3.294114E-02	3.289149E-02	3.284184E-02	3.279219E-02
1.224238E-02	1.220273E-02	1.216308E-02	1.212343E-02	1.208378E-02	1.204413E-02	1.200448E-02	1.196483E-02
3.043011E-03	3.039046E-03	3.035081E-03	3.031116E-03	3.027151E-03	3.023186E-03	3.019221E-03	3.015256E-03





VALORES COMPUTADOS COM DADOS DA UNDA DE IONOSFERA

VALORES DE AIPARTE REAL DE CN(1)

0.000000E-31	-7.443298E-02	-2.955761E-01	-6.561018E-01	-1.144213E 00	-1.745394E 00	-2.432627E 00	-3.186512E 00
3.975573E 00	-4.766475E 00	-5.522519E 00	-6.204031E 00	-6.769098E 00	-7.174121E 00	-7.574855E 00	-7.927130E 00
6.986032E 00	-6.517046E 00	-9.277118E 00	-1.0335967E 00	-1.567475E 00	-2.047246E-01	-2.545999E 00	-3.045999E 00
1.002902E 01	1.413763E 01	1.604989E 01	2.352463E 01	2.800551E 01	3.405981E 01	3.761200E 01	4.053595E 01
5.083800E 01	5.631004E 01	6.151139E 01	6.549121E 01	7.007049E 01	7.445050E 01	7.801970E 01	8.075442E 01
8.245489E 01	8.335081E 01	8.326799E 01	8.229640E 01	8.015275E 01	7.711005E 01	7.305957E 01	6.809957E 01
6.22487E 01	5.955732E 01	4.622832E 01	3.326333E 01	3.152161E 01	2.305712E 01	1.405105E 01	5.012504E 00
3.932556E 00	-1.253706E 01	-2.095301E 01	-2.707743E 01	-3.593912E 01	-4.236694E 01	-4.795043E 01	-5.264716E 01
3.637451E 01	-5.511104E 01	-6.064651E 01	-6.195155E 01	-6.137305E 01	-6.022655E 01	-5.827505E 01	-5.557615E 01
5.220404E 01	-4.827314E 01	-4.391617E 01	-3.923730E 01	-3.436183E 01	-2.896282E 01	-2.449031E 01	-1.971410E 01
1.517597E 01	-1.095017E 01	-7.137463E 00	-3.763727E 00	-8.724346E-01	1.491381E 00	3.339419E 00	4.671029E 00
5.506351E 00	5.878201E 00	5.630311E 00	5.415091E 00	4.652050E 00	3.725209E 00	2.981099E 00	1.326001E 00
2.439010E-02	-1.262432E 00	-2.47920E 00	-3.579730E 00	-4.552170E 00	-5.274715E 00	-5.819092E 00	-6.135338E 00
6.228333E 00	-6.399466E 00	-5.764202E 00	-5.241493E 00	-4.559007E 00	-3.744260E 00	-2.833979E 00	-1.802229E 00
8.644931E-01	1.250750E-01	1.074508E 00	1.555469E 00	2.743975E 00	3.615928E 00	3.965354E 00	4.345521E 00
4.667170E 01	4.854974E 00	4.619860E 00	4.116866E 00	4.226127E 00	4.512618E 00	5.072977E 00	5.479688E 00
3.000656E 00	2.659406E 00	2.252771E 00	1.805797E 00	1.526400E 00	1.249681E 00	1.031280E 00	0.836695E-01
7.964274E-01	7.710614E-01	8.001268E-01	8.771800E-01	9.591733E-01	1.126630E 00	1.275699E 00	1.425532E 00
1.570117E 00	1.688646E 00	1.776567E 00	1.826794E 00	1.834929E 00	1.797495E 00	1.715092E 00	1.595199E 00
1.627171E 00	1.232423E 00	1.013976E 00	7.869959E-01	5.433157E-01	3.118715E-01	9.401905E-02	-5.808648E-02
2.590719E-01	-3.153774E-01	-4.059477E-01	-4.929597E-01	-4.753609E-01	-4.149595E-01	-3.339419E-01	-1.713954E-01
9.418610E-04	1.518955E-01	3.582823E-01	6.099900E-01	8.147094E-01	1.066945E 00	1.176995E 00	1.317476E 00
1.424175E 00	1.492827E 00	1.521531E 00	1.51034E 00	1.461269E 00	1.376164E 00	1.266352E 00	1.137476E 00
9.854755E-01	8.324908E-01	6.843284E-01	5.483501E-01	4.335020E-01	3.473698E-01	2.901574E-01	2.086711E-01
3.155495E-01	3.611380E-01	5.093174E-01	6.675110E-01	8.620307E-01	1.065401E 00	1.333226E 00	1.587552E 00
1.847642E 00	2.160530E 00	2.336075E 00	2.554555E 00	2.711932E 00	2.897216E 00	3.027555E 00	3.096738E 00
2.925114E 00	2.339743E 00	2.100901E 00	2.559610E 00	2.274660E 00	2.601450E 00	1.700059E 00	1.375293E 00
1.049749E 00	7.822057E-01	4.866539E-01	1.134209E-01	-1.460640E-01	-3.726702E-01	-5.930077E-01	-6.790706E-01
7.573711E-01	-7.803284E-01	-7.803284E-01	-6.877273E-01	-7.594130E-01	-4.272344E-01	-2.525169E-01	-5.904575E-01
1.418439E-01	3.431011E-01	5.348184E-01	7.028154E-01	8.570609E-01	9.747030E-01	1.094801E 00	1.196735E 00
1.098509E 00	1.030595E 00	9.605218E-01	8.794926E-01	7.493804E-01	5.918299E-01	4.282391E-01	2.546416E-01
0.799753E-02	-6.035505E-02	-1.587516E-01	-1.055975E-01	-3.742495E-01	-4.863149E-01	-3.905794E-01	-3.635258E-01
2.484128E-01	-1.121525E-01	0.118937E-02	2.366890E-01	4.973549E-01	7.464190E-01	1.005620E 00	1.200552E 00
1.520726E 00	1.760331E 00	1.576971E 00	1.464940E 00	2.451855E 00	2.451855E 00	2.451855E 00	2.451855E 00
2.532763E 00	2.455353E 00	2.403471E 00	2.291123E 00	2.159589E 00	2.097226E 00	1.955616E 00	1.806616E 00
1.555588E 00	1.353244E 00	1.217509E 00	1.103844E 00	1.015534E 00	9.591172E-01	9.233198E-01	9.214980E-01
9.450802E-01	9.929229E-01	1.066038E 00	1.141577E 00	1.231606E 00	1.323637E 00	1.411948E 00	1.465675E 00
1.551308E 00	1.591795E 00	1.667042E 00	1.744122E 00	1.815135E 00	1.877499E 00	1.937662E 00	1.985962E 00
1.096705E 00	9.271947E-01	7.452023E-01	5.729722E-01	4.708300E-01	3.708300E-01	2.823918E-01	-1.196625E-01
2.388763E-01	-3.272228E-01	-3.615273E-01	-3.99595E-01	-3.816242E-01	-3.627155E-01	-2.830810E-01	-1.837615E-01
2.452505E-02	1.523374E-01	3.700272E-01	5.572941E-01	7.452620E-01	9.271851E-01	1.095093E 00	1.261077E 00
1.376605E 00	1.476503E 00	1.591117E 00	1.699111E 00	1.807327E 00	1.899179E 00	1.991300E 00	1.496670E 00
1.411930E 00	1.323825E 00	1.231980E 00	1.141555E 00	1.050614E 00	9.692818E-01	8.430625E-01	5.227453E-01
9.238147E-01	9.551641E-01	1.015311E 00	1.103833E 00	1.217665E 00	1.352120E 00	1.505972E 00	1.666752E 00
1.836156E 00	2.099506E 00	2.354600E 00	2.291150E 00	2.463491E 00	2.463491E 00	2.463491E 00	2.463491E 00
2.508422E 00	2.433967E 00	2.316668E 00	2.165516E 00	1.977032E 00	1.750113E 00	1.525794E 00	1.266620E 00
1.059570E 00	1.464845E-01	4.576195E-01	2.665356E-01	6.129323E-02	-1.121239E-02	-7.435550E-03	-3.435795E-03
3.966140E-01	-4.062581E-01	-3.742155E-01	-3.039963E-01	-1.989251E-01	-6.635499E-02	-6.703888E-02	-2.534428E-02
4.242794E-01	5.310246E-01	7.453245E-01	8.794892E-01	9.805250E-01	1.034997E 00	1.073499E 00	1.076704E 00
1.054838E 00	9.727800E-01	8.576254E-01	7.063038E-01	5.367960E-01	3.643687E-01	1.413250E-01	-5.930732E-02
2.528399E-01	-4.272516E-01	-5.742694E-01	-6.877491E-01	-7.599982E-01	-7.803460E-01	-7.579265E-01	-6.736292E-01
5.505262E-01	-3.720357E-01	2.274605E 00	1.134999E-01	4.066377E-01	1.426273E 00	1.999737E 00	1.372255E 00
1.700098E 00	2.051689E 00	2.274605E 00	2.509077E 00	2.700001E 00	2.833749E 00	2.852511E 00	2.944284E 00
2.927547E 00	2.567223E 00	2.717933E 00	2.944659E 00	2.936087E 00	2.100949E 00	1.387682E 00	1.597505E 00
1.330228E 00	1.035417E 00	8.620469E-01	6.629125E-01	5.079941E-01	3.911483E-01	3.199398E-01	2.606646E-01
2.961774E-01	3.474057E-01	4.633840E-01	5.484065E-01	6.849666E-01	8.635018E-01	9.699030E-01	1.132858E 00
1.266363E 00	1.378124E 00	1.461289E 00	1.510373E 00	1.571351E 00	1.492663E 00	1.424212E 00	1.317493E 00
1.176463E 00	1.026569E 00	8.147188E-01	6.090654E-01	3.982909E-01	1.918630E-01	-9.590920E-01	-1.714103E-01
3.115395E-01	-4.145862E-01	-4.759027E-01	-4.906018E-01	-4.6588104E-01	-3.867427E-01	-2.591381E-01	-9.975506E-02
9.394974E-02	3.139845E-01	5.432937E-01	7.309213E-01	1.013501E 00	1.252251E 00	1.427084E 00	1.595012E 00
1.715037E 00	1.797265E 00	1.834483E 00	1.820704E 00	1.776519E 00	1.686607E 00	1.570508E 00	1.425916E 00
1.270667E 00	1.127946E 00	9.561124E-01	8.771851E-01	8.007162E-01	7.116143E-01	7.094422E-01	6.800771E-01
1.034148E 00	1.249694E 00	1.525417E 00	1.357557E 00	2.232967E 00	2.869413E 00	3.806853E 00	5.045671E 00
3.874260E 00	4.228434E 00	4.513253E 00	4.716875E 00	4.919011E 00	4.864995E 00	4.662175E 00	4.345355E 00
3.963432E 00	3.419546E 00	2.743593E 00	1.955506E 00	1.074588E 00	1.256850E-01	-9.64612E-01	-1.002244E 00
2.833982E 00	-3.744263E 00	-4.558002E 00	-5.241594E 00	-5.764215E 00	-6.099973E 00	-6.283525E 00	-6.139822E 00
5.816927E 00	-5.274726E 00	-4.521711E 00	-3.579713E 00	-2.474935E 00	-1.267443E 00	2.493273E-02	1.362010E 00
2.581097E 00	3.725302E 00	4.692097E 00	5.415922E 00	5.830319E 00	5.876304E 00	5.906478E 00	4.671099E 00
3.334506E 00	1.491466E 00	-8.792127E-01	-3.763671E 00	-1.137463E 00	-1.058619E 00	-1.517594E 00	-1.971408E 00
2.449033E 01	-2.940833E 01	-3.436188E 01	-3.623735E 01	-4.159151E 01	-4.682782E 01	-5.091127E 01	-5.597912E 01
5.825567E 01	-6.137825E 01	-6.137825E 01	-6.159151E 01	-6.084668E 01	-5.911127E 01	-5.637408E 01	-5.264740E 01
4.790707E 01	-4.236732E 01	-3.593919E 01	-2.807674E 01	-2.095966E 01	-1.263766E 01	-3.932501E 00	5.012504E 00
1.405193E 01	2.337123E 01	3.182167E 01	4.022897E 01	4.822897E 01	5.599240E 01	6.24961E 01	6.809957E 01
7.306956E 01	7.710531E 01	8.015295E 01	8.226035E 01	8.336819E 01	8.355177E 01	8.299919E 01	8.057947E 01
7.819777E 01	7.493617E 01	7.097107E 01	6.649144E 01	6.157164E 01	5.631827E 01	5.083800E 01	4.533621E 01
3.961208E 01	3.405789E 01	2.869277E 01	2.369476E 01	1.839430E 01	1.491381E 01	1.082908E 01	6.809957E 01
3.119341E 00	3.473865E-01	-1.967337E 00	-3.836650E 00	-5.277195E 00	-6.317691E 00	-6.999094E 00	-7.327175E 00
2.437264E 00	-1.743422E 00	-6.176119E 00	-8.206119E-01	-9.995831E-01	-1.491381E-01	-3.997661E 00	-3.106588E 00

VALORES DE B (PARTE IMAGINARIA DE CIVI)

00000E-71	2.859477E-07	2.460708E-02	-4.280130E-02	-2.099594E-01	-4.906715E-01	-5.205779E-01	-1.537444E-01
343335E-00	-3.551253E-07	-4.603381E-00	-3.376719E-00	-1.767466E-01	-5.719069E-01	-1.136449E-01	-1.421334E-01
672609E-01	-1.937466E-01	-2.212701E-01	-2.452445E-01	-2.714291E-01	-3.995075E-01	-3.502037E-01	-3.541302E-01
752725E-01	-3.729373E-01	-4.664111E-01	-4.149950E-01	-4.196490E-01	-4.149695E-01	-4.059261E-01	-5.004931E-01
643754E-01	-3.927103E-01	-2.936701E-01	-2.471563E-01	-1.936427E-01	-1.936427E-01	-6.733737E-00	4.030275E-01
977481E-00	1.387297E-01	2.357876E-01	3.217533E-01	4.931600E-01	4.888315E-01	5.259345E-01	6.313710E-01
976450E-01	7.509750E-01	8.062395E-01	9.559455E-01	9.630931E-01	9.093072E-01	9.167155E-01	9.173140E-01
065579E-01	8.539509E-01	8.547504E-01	8.140160E-01	7.645967E-01	7.076591E-01	6.438098E-01	5.749582E-01
321925E-01	4.268922E-01	3.905932E-01	2.748282E-01	2.090256E-01	1.285636E-01	6.121550E-01	-5.055393E-02
716142E-00	-1.705004E-01	-1.497768E-01	-1.333576E-01	-2.101927E-01	-2.101927E-01	-2.293762E-01	-2.495950E-01
435336E-01	-2.550342E-01	-2.226055E-01	-2.552376E-01	-1.649844E-01	-1.641445E-01	-1.566790E-01	-1.115068E-01
614849E-00	-6.192443E-00	-3.535647E-00	-1.675090E-00	-1.252071E-01	1.344636E-00	2.492228E-00	3.508235E-01
795856E-00	3.957421E-00	3.647361E-00	3.467131E-00	2.863957E-00	2.861273E-00	1.162729E-00	1.648055E-01
739976E-01	-1.905245E-00	-2.687214E-00	-3.782022E-00	-4.566000E-00	-5.154305E-00	-5.601752E-00	-5.989344E-00
095416E-00	-6.349136E-00	-5.639863E-00	-5.482475E-00	-4.596470E-00	-4.454891E-00	-3.735262E-00	-3.006121E-00
257648E-00	-1.509660E-00	-1.665908E-01	-1.312735E-01	5.136507E-01	1.046663E-00	1.493325E-00	1.943144E-00
094524E-00	2.250409E-00	2.316774E-00	2.652935E-00	2.220810E-00	2.064272E-00	1.203195E-00	1.706745E-00
550197E-00	1.298809E-00	1.116005E-00	9.631397E-01	8.487921E-01	7.768765E-01	7.509700E-01	7.010795E-01
526404E-01	9.657838E-01	1.108555E-00	1.273895E-00	1.403935E-00	1.653676E-00	1.857414E-00	2.084241E-00
146771E-00	2.254916E-00	2.522718E-00	2.546572E-00	2.322800E-00	2.252559E-00	2.133849E-00	1.968478E-00
789091E-00	1.570279E-00	1.352642E-00	1.352642E-00	1.352642E-00	6.026372E-01	3.642430E-01	1.934722E-01
653046E-02	-8.140633E-02	-1.570197E-01	-1.839495E-01	-1.776081E-01	-1.261597E-01	-3.346648E-02	7.939752E-02
201250E-01	3.754650E-01	5.365937E-01	6.645447E-01	8.495864E-01	9.665745E-01	1.305374E-00	1.131730E-00
160980E-00	1.150987E-00	1.101373E-00	1.101373E-00	6.412307E-01	7.392651E-01	5.644374E-01	3.746315E-01
787260E-01	-1.421537E-02	-1.941576E-01	-3.525253E-01	-4.806966E-01	-5.712767E-01	-6.182760E-01	-6.174501E-01
662462E-01	-4.643116E-01	-3.132074E-01	-1.165266E-01	1.202757E-01	3.906442E-01	6.642490E-01	1.648655E-01
304830E-00	1.614317E-00	1.905257E-00	2.169649E-00	2.398471E-00	2.563561E-00	2.719909E-00	2.881647E-00
827457E-00	2.750347E-00	2.716116E-00	2.572471E-00	2.536635E-00	2.166425E-00	1.913028E-00	1.635958E-00
354074E-00	1.057613E-00	7.679206E-01	5.929767E-01	4.767507E-01	4.125564E-02	-6.557622E-02	-1.815836E-01
550151E-01	-2.337631E-01	-2.698406E-01	-2.167836E-01	-1.299109E-01	-1.582149E-02	1.176116E-01	2.626506E-01
098263E-01	5.507146E-01	6.765174E-01	7.006355E-01	8.599073E-01	9.968965E-01	9.309422E-01	8.639258E-01
869747E-01	6.717307E-01	5.212572E-01	3.641988E-01	1.367174E-01	-8.66647E-02	-3.195617E-01	-5.926716E-01
775897E-01	-9.863658E-01	-1.171242E-00	-1.325344E-00	-1.442960E-00	-1.519792E-00	-1.555949E-00	-1.541255E-00
486060E-00	-1.308613E-00	-1.522959E-00	-1.804365E-00	-2.099950E-00	-2.478424E-00	-2.974535E-00	-3.672652E-00
668417E-03	2.243155E-01	4.263464E-01	5.817614E-01	7.538774E-01	8.432106E-01	9.176564E-01	9.732692E-01
526835E-01	9.364717E-01	8.624294E-01	8.354336E-01	7.112221E-01	6.309331E-01	4.968940E-01	3.876136E-01
912303E-01	2.721135E-01	1.424925E-01	1.005066E-01	8.510876E-02	5.697044E-02	1.346263E-01	1.935702E-01
846625E-01	3.731587E-01	5.092589E-01	6.342225E-01	7.635701E-01	8.896516E-01	1.002650E-00	1.096782E-00
171214E-00	1.216449E-00	1.235465E-00	1.210930E-00	1.136720E-00	1.068235E-00	9.472676E-01	7.968592E-01
210145E-01	4.254879E-01	2.162474E-01	-1.661926E-06	-2.162345E-01	-4.254763E-01	-6.217160E-01	-7.968592E-01
472008E-01	-1.505252E-00	-1.196717E-00	-1.210424E-00	-1.230494E-00	-1.230494E-00	-1.214444E-00	-1.078433E-00
002703E-00	-8.896419E-01	-7.653131E-01	-6.364273E-01	-5.025589E-01	-3.901589E-01	-2.846819E-01	-1.982716E-01
346311E-01	-9.638613E-02	-8.515025E-02	-1.309154E-01	-1.424594E-01	-2.572695E-01	-2.972626E-01	-3.396332E-01
978179E-01	-6.361225E-01	-7.112497E-01	-8.554626E-01	-8.824639E-01	-9.369154E-01	-9.627193E-01	-9.753327E-01
178749E-01	-8.452679E-01	-7.339146E-01	-5.918271E-01	-4.203921E-01	-2.243650E-01	-9.731600E-03	2.166794E-01
472402E-01	6.739808E-01	8.865337E-01	1.084327E-00	1.252507E-00	1.368585E-00	1.448601E-00	1.541555E-00
553050E-00	1.519814E-00	1.443092E-00	1.325355E-00	1.171272E-00	9.607165E-01	7.176251E-01	5.275502E-01
200204E-01	8.306903E-02	-1.346538E-01	-3.801515E-01	-5.211600E-01	-6.716697E-01	-7.868316E-01	-8.634772E-01
000574E-01	-8.968459E-01	-8.558577E-01	-7.800793E-01	-6.768759E-01	-5.966750E-01	-4.999792E-01	-3.829530E-01
177978E-01	1.554717E-02	1.779349E-01	2.169166E-01	2.698539E-01	2.698127E-01	2.555243E-01	1.815562E-01
350672E-02	-9.729562E-02	-2.970313E-01	-5.302934E-01	-7.894205E-01	-1.067664E-00	-1.559736E-00	-1.859701E-00
913503E-00	-2.195547E-00	-2.383397E-00	-2.572463E-00	-2.719113E-00	-2.879113E-00	-2.879093E-00	-2.879093E-00
719904E-00	-2.583960E-00	-2.584474E-00	-2.169060E-00	-1.905257E-00	-1.614337E-00	-1.306150E-00	-9.932459E-01
842554E-01	-3.950451E-01	-1.202738E-01	1.165945E-01	3.131973E-01	4.663015E-01	5.662350E-01	6.174635E-01
182781E-01	5.712560E-01	4.806839E-01	3.525143E-01	1.941495E-01	1.432635E-02	-1.878358E-01	-3.756132E-01
644355E-01	-7.352773E-01	-8.612331E-01	-1.313695E-01	-1.101373E-00	-1.151595E-00	-1.163972E-00	-1.131720E-00
065557E-00	-9.655498E-01	-8.405309E-01	-6.945183E-01	-5.369593E-01	-3.794195E-01	-2.203795E-01	-7.935977E-02
850872E-02	1.262462E-01	1.778639E-01	1.389776E-01	1.570719E-01	1.949523E-02	-3.649800E-02	-1.924740E-01
841675E-01	-6.915876E-01	-6.379402E-01	-1.909912E-00	-1.332503E-00	-1.570225E-00	-1.739394E-00	-1.938271E-00
136827E-00	-2.252347E-00	-2.322564E-00	-2.346675E-00	-2.322923E-00	-2.299259E-00	-2.146796E-00	-2.064418E-00
837451E-00	-1.653702E-00	-1.463974E-00	-1.278722E-00	-1.108976E-00	-9.643304E-01	-8.25794E-01	-7.819129E-01
565221E-01	-7.789188E-01	-6.488341E-01	-4.651655E-01	-1.116042E-00	-1.258512E-00	-1.505813E-00	-1.843502E-00
908411E-00	-2.294286E-00	-2.220834E-00	-2.302354E-00	-2.316769E-00	-2.296410E-00	-2.094554E-00	-1.843502E-00
493394E-00	-1.046674E-00	-5.134608E-01	1.012519E-01	7.608793E-01	1.566935E-00	2.297650E-00	3.066222E-00
733300E-00	4.404909E-00	4.596484E-00	5.042466E-00	5.839875E-00	6.045152E-00	6.095431E-00	5.969346E-00
667767E-00	5.194395E-00	4.560016E-00	3.782635E-00	2.857228E-00	1.905257E-00	8.739187E-01	-1.646830E-01
165704E-00	-2.681280E-00	-2.663852E-00	-3.467055E-00	-3.847840E-00	-3.467513E-00	-3.779535E-00	-3.306471E-00
492246E-00	-1.344656E-00	1.251764E-01	1.895894E-00	3.533605E-00	6.152463E-00	8.614830E-00	1.115374E-01
366956E-01	1.041451E-01	1.845091E-01	2.952990E-01	2.226045E-01	2.356322E-01	2.433350E-01	2.455374E-01
409801E-01	2.293279E-01	2.101795E-01	1.833595E-01	1.487797E-01	1.066023E-01	5.716244E-00	9.871522E-01
121428E-00	-1.285625E-01	-2.600227E-01	-2.744275E-01	-3.509025E-01	-4.268521E-01	-5.021742E-01	-5.749557E-01
438676E-01	-7.074950E-01	-7.645975E-01	-8.140294E-01	-8.547535E-01	-8.899541E-01	-9.063814E-01	-9.173102E-01
167731E-01	-9.353104E-01	-8.831013E-01	-8.305464E-01	-8.032380E-01	-7.549579E-01	-6.976428E-01	-6.313710E-01
593457E-01	-4.828333E-01	-4.031086E-01	-3.217033E-01	-2.397890E-01	-1.567303E-01	-7.977558E-00	-4.031086E-01
730733E-00	1.334727E-01	1.936426E-01	2.471976E-01	2.936766E-01	3.327033E-01	3.649302E-01	3.864968E-01
052463E-01	4.147660E-01	4.180478E-01	4.150902E-01	4.064126E-01	3.949364E-01	3.752754E-01	3.541302E-01
302647E-01	3.043683E-01	2.771432E-01	2.492450E-01	2.212785E-01	1.537501E-01	1.072612E-01	1.421204E-01
184452E-01	9.715714E-00	7.782571E-00	6.076713E-00	4.603373E-00	3.361259E-00	2.349330E-00	1.937455E-00
267991E-01	4.906626E-01	2.049409E-01	4.279274E-02	-2.462625E-02	-2.892130E-02		





5.010E 02	5.010E-02
5.020E 02	5.020E-02
5.030E 02	5.030E-02
5.040E 02	5.040E-02
5.050E 02	5.050E-02
5.060E 02	5.060E-02
5.070E 02	5.070E-02
5.080E 02	5.080E-02
5.090E 02	5.090E-02
5.100E 02	5.100E-02
5.110E 02	5.110E-02
5.120E 02	5.120E-02
5.130E 02	5.130E-02
5.140E 02	5.140E-02
5.150E 02	5.150E-02
5.160E 02	5.160E-02
5.170E 02	5.170E-02
5.180E 02	5.180E-02
5.190E 02	5.190E-02
5.200E 02	5.200E-02
5.210E 02	5.210E-02
5.220E 02	5.220E-02
5.230E 02	5.230E-02
5.240E 02	5.240E-02
5.250E 02	5.250E-02
5.260E 02	5.260E-02
5.270E 02	5.270E-02
5.280E 02	5.280E-02
5.290E 02	5.290E-02
5.300E 02	5.300E-02
5.310E 02	5.310E-02
5.320E 02	5.320E-02
5.330E 02	5.330E-02
5.340E 02	5.340E-02
5.350E 02	5.350E-02
5.360E 02	5.360E-02
5.370E 02	5.370E-02
5.380E 02	5.380E-02
5.390E 02	5.390E-02
5.400E 02	5.400E-02
5.410E 02	5.410E-02
5.420E 02	5.420E-02
5.430E 02	5.430E-02
5.440E 02	5.440E-02
5.450E 02	5.450E-02
5.460E 02	5.460E-02
5.470E 02	5.470E-02
5.480E 02	5.480E-02
5.490E 02	5.490E-02
5.500E 02	5.500E-02
5.510E 02	5.510E-02
5.520E 02	5.520E-02
5.530E 02	5.530E-02
5.540E 02	5.540E-02
5.550E 02	5.550E-02
5.560E 02	5.560E-02
5.570E 02	5.570E-02
5.580E 02	5.580E-02
5.590E 02	5.590E-02
5.600E 02	5.600E-02
5.610E 02	5.610E-02
5.620E 02	5.620E-02
5.630E 02	5.630E-02
5.640E 02	5.640E-02
5.650E 02	5.650E-02
5.660E 02	5.660E-02
5.670E 02	5.670E-02
5.680E 02	5.680E-02
5.690E 02	5.690E-02
5.700E 02	5.700E-02
5.710E 02	5.710E-02
5.720E 02	5.720E-02
5.730E 02	5.730E-02
5.740E 02	5.740E-02
5.750E 02	5.750E-02
5.760E 02	5.760E-02
5.770E 02	5.770E-02
5.780E 02	5.780E-02
5.790E 02	5.790E-02
5.800E 02	5.800E-02
5.810E 02	5.810E-02
5.820E 02	5.820E-02
5.830E 02	5.830E-02
5.840E 02	5.840E-02
5.850E 02	5.850E-02
5.860E 02	5.860E-02
5.870E 02	5.870E-02
5.880E 02	5.880E-02
5.890E 02	5.890E-02
5.900E 02	5.900E-02
5.910E 02	5.910E-02
5.920E 02	5.920E-02
5.930E 02	5.930E-02
5.940E 02	5.940E-02
5.950E 02	5.950E-02
5.960E 02	5.960E-02
5.970E 02	5.970E-02
5.980E 02	5.980E-02
5.990E 02	5.990E-02
6.000E 02	6.000E-02
6.010E 02	6.010E-02
6.020E 02	6.020E-02
6.030E 02	6.030E-02
6.040E 02	6.040E-02
6.050E 02	6.050E-02
6.060E 02	6.060E-02
6.070E 02	6.070E-02
6.080E 02	6.080E-02
6.090E 02	6.090E-02
6.100E 02	6.100E-02
6.110E 02	6.110E-02
6.120E 02	6.120E-02
6.130E 02	6.130E-02
6.140E 02	6.140E-02
6.150E 02	6.150E-02
6.160E 02	6.160E-02
6.170E 02	6.170E-02
6.180E 02	6.180E-02
6.190E 02	6.190E-02
6.200E 02	6.200E-02
6.210E 02	6.210E-02
6.220E 02	6.220E-02
6.230E 02	6.230E-02
6.240E 02	6.240E-02
6.250E 02	6.250E-02
6.260E 02	6.260E-02
6.270E 02	6.270E-02
6.280E 02	6.280E-02
6.290E 02	6.290E-02
6.300E 02	6.300E-02

VALUE	MAXIMUM	FUNCTION	VALUE	FUNCTION	VALUE	FUNCTION
X	F(X)					
.000E 00	0.0000E-01	*				
.000E 00	0.0000E-01	*				
.000E 00	2.3591E-04	*				
.000E 00	5.2162E-04	**				
.000E 00	9.2256E-04	**				
.000E 00	1.4374E-03	---				
.000E 00	2.0062E-03	---				
.000E 00	2.8083E-03	---				
.000E 00	3.8625E-03	---				
.000E 01	4.6289E-03	---				
.100E 01	5.7063E-03	---				
.200E 01	6.8923E-03	---				
.300E 01	8.1861E-03	---				
.400E 01	9.5882E-03	---				
.500E 01	1.1108E-02	---				
.600E 01	1.2809E-02	---				
.700E 01	1.4387E-02	---				
.800E 01	1.6177E-02	---				
.900E 01	1.8054E-02	---				
.000E 01	2.0014E-02	---				
.100E 01	2.2051E-02	---				
.200E 01	2.4156E-02	---				
.300E 01	2.6320E-02	---				
.400E 01	2.8554E-02	---				
.500E 01	3.0829E-02	---				
.600E 01	3.3143E-02	---				
.700E 01	3.5487E-02	---				
.800E 01	3.7852E-02	---				
.900E 01	4.0229E-02	---				
.000E 01	4.2607E-02	---				
.100E 01	4.4975E-02	---				
.200E 01	4.7326E-02	---				
.300E 01	4.9641E-02	---				
.400E 01	5.1917E-02	---				
.500E 01	5.4140E-02	---				
.600E 01	5.6303E-02	---				
.700E 01	5.8385E-02	---				
.800E 01	6.0385E-02	---				
.900E 01	6.2291E-02	---				
.000E 01	6.4091E-02	---				
.100E 01	6.5777E-02	---				
.200E 01	6.7343E-02	---				
.300E 01	6.8771E-02	---				
.400E 01	7.0062E-02	---				
.500E 01	7.1207E-02	---				
.600E 01	7.2199E-02	---				
.700E 01	7.3032E-02	---				
.800E 01	7.3702E-02	---				
.900E 01	7.4205E-02	---				
.000E 01	7.4537E-02	---				
.100E 01	7.4698E-02	---				
.200E 01	7.4685E-02	---				
.300E 01	7.4499E-02	---				
.400E 01	7.4139E-02	---				
.500E 01	7.3610E-02	---				
.600E 01	7.2911E-02	---				
.700E 01	7.2048E-02	---				
.800E 01	7.1025E-02	---				
.900E 01	6.9847E-02	---				
.000E 01	6.8521E-02	---				
.100E 01	6.7051E-02	---				
.200E 01	6.5448E-02	---				
.300E 01	6.3719E-02	---				
.400E 01	6.1873E-02	---				
.500E 01	5.9920E-02	---				
.600E 01	5.7863E-02	---				
.700E 01	5.5700E-02	---				
.800E 01	5.3515E-02	---				
.900E 01	5.1234E-02	---				
.000E 01	4.8894E-02	---				
.100E 01	4.6521E-02	---				
.200E 01	4.4110E-02	---				
.300E 01	4.1679E-02	---				
.400E 01	3.9230E-02	---				
.500E 01	3.6800E-02	---				
.600E 01	3.4373E-02	---				
.700E 01	3.1969E-02	---				
.800E 01	2.9597E-02	---				
.900E 01	2.7268E-02	---				
.000E 01	2.4991E-02	---				
.100E 01	2.2774E-02	---				
.200E 01	2.0625E-02	---				
.300E 01	1.8553E-02	---				
.400E 01	1.6564E-02	---				
.500E 01	1.4666E-02	---				
.600E 01	1.2865E-02	---				
.700E 01	1.1168E-02	---				
.800E 01	9.5619E-03	---				
.900E 01	8.1145E-03	---				
.000E 01	6.7763E-03	---				
.100E 01	5.5819E-03	---				
.200E 01	4.5335E-03	---				
.300E 01	3.7252E-03	---				
.400E 01	3.1433E-03	---				
.500E 01	2.8476E-03	---				
.600E 01	2.8288E-03	---				
.700E 01	3.0126E-03	---				
.800E 01	3.3047E-03	---				
.900E 01	3.6331E-03	---				
.000E 02	3.9951E-03	---				
.100E 02	4.2971E-03	---				
.200E 02	4.5004E-03	---				
.300E 02	4.7049E-03	---				
.400E 02	4.8094E-03	---				
.500E 02	4.8711E-03	---				
.600E 02	4.9915E-03	---				
.700E 02	5.0719E-03	---				
.800E 02	5.1111E-03	---				
.900E 02	5.1111E-03	---				

## CONCLUSÃO

Ao concluirmos este trabalho, de uma realização pessoal muito gratificante, esperamos ter dado uma contribuição significativa e de suma importância à pesquisa realizada pelo Grupo de Radiociências de Gaspar e por extensão, ao Instituto para Assuntos Espaciais (IAE) e Centro Tecnológico da Aeronáutica (CTA), no estudo da Anomalia Geomagnética Brasileira.

Este trabalho proporcionou uma economia do tempo de computação (tempo de CPU) da ordem de 5291%, com relação ao método atualmente em uso pelo Grupo acima citado. Em outras palavras, a determinação dos coeficientes de Fourier feita através do referido método consome um tempo de CPU da ordem de 2min 18seg, enquanto que o aqui apresentado reduz esse tempo para / 2,56 segundos. Em ambos os casos, usamos o computador WATFIV.

Cabe ressaltar também, que o método atualmente ainda em uso, destina-se exclusivamente a números de amostras decomponíveis em fatores primos iguais a 2, unicamente, enquanto que este pode ser aplicado à referida / base e, especialmente a números de amostras fatoráveis em fatores primos arbitrários. Ou seja, para o primeiro caso são usadas 512 amostras nos dados / da entrada, enquanto que para o segundo, usamos 630 amostras. \_

A economia do tempo de CPU e de custos fica evidenciado, quando ressaltamos que durante um ano são recolhidos e analisados em torno de  $8 \times 10^7$  dados, com amostras recolhidas a cada três minutos.

Como contribuição deste trabalho de pesquisa, sugerimos o estudo e desenvolvimento de um novo programa para computar os coeficientes da DFT no qual seja possível aplicar o pruning para diminuir ainda mais o tempo de CPU, e também um estudo comparativo entre os sinais emitidos e recuperados pelos aparelhos emissor e receptor, respectivamente, tendo por base / os resultados obtidos através da FFT, dos sinais correspondentes.

APÊNDICE A

A.1 - Cálculo de  $C_n$ :

Seja a forma complexa da série de Fourier,

$$f(t) = \sum_{n=-\infty}^{\infty} C_n e^{-jn \cdot \omega_0 t}, \quad (A.1)$$

com  $C_n$  a determinar através da fórmula

$$C_n = (1/T) \int_0^d \cos \omega t \cdot e^{-jn \cdot \omega_0 t} dt, \quad (A.2)$$

onde  $\omega = 2\pi/d$ ,  $\omega_0 = 2\pi/T$ , i.é.,

$$\begin{aligned} C_n &= (1/2T) \int_0^d (e^{j\omega t} + e^{-j\omega t}) e^{-jn \cdot \omega_0 t} dt \\ &= (1/2T) \int_0^d (e^{j(\omega - n \cdot \omega_0)t} + e^{-j(\omega + n \cdot \omega_0)t}) dt \\ &= \frac{1}{2Tj(\omega - n \cdot \omega_0)} [e^{j(\omega - n \cdot \omega_0)d} - 1] - \frac{1}{2Tj(\omega + n \cdot \omega_0)} [e^{-j(\omega + n \cdot \omega_0)d} - 1]. \end{aligned}$$

Evidenciando as exponenciais e multiplicando e dividindo por /

$d/2$ , temos:

$$C_n = \frac{d \cdot e^{j(\omega - n \cdot \omega_0)d/2}}{2T(\omega - n \cdot \omega_0)} \text{sen}(\omega - n \cdot \omega_0)d/2 + \frac{d \cdot e^{-j(\omega + n \cdot \omega_0)d/2}}{2T(\omega + n \cdot \omega_0)} \text{sen}(\omega + n \cdot \omega_0)d/2 \quad (A.3)$$

Calculando,

$$(\omega - n \cdot \omega_0)d/2 = (2\pi/d - 2n\pi d/T) = \pi - n\pi d/T \quad (A.4)$$

$$(\omega + n \cdot \omega_0)d/2 = (2\pi/d + 2n\pi d/T) = \pi + n\pi d/T \quad (A.5)$$

$$\text{sen}(\pi + n\pi d/T) = -\text{sen}(n\pi d/T), \quad (A.6)$$

$$\text{sen}(\pi - n\pi d/T) = \text{sen}(n\pi d/T), \quad (A.7)$$

$$\text{cos}(\pi + n\pi d/T) = -\text{cos}(n\pi d/T), \quad (A.8)$$

$$\text{cos}(\pi - n\pi d/T) = -\text{cos}(n\pi d/T). \quad (A.9)$$

Substituindo os valores de (A.4) até (A.9) em (A.3), temos:

$$C_n = \frac{d \cdot e^{j(\omega - n \cdot \omega_0)d/2}}{2 \cdot T(\pi - n\pi d/T)d/2} \cdot \text{sen}(n\pi d/T)d/2 - \frac{d \cdot e^{-j(\omega + n \cdot \omega_0)d/2}}{2 \cdot T(\pi + n\pi d/T)d/2} \cdot \text{sen}(n\pi d/T)d/2$$

$$\begin{aligned}
 C_n &= (d/2T) \operatorname{sen}(n\pi d/T) \left[ \frac{\cos(\pi - n\pi d/T) + j\operatorname{sen}(\pi - n\pi d/T)}{\pi + (n\pi d/T)} - \frac{\cos(\pi + n\pi d/T) + j\operatorname{sen}(\pi + n\pi d/T)}{\pi - (n\pi d/T)} \right] \\
 &= (d/2T) \operatorname{sen}(n\pi d/T) \left[ \frac{\cos(n\pi d/T) - j\operatorname{sen}(n\pi d/T)}{\pi - (n\pi d/T)} - \frac{\cos(n\pi d/T) - j\operatorname{sen}(n\pi d/T)}{\pi + (n\pi d/T)} \right] \\
 &= (d/2T) \operatorname{sen}(n\pi d/T) \left[ \frac{e^{-j(n\pi d/T)}}{\pi - (n\pi d/T)} - \frac{e^{-j(n\pi d/T)}}{\pi + (n\pi d/T)} \right] \\
 C_n &= (d/T)^2 \frac{n\pi \operatorname{sen}(n\pi d/T)}{\pi^2 - (n\pi d/T)^2} \cdot e^{-j(n\pi d/T)} \quad \text{(a.10)}
 \end{aligned}$$

## A.2 - Fluxograma.

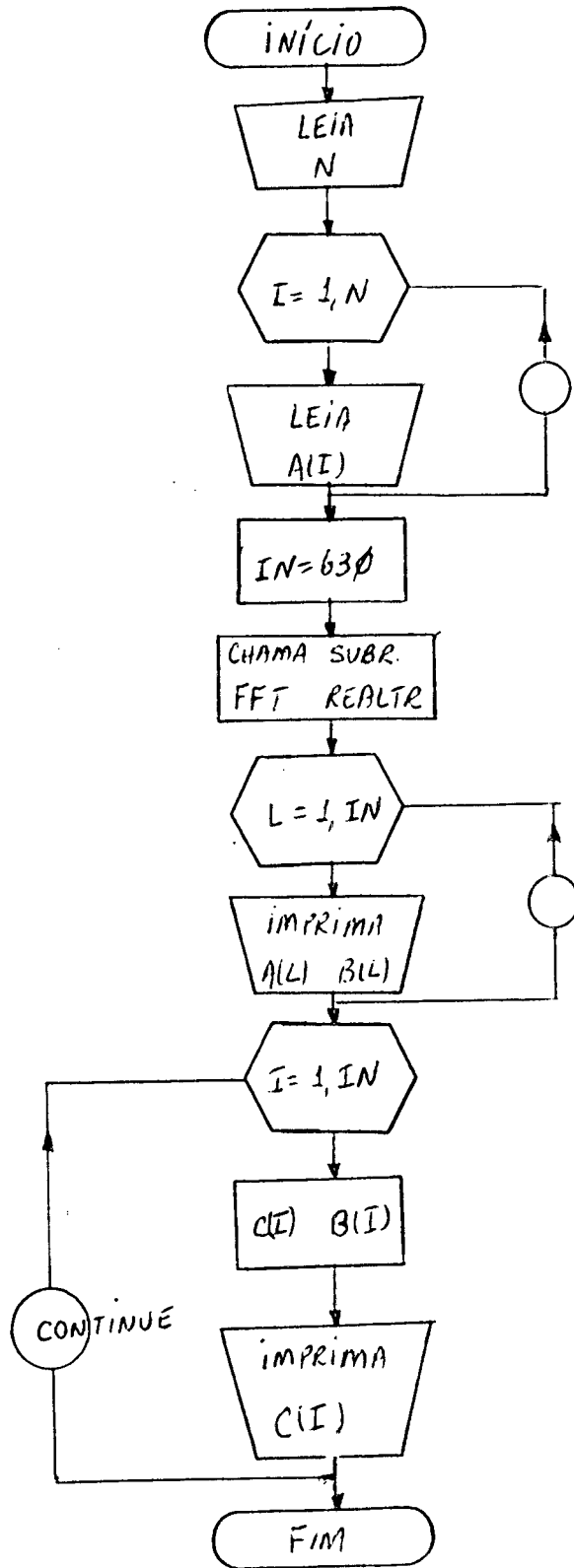
Apresentamos aqui o fluxograma ilustrativo do programa usado na computação dos coeficientes de Fourier através da FFT.

O fluxograma evidencia o programa principal, no qual é feita a leitura dos dados, o acesso às subrotinas FFT, REALTR e, no caso de interesse, pode-se também acrescentar a subrotina GRAFIC, apresentada no apêndice D e, em consequência, a impressão dos coeficientes de Fourier complexos (parte real e imaginária, bem como os valores de  $C_n$  em módulo).

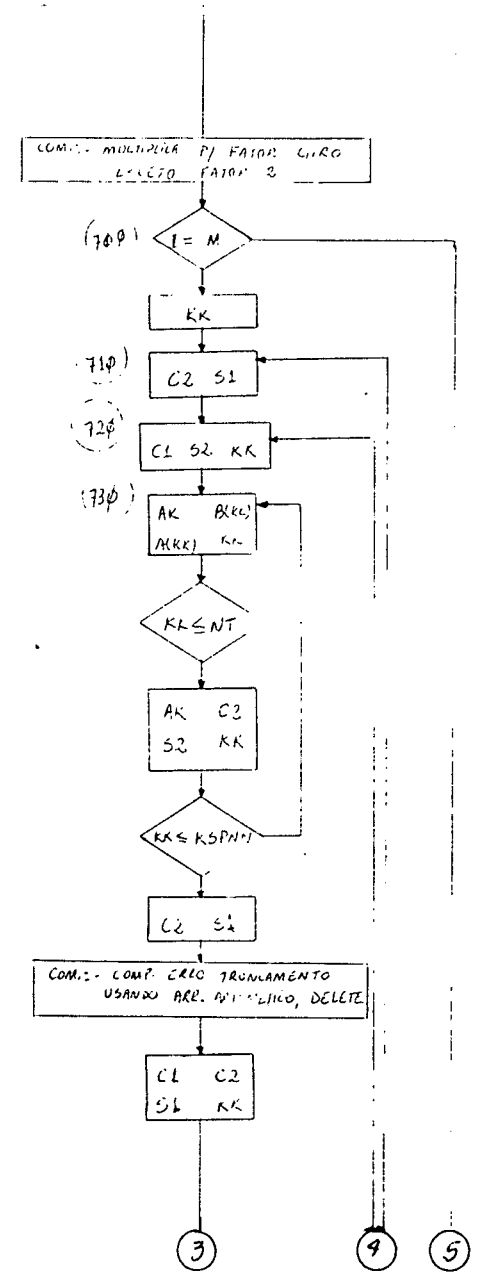
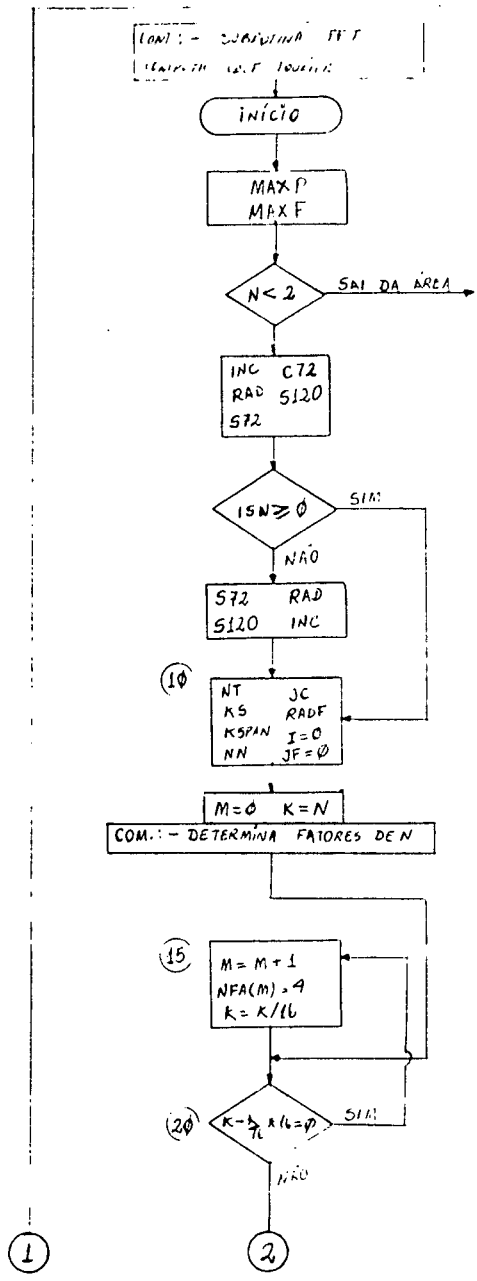
A subrotina FFT é dividida em partes, onde cada uma delas desempenha funções imprescindíveis na computação da transformada de Fourier, ou seja:

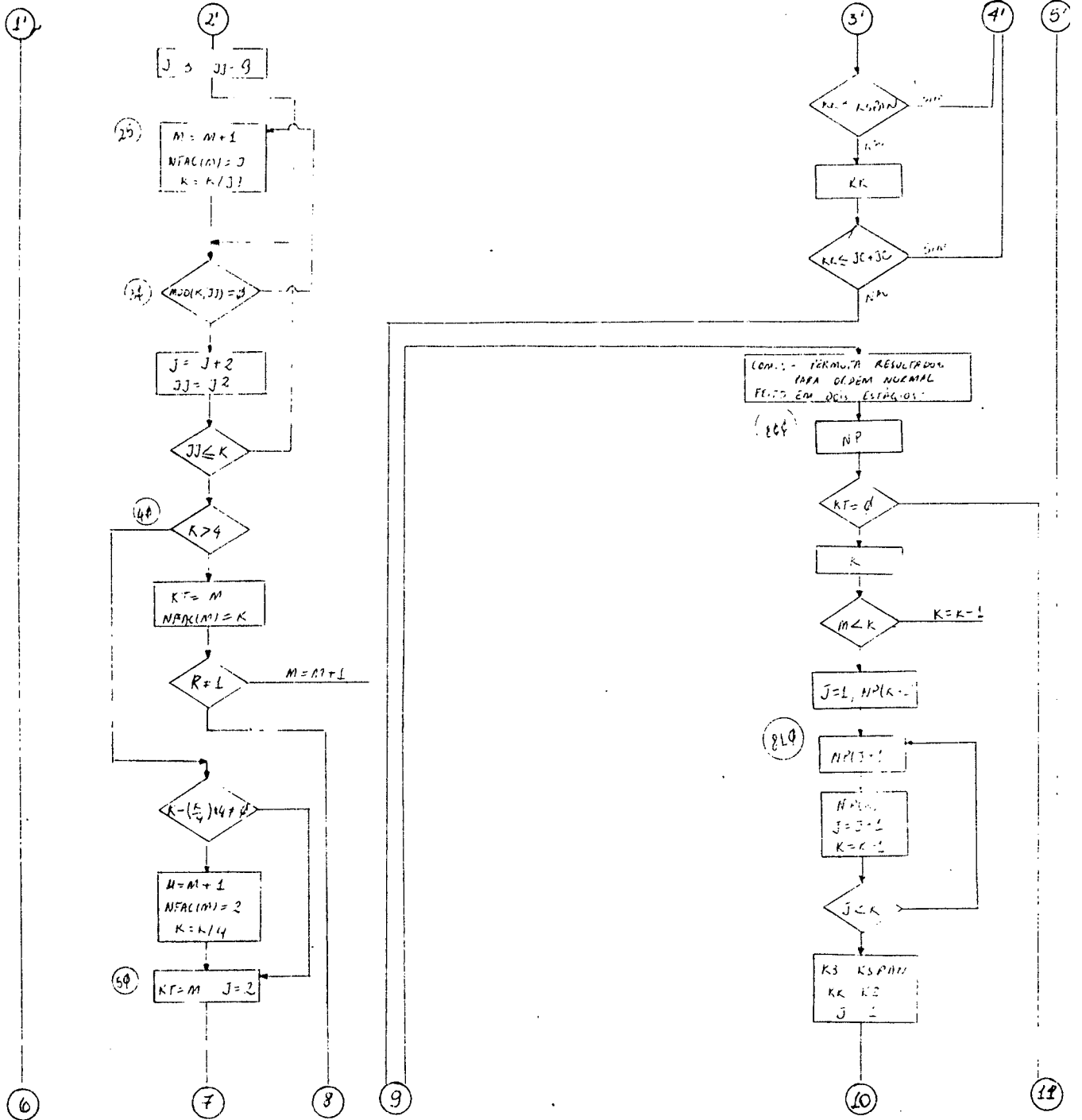
- a) - determinação dos fatores de N (número de amostras);
- b) - transformada do fator "2", incluindo o fator de giro;
- c) - transformadas dos fatores "3", "5" e ímpares, bem como as respectivas multiplicações pelos fatores de giro feitas numa única parte para cada um dos fatores citados;
- d) - possibilidade de opção pelo uso do arredondamento aritmético através do ponto flutuante, ou do truncamento aritmético;
- e) - permutação para a ordem normal, envolvendo os fatores quadrados (repetidos) e aqueles livres de quadrados;
- f) - determinação dos ciclos de permutação com duração maior do que um;
- g) - reordenamento dos coeficientes A e B segundo os ciclos de permutação.

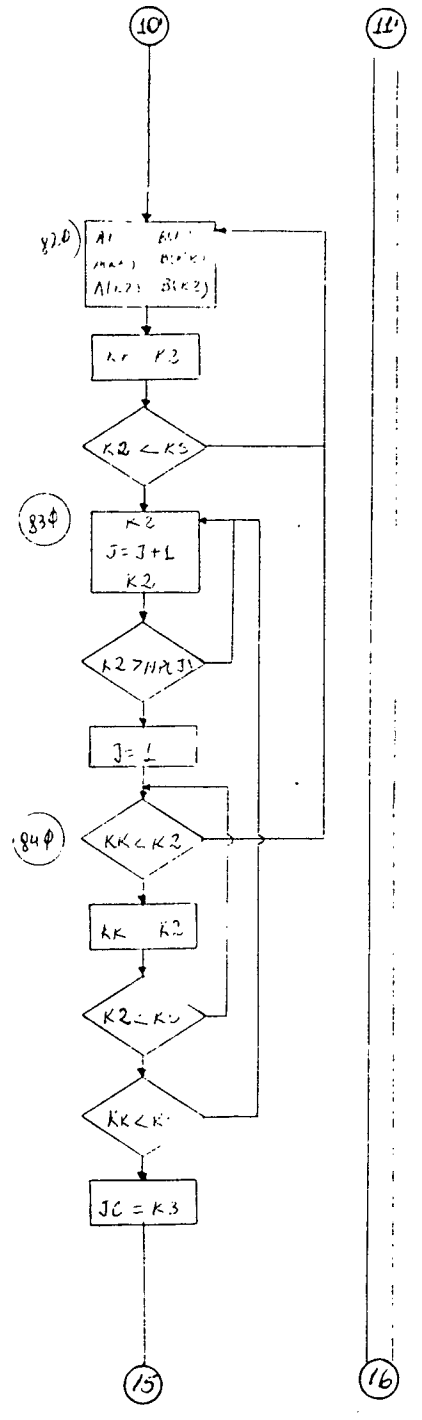
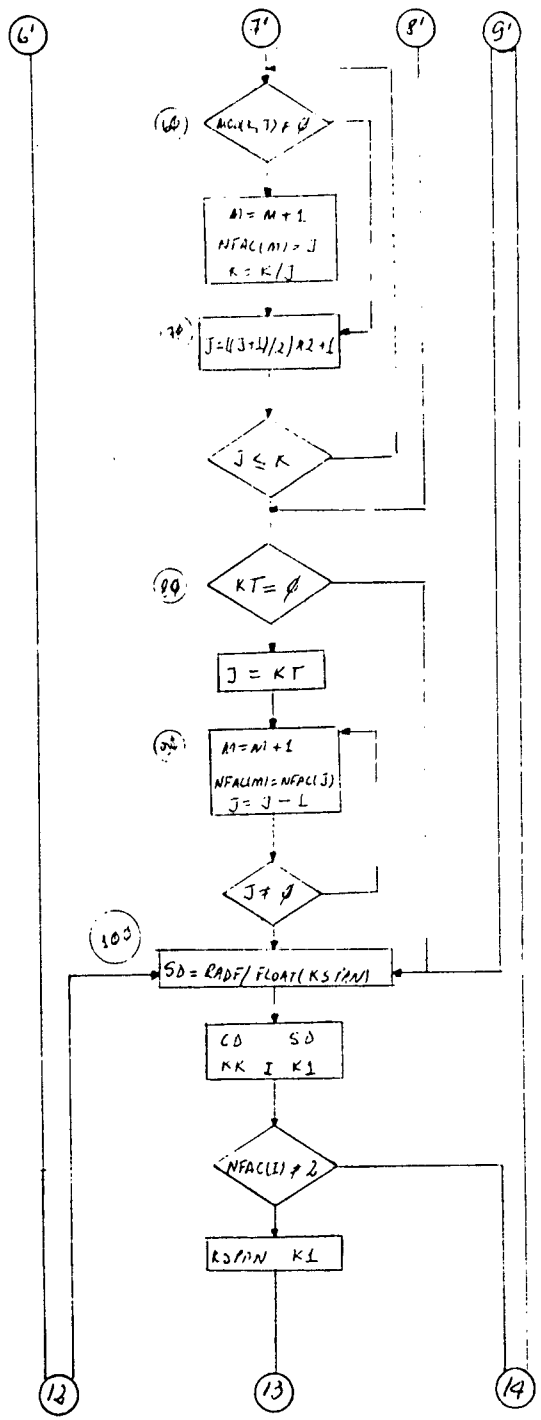
A subrotina REALTR completa a transformada de Fourier para 2N valores reais, usando as equações apresentadas no capítulo II deste trabalho/ e, incluindo também a opção pelo uso do arredondamento aritmético através do ponto flutuante, ou do truncamento aritmético.

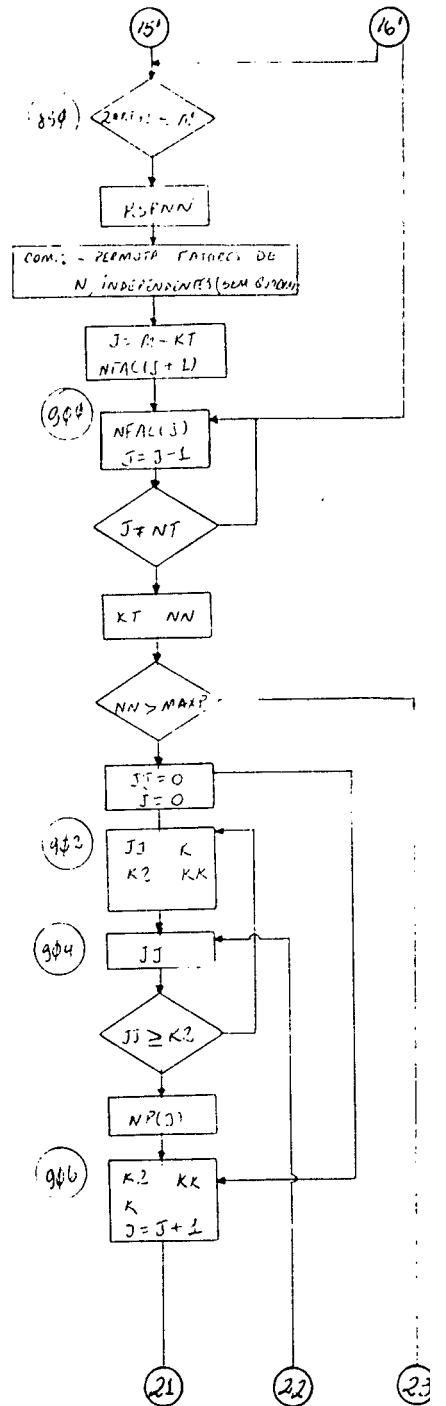
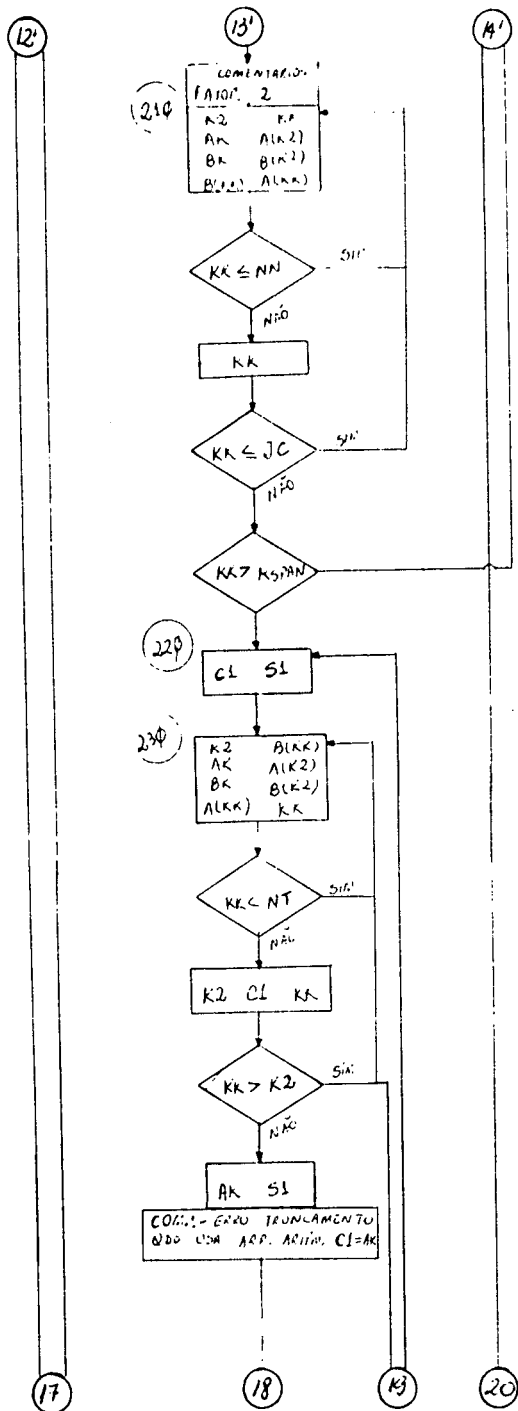


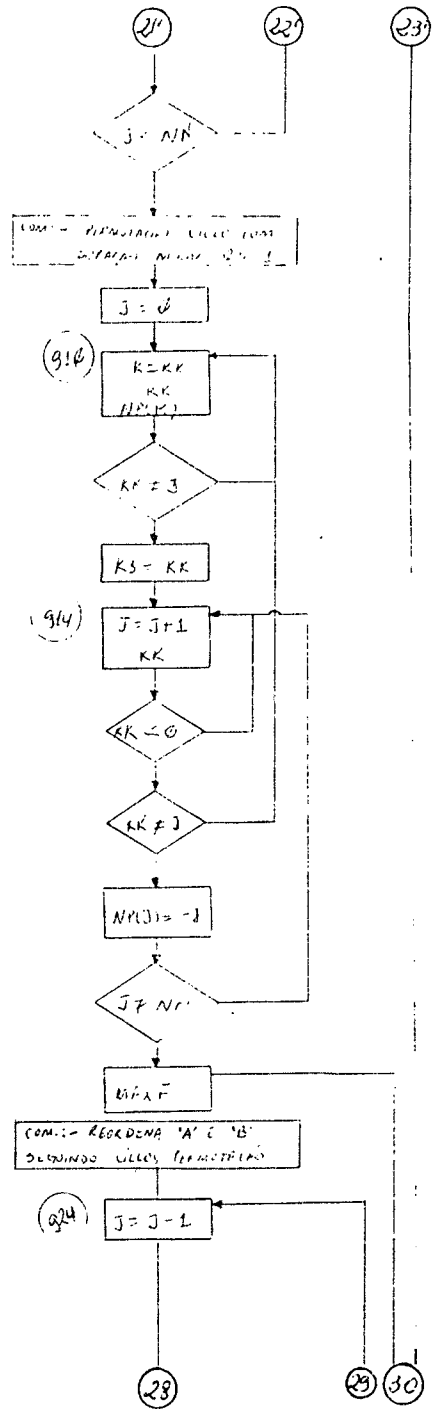
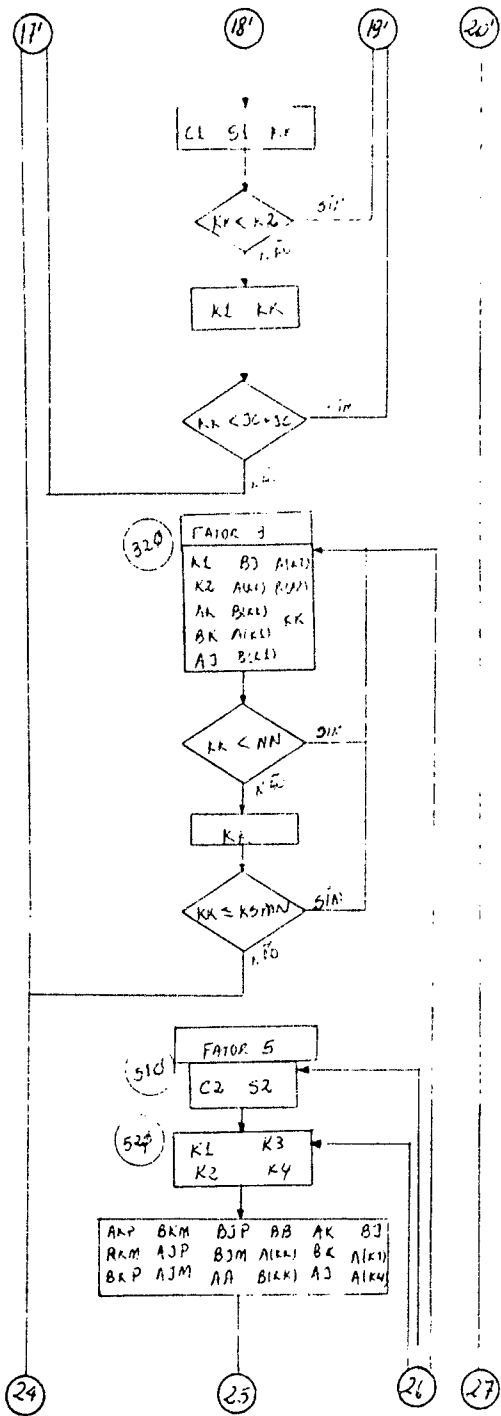


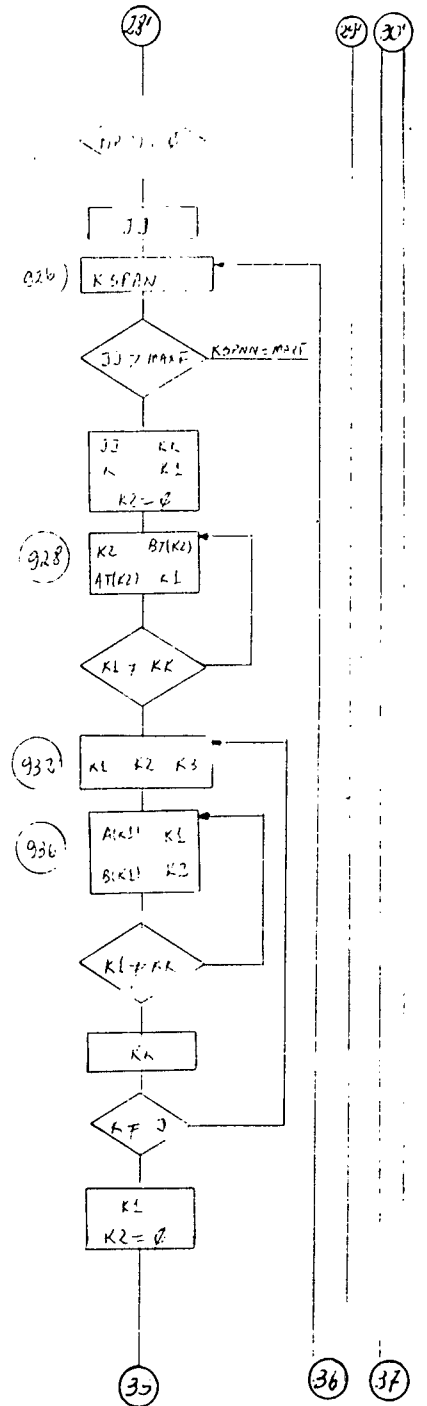
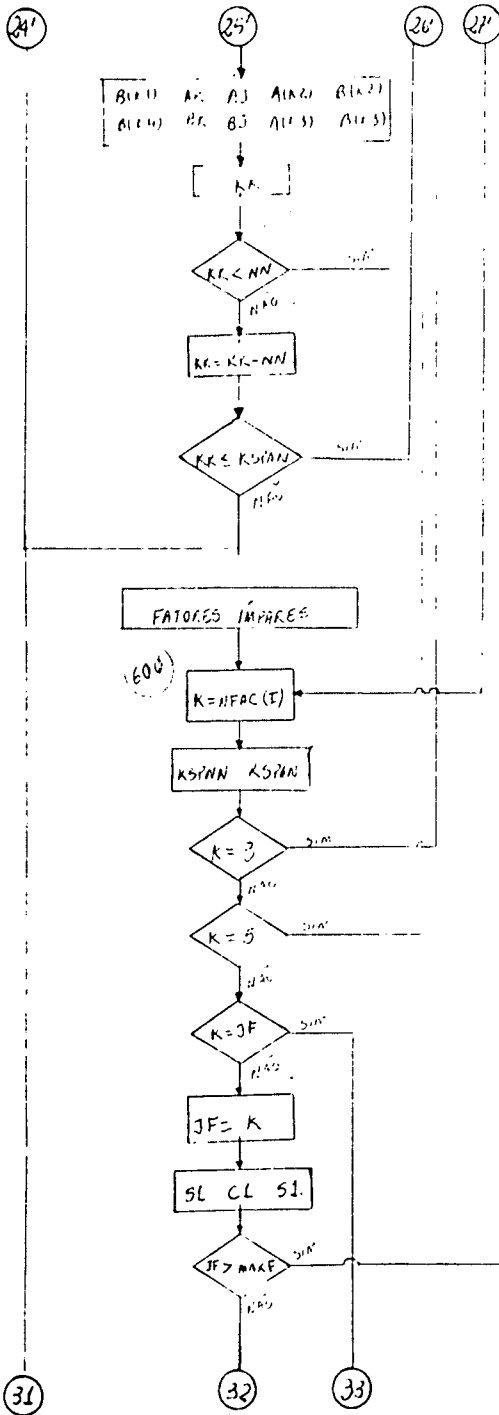


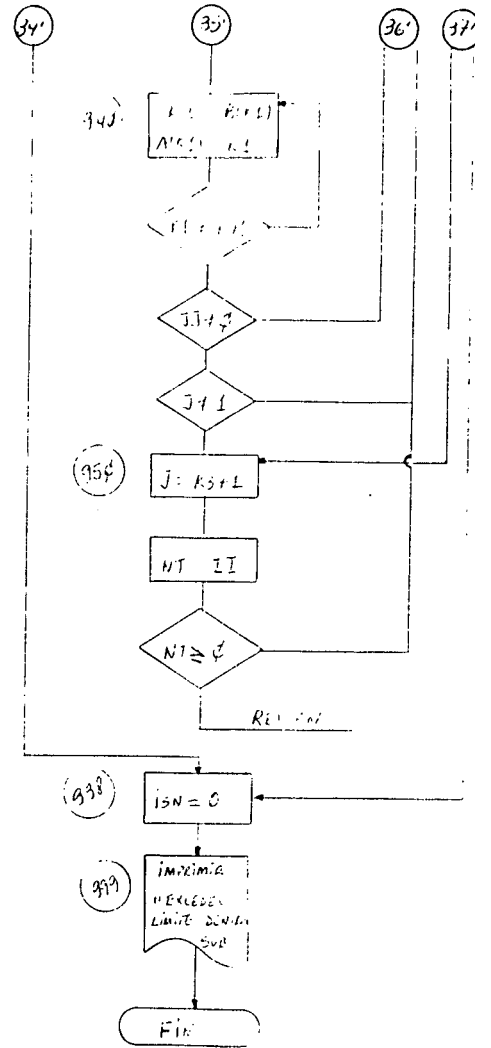
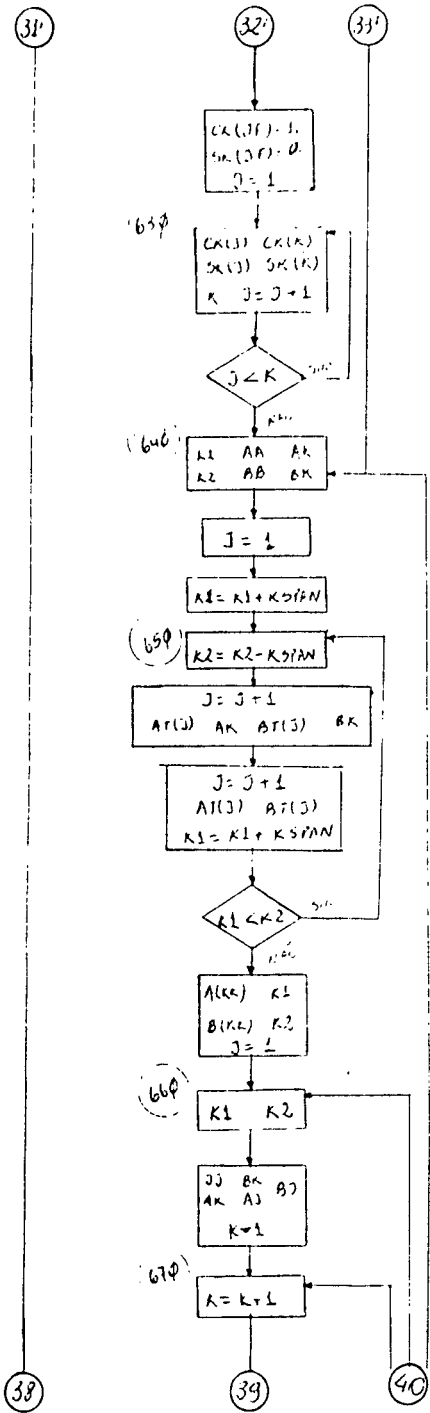


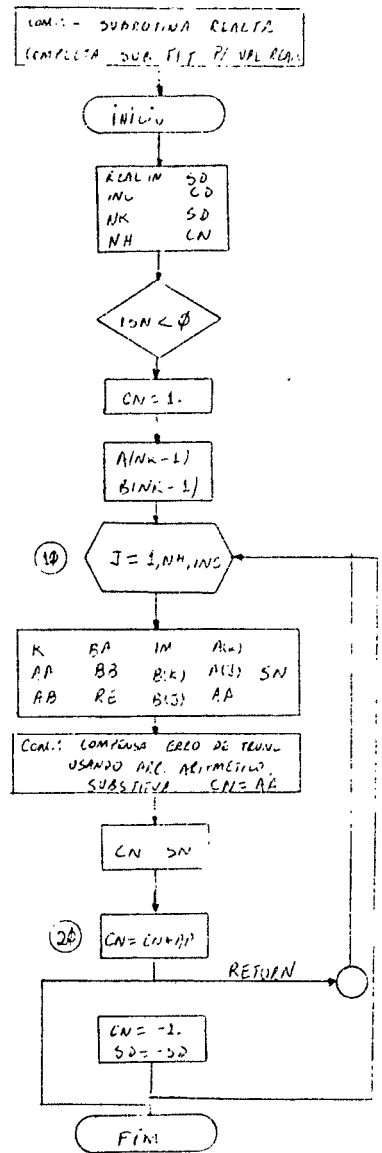
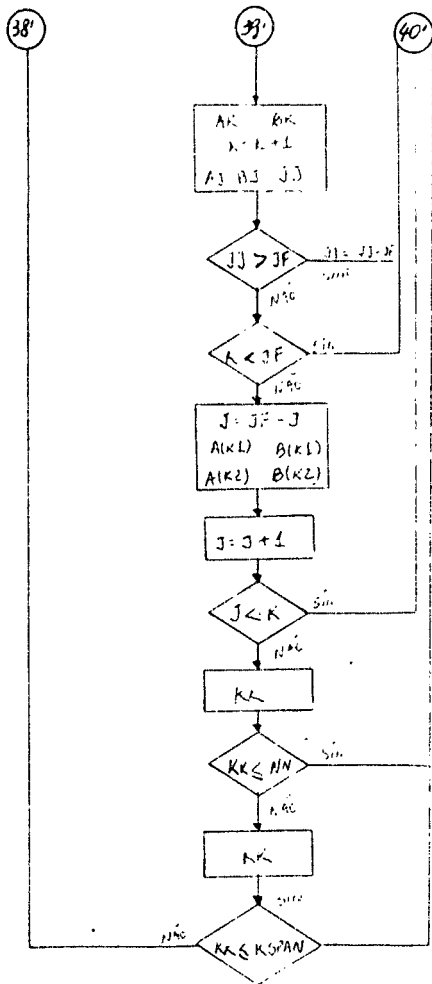














APÊNDICE B

Cálculo da transformada rápida de Fourier através do algoritmo de Cooley-Tukey (Cooley-Tukey, 1965), o qual é desenvolvido com base nas equações recursivas. [07]

A aplicação deste algoritmo, para o cálculo da transformada / rápida de Fourier, exige antes a permutação para a ordem do "bit-inverso", a qual torna-o tão eficiente quanto aquele desenvolvido por Sande (Sande-Gentleman, 1966 [08]) e apresentado no capítulo III, ítem 3.2.1, deste trabalho.

$$\text{Seja } N = p_1 p_2 p_3 p_4 p_5 \quad (\text{B.1})$$

onde,  $p_1 = 2$ ;  $p_2 = 3$ ;  $p_3 = 3$ ;  $p_4 = 5$  e  $p_5 = 7$ .

Fazendo

$$n = n_4 p_1 p_2 p_3 p_4 + n_3 p_1 p_2 p_3 + n_2 p_1 p_2 + n_0 \quad (\text{B.2})$$

$$k = k_4 p_2 p_3 p_4 p_5 + k_3 p_3 p_4 p_5 + k_2 p_4 p_5 + k_0$$

e substituindo aí os valores  $p_1, \dots, p_5$  dados acima, temos:

$$n = 90n_4 + 18n_3 + 6n_2 + 2n_1 + n_0 \quad (\text{B.3})$$

$$k = 315k_4 + 105k_3 + 35k_2 + 7k_1 + k_0$$

Substituindo (B.3) na equação (65) mostrada no capítulo II deste trabalho, teremos o algoritmo na versão de Cooley-Tukey, inclusive evidenciando os fatores de giro, colocados do lado de fora dos colchetes. Assim,

$$X(n_4+n_3+n_2+n_1+n_0) = \sum_{k_0=0}^6 \sum_{k_1=0}^4 \sum_{k_2=0}^2 \sum_{k_3=0}^2 \sum_{k_4=0}^1 x(k_4, k_3, k_2, k_1, k_0) \cdot W^{(90n_4+18n_3+6n_2+2n_1+n_0)(315k_4+105k_3+35k_2+7k_1+k_0)} \quad (\text{B.4})$$

Desenvolvendo o produto indicado no expoente, e reescrevendo / (B.4) sob a forma de equação recursiva, temos:

$$\tilde{X}_1(n_0, k_3, k_2, k_1, k_0) = \left[ \sum_{k_4=0}^1 \tilde{x}_0(k_4, k_3, k_2, k_1, k_0) W^{(315n_0 k_4)} \right] W^{(105n_0 k_3)} \quad (\text{B.5.1})$$

$$\tilde{X}_2(n_0, n_1, k_2, k_1, k_0) = \left[ \sum_{k_3=0}^2 \tilde{x}_1(n_0, k_3, k_2, k_1, k_0) W^{(210n_1 k_3)} \right] W^{k_2(70n_1+35n_0)} \quad (\text{B.5.2})$$

$$\tilde{X}_3(n_0, n_1, n_2, k_1, k_0) = \left[ \sum_{k_2=0}^2 \tilde{x}_2(n_0, n_1, k_2, k_1, k_0) W^{(210n_2 k_2)} \right] W^{k_1(42n_2+14n_1+7n_0)} \quad (\text{B.5.3})$$

$$\tilde{x}_4(n_0, n_1, n_2, n_3, k_0) = \left[ \sum_{k_1=0}^4 \tilde{x}_3(n_0, n_1, n_2, k_1, k_0) W^{i26n_3 k_1} \right] W^{k_0 (18n_3 + 6n_2 + 2n_1 + n_0)} \quad (\text{B.5.4})$$

$$\tilde{x}_5(n_0, n_1, n_2, n_3, n_4) = \left[ \sum_{k_0=0}^6 \tilde{x}_4(n_0, n_1, n_2, n_3, k_0) W^{90n_4 k_0} \right] \quad (\text{B.5.5})$$

$$\tilde{x}(n_4, n_3, n_2, n_1, n_0) = \tilde{x}_5(n_0, n_1, n_2, n_3, n_4) \quad (\text{B.5.6})$$

Embora o algoritmo na versão de Cooley-Tukey, supra citado, a presente a mesma eficiência daquele da versão de Sande, este último se apresenta com características melhores no que diz respeito à computação, razão pela qual optamos por ele no desenvolvimento de nosso trabalho.

Nas expressões acima, temos  $N$  elementos no arranjo  $x_1$ , requerendo cada um deles  $Np_1$  operações para obter  $x_1$ , de onde concluímos que a computação de  $x_m$  requer  $N(p_1 + p_2 + p_3 + \dots + p_m)$  operações complexas (adição, subtração e multiplicação complexa).

Considerando a simetria das exponenciais complexas, podemos reduzir mais ainda o número de operações complexas.

APÊNDICE C  
=====

Os dados de entrada apresentados na tabela abaixo, são aqueles usados na solução do nosso problema, apresentado no capítulo III, através do uso do programa também apresentado no capítulo IV. Esses dados fazem parte dos múltiplos dados recuperados pelo aparelho recuperador, citado na introdução.

REFLEXÃO	ALTURA	AMPLITUDES											
-0.36	83.8	-0.1	-0.1	-0.4	-0.2	-0.0	-0.0	-0.0	-0.0	-0.0	-0.0	-0.1	-0.1
-0.39	84.2	-0.0	-0.1	-0.0	-0.0	-0.1	-0.0	0.5	1.6*	0.5	1.6*	3.6	5.1
-0.31	84.7	4.8	1.4	-4.9	-10.9	-13.9	-12.9	-7.9	-0.5	-7.9	-0.5	7.0	12.1
-0.13	85.2	13.7	11.6	5.7	-1.0	-4.8	-5.5	-4.2	-2.2	-4.2	-2.2	-0.8*	-0.5
0.10	85.7	-0.5	-0.2	0.1	0.5	0.6	0.5	0.2	-0.2	0.2	-0.2	-0.5	-0.5
0.31	86.2	-0.6	-0.7	-0.4	-0.0	0.3	0.4	0.3	0.0	0.3	0.0	-0.1	-0.2
0.43	86.7	-0.1	-0.1	-0.0	0.1	0.3	0.4	0.4	0.1	0.4	0.1	-0.1	-0.2
0.43	87.1	-0.2	-0.2	-0.1	-0.0	0.2	0.2	0.2	0.1	0.2	0.1	-0.0	-0.1
0.30	87.6	-0.0	-0.0	-0.1	-0.1	-0.1	-0.1	-0.0	0.2	-0.0	0.2	0.4	0.4
0.11	88.1	0.4	0.1	-0.1	-0.2	-0.2	-0.2	-0.2	-0.2	-0.2	-0.2	-0.1	-0.2
-0.99	88.6	-0.1	-0.1	-0.0	0.1	0.2	0.1	0.1	0.1	0.1	0.1	-0.2	-0.3
-0.23	89.0	-0.3	-0.4	-0.4	-0.4	-0.2	-0.0	0.4	0.7	0.4	0.7	1.1**	1.6
-0.28	89.5	2.6	3.3	3.1	1.4	-1.5	-4.7	-6.5	-6.8	-6.5	-6.8	-5.4	-2.7
-0.24	90.0	0.7	3.6	5.3	5.2	3.4	0.8	-0.9	-1.5	-0.9	-1.5	-1.2	-0.6**
-0.15	90.5	-0.3	-0.2	-0.2	-0.2	-0.1	-0.1	-0.0	0.1	-0.0	0.1	0.2	0.2
0.09	91.9	0.1	-0.0	-0.0	-0.1	-0.0	-0.0	0.1	-0.0	0.1	-0.0	0.1	-0.0
0.09	92.3	-0.0	-0.0	0.2	0.2	0.2	-0.0	-0.0	-0.1	-0.0	-0.1	-0.0	-0.0
0.00	0.0	-0.0	-0.0	-0.0	-0.0	0.1	0.1	0.1	0.1	0.1	0.1	0.2	-0.0
0.00	0.0	-0.1	-0.2	-0.3	-0.3	-0.1	-0.1	-0.0	-0.2	-0.0	-0.0	0.1	0.1
0.00	0.0	0.2	0.1	0.1	-0.1	-0.1	-0.2	-0.2	-0.2	-0.0	-0.2	-0.1	-0.0
0.00	0.0	0.2	0.1	0.1	-0.1	-0.1	-0.1	-0.2	-0.2	-0.2	-0.2	-0.1	-0.0
0.00	0.0	0.1	0.0	-0.0	-0.1	-0.1	-0.1	-0.0	-0.0	-0.0	-0.0	0.1	0.1
0.00	0.0	0.1	-0.0	0.1	0.1	0.1	0.1	0.1	0.1	0.1	0.1	0.1	-0.1
0.00	0.0	-0.0	-0.0	-0.0	-0.1	-0.1	-0.1	0.1	-0.2	-0.0	-0.2	-0.1	-0.1
0.00	0.0	0.1	0.1	0.1	0.1	0.1	0.1	-0.2	-0.2	-0.0	-0.2	0.1	-0.0
0.00	0.0	-0.0	-0.0	-0.0	-0.1	-0.1	-0.1	0.1	-0.2	-0.0	-0.2	-0.1	-0.0
0.00	0.0	0.1	0.1	0.1	0.1	0.1	0.1	0.1	0.1	0.1	0.1	0.1	-0.1
0.00	0.0	-0.0	-0.0	-0.0	-0.1	-0.1	-0.1	-0.1	-0.1	-0.0	-0.2	-0.1	-0.0
0.00	0.0	0.1	0.1	0.1	0.1	0.1	0.1	-0.2	-0.2	-0.0	-0.2	-0.1	-0.0

Obs.: \* Início e término da onda de terra. \*\* Início e término da onda ionosférica.

APÊNDICE D

A subrotina GRAFIC serve para traçados de gráficos. É acessada através de CALL GRAFIC (Y, X, IX) e apresenta escalonamento automático.

```
C      SUBROTINA PARA TRAÇADOS DE GRÁFICOS
C      PARÂMETROS:  - X = CONJUNTO DOS PONTOS X (ABSCISSA)
C                   Y = CONJUNTO DOS PONTOS Y (ORDENADA)
C                   IX = NÚMERO DE PONTOS A SEREM PLOTADOS

SUBROUTINE GRAFIC(X, Y, IX)
DIMENSION XLIN(100), X(IX), Y(IX)
DATA BRANCO, PONTO, AXISX, COORD/1H, 1H*, 1H1, 1H-,/
DO 1 N = 1, 100
1  XLIN(N) = Y(1)
   YMIN = Y(1)
   YMAX = Y(1)
   DO 2 J = 2, IX
   IF(Y(J) .LT. YMIN) YMIN=Y(J)
   IF(Y(J) .GT. YMAX) YMAX=Y(J)
2  CONTINUE
   WRITE(6, 8) YMAX, YMIN
8  FORMAT(1H1, ////,5X,13HVALOR MAXIMO =, 1PE25.9,5X,13HVALOR MINIMO =,
   *E25.9,/,4X,1HX,8X,4HF(X))
   F = 94./(YMAX - YMIN)
   DO 3 M = 1, IX
   K = (Y(M) - YMIN)*F + 1.5
   DO 4 IL = 1, K
4  XLIN(IL) = COORD
   L = (0.0 - YMIN)*F + 1.5
   IF(YMIN .GE. 0. .OR. YMAX .LE. 0.) GO TO 5
   XLIN(L) = AXISX
5  XLIN(K) = PONTO
   WRITE(6, 9) X(M), Y(M), (XLIN(N), N = 1, 95)
9  FORMAT(1X, 1PE10.3,1X,E11.4,1X,100A1)
   DO 6 IT = 1, 100
6  XLIN(IT) = BRANCO
   IF(K .EQ. L) XLIN(K) = AXISX
3  CONTINUE
RETURN
END
```

## APÊNDICE E

As computações básicas correspondendo ao passo  $F_1$  podem ser apresentadas pelo gráfico de fluxo de sinal simplificado da figura (E.1). / Neste passo  $p_i = 7$ , então a sequência  $\{X_n\}$  é dividida em subsequências  $\{X_n^1(k)\}$  compostas de 90 elementos cada uma.

As equações representativas dos cálculos necessários para a determinação dos elementos da matriz de exponenciais complexas (109) em cada um dos respectivos nós do gráfico são do tipo:

$$X_0^1(k) = G_0(k) + W^r G_1(k) + W^{2r} G_2(k) + W^{3r} G_3(k) + W^{4r} G_4(k) + W^{5r} G_5(k) + W^{6r} G_6(k) \quad (E.1)$$

$$X_1^1(k) = G_0(k) + W^{(r+q_1)} G_1(k) + W^{2(r+q_1)} G_2(k) + W^{3(r+q_1)} G_3(k) + W^{4(r+q_1)} G_4(k) \\ + W^{5(r+q_1)} G_5(k) + W^{6(r+q_1)} G_6(k) \quad (E.2)$$

$$X_2^1(k) = G_0(k) + W^{(r+2q_1)} G_1(k) + W^{2(r+2q_1)} G_2(k) + W^{3(r+2q_1)} G_3(k) + W^{4(r+2q_1)} \\ \cdot G_4(k) + W^{5(r+2q_1)} G_5(k) + W^{6(r+2q_1)} G_6(k) \quad (E.3)$$

$$X_3^1(k) = G_0(k) + W^{(r+3q_1)} G_1(k) + W^{2(r+3q_1)} G_2(k) + W^{3(r+3q_1)} G_3(k) + W^{4(r+3q_1)} \\ \cdot G_4(k) + W^{5(r+3q_1)} G_5(k) + W^{6(r+3q_1)} G_6(k) \quad (E.4)$$

$$X_4^1(k) = G_0(k) + W^{(r+4q_1)} G_1(k) + W^{2(r+4q_1)} G_2(k) + W^{3(r+4q_1)} G_3(k) + W^{4(r+4q_1)} \\ \cdot G_4(k) + W^{5(r+4q_1)} G_5(k) + W^{6(r+4q_1)} G_6(k) \quad (E.5)$$

$$X_5^1(k) = G_0(k) + W^{(r+5q_1)} G_1(k) + W^{2(r+5q_1)} G_2(k) + W^{3(r+5q_1)} G_3(k) + W^{4(r+5q_1)} \\ \cdot G_4(k) + W^{5(r+5q_1)} G_5(k) + W^{6(r+5q_1)} G_6(k) \quad (E.6)$$

$$X_6^1(k) = G_0(k) + W^{(r+6q_1)} G_1(k) + W^{2(r+6q_1)} G_2(k) + W^{3(r+6q_1)} G_3(k) + W^{4(r+6q_1)} \\ \cdot G_4(k) + W^{5(r+6q_1)} G_5(k) + W^{6(r+6q_1)} G_6(k) \quad (E.7)$$

onde,  $k = 0, 1, \dots, q_1-1$ ,  $r = 0, 1, \dots, q_1-1$  e  $q_1 = N/p_i$ .

No segundo arranjo computacional que corresponde ao passo  $F_2$  as computações básicas estão representadas no gráfico de fluxo de sinal simplificado da figura (E.II). Neste passo  $p_{i-1} = 5$  e cada uma das subsequências  $\{X_n^1(k)\}$  é ainda dividida em subsequências  $\{X_n^2(k)\}$  compostas por 18 elementos cada uma. As equações representativas dos cálculos necessários para a determinação da matriz de exponenciais complexas (109), em cada um dos nós, são:

$$X_0^2(k) = G_0^1(k) + W^s G_1^1(k) + W^{2s} G_2^1(k) + W^{3s} G_3^1(k) + W^{4s} G_4^1(k), \quad (E.8)$$

$$X_1^2(k) = G_0^1(k) + W^{(s+q_2)} G_1^1(k) + W^{2(s+q_2)} G_2^1(k) + W^{3(s+q_2)} G_3^1(k) + W^{4(s+q_2)} G_4^1(k) \quad (E.9)$$

$$X_2^2(k) = G_0^1(k) + W^{(s+2q_2)} G_1^1(k) + W^{2(s+2q_2)} G_2^1(k) + W^{3(s+2q_2)} G_3^1(k) + W^{4(s+2q_2)} G_4^1(k) \quad (E.10)$$

$$X_3^2(k) = G_0^1(k) + W^{(s+3q_2)} G_1^1(k) + W^{2(s+3q_2)} G_2^1(k) + W^{3(s+3q_2)} G_3^1(k) + W^{4(s+3q_2)} G_4^1(k) \quad (E.11)$$

$$X_4^2(k) = G_0^1(k) + W^{(s+4q_2)} G_1^1(k) + W^{2(s+4q_2)} G_2^1(k) + W^{3(s+4q_2)} G_3^1(k) + W^{4(s+4q_2)} G_4^1(k) \quad (E.12)$$

onde,  $q_2 = N/p_i p_{i-1}$ ;  $s = 0, 1, \dots, q_2-1$  e  $k = 0, 1, \dots, q_2-1$ .

Para obtermos o terceiro arranjo computacional, o qual corresponde ao passo  $F_3$ , as computações básicas são representadas pelo gráfico de fluxo de sinal simplificado da figura (E.III). Neste passo  $p_{i-2} = 3$ , cada uma das subsequências  $\{X_n^2(k)\}$  é dividida em outras três subsequências  $\{X_n^3(k)\}$  de 6 elementos cada uma. Em cada um dos nós os elementos da matriz (109) são calculados por:

$$X_0^3(k) = G_0^2(k) + W^t G_1^2(k) + W^{2t} G_2^2(k), \quad (E.13)$$

$$X_1^3(k) = G_0^2(k) + W^{(t+q_3)} G_1^2(k) + W^{2(t+q_3)} G_2^2(k) \quad (E.14)$$

$$X_2^3(k) = G_0^2(k) + W^{(t+2q_3)} G_1^2(k) + W^{2(t+2q_3)} G_2^2(k). \quad (E.15)$$

Finalmente, nos passos  $F_4$  e  $F_5$  as computações básicas estão / representadas no gráfico de fluxo de sinal da figura (E.III) e da figura (E. IV). Nesse passo,  $p_{i-3}=3$  e  $p_{i-4} = 2$ , e cada uma das subsequências  $\{X_n^3(k)\}$  é dividida em outras três subsequências tendo cada uma delas apenas dois elementos. Os valores dc elementos da matriz de exponenciais complexas (109) são de terminados por:

$$X_0^4(k) = G_0^3(k) + W^u G_1^3(k) + W^{2u} G_2^3(k), \quad (E.16)$$

$$X_1^4(k) = G_0^3(k) + W^{(u+q_4)} G_1^3(k) + W^{2(u+q_4)} G_2^3(k), \quad (E.17)$$

$$X_2^4(k) = G_0^3(k) + W^{(u+2q_4)} G_1^3(k) + W^{2(u+2q_4)} G_2^3(k), \quad (E.18)$$

$$X_{m+1}^5(k) = X_m^4(k) + W^v X_m^4(q), \quad (E.19)$$

$$X_{m+1}^5(q) = X_m^4(k) - W^v X_m^4(q) \quad (E.20)$$

onde,  $q_4 = N/p_i \dots p_{i-3}$ ;  $u = 0, 1, \dots, q_4-1$ ;  $k = 0, 1, \dots, q_4 - 1$  e  $v = N/p_i \dots p_{i-4}$ ;  $k = 0, 1, \dots, v-1$ ;  $m =$  arranjo computacional.

Acrescentamos neste apêndice, a transformada rápida de Fourier desenvolvida através da divisão da sequência de amostras  $N$  em  $n$  outras subsequências, cada uma delas correspondendo aos respectivos fatores primos de  $N$  com os respectivos gráficos de fluxo de sinal simplificados, para darmos uma / idéia geral da composição das borboletas correspondentes aos nós computacionais. Cabe ressaltar, que este não foi o método usado na resolução do nosso / problema, já que para o referido utilizamos o algoritmo na versão de Sande[08].

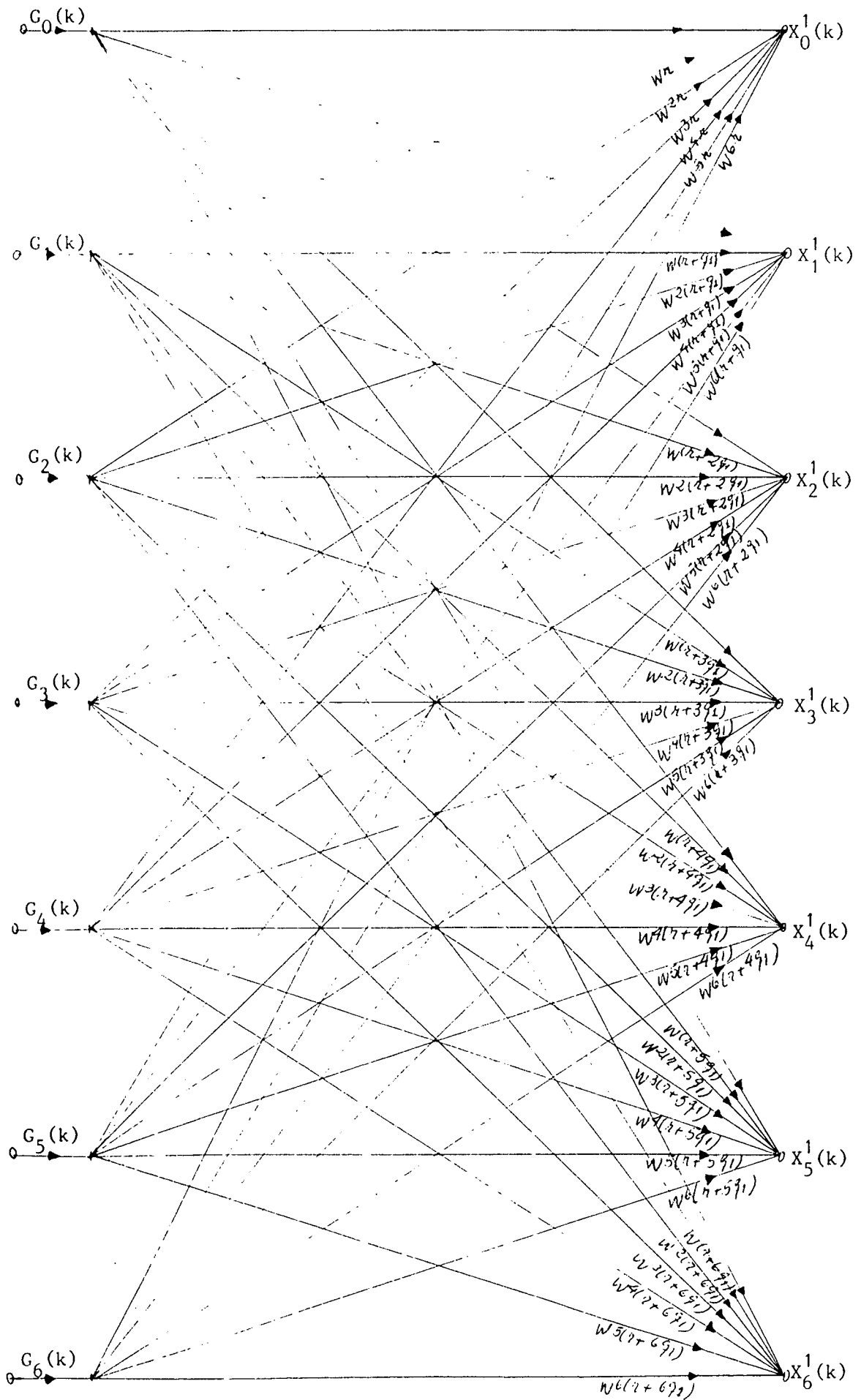


Fig. (E.I) - Gráfico de fluxo de sinal simplificado representando o passo  $p_1 = 7$ .



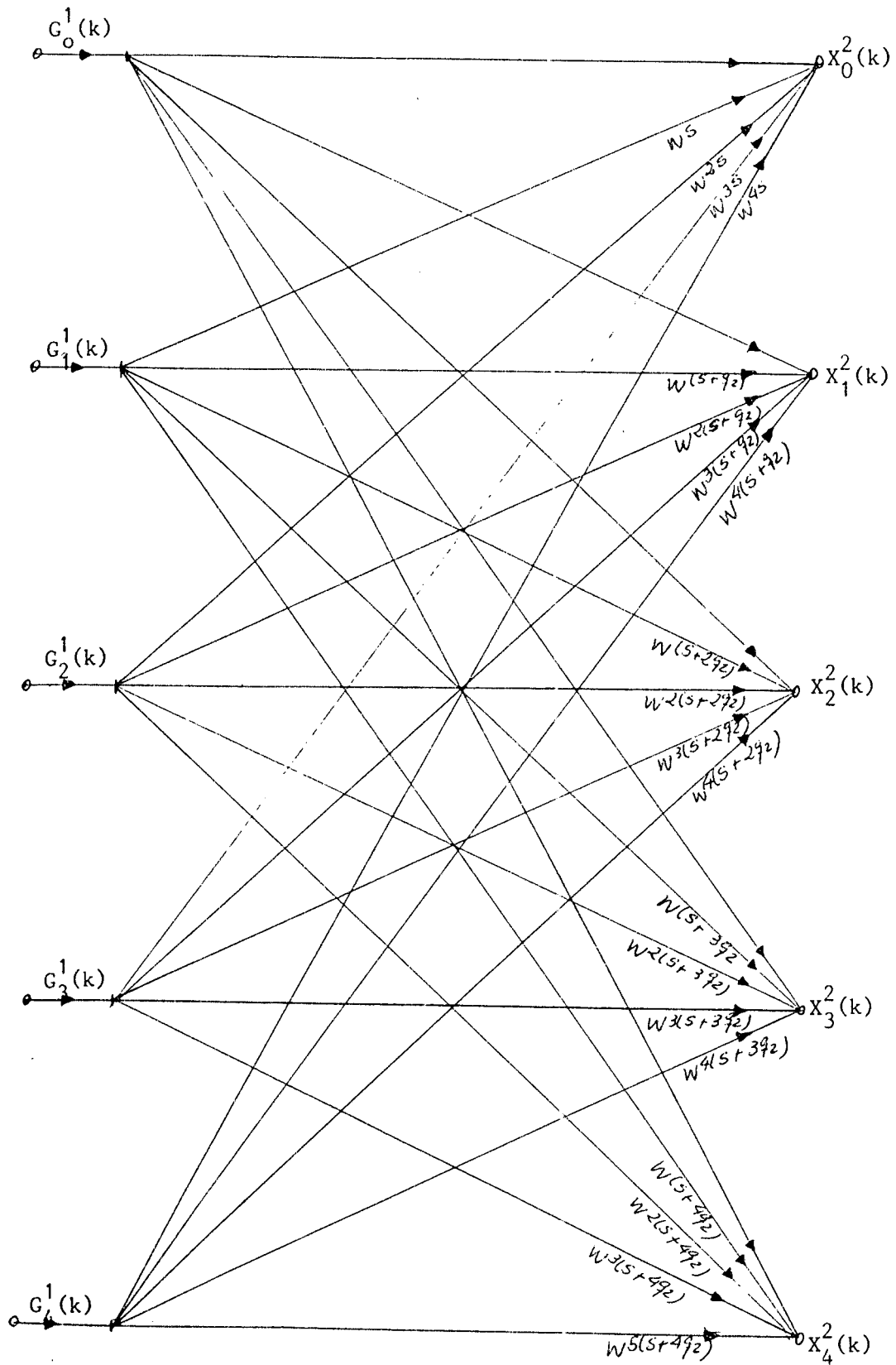


Fig. (E.II) - Gráfico de fluxo de sinal simplificado, representando o passo  $p_{i-1} = 5$ .

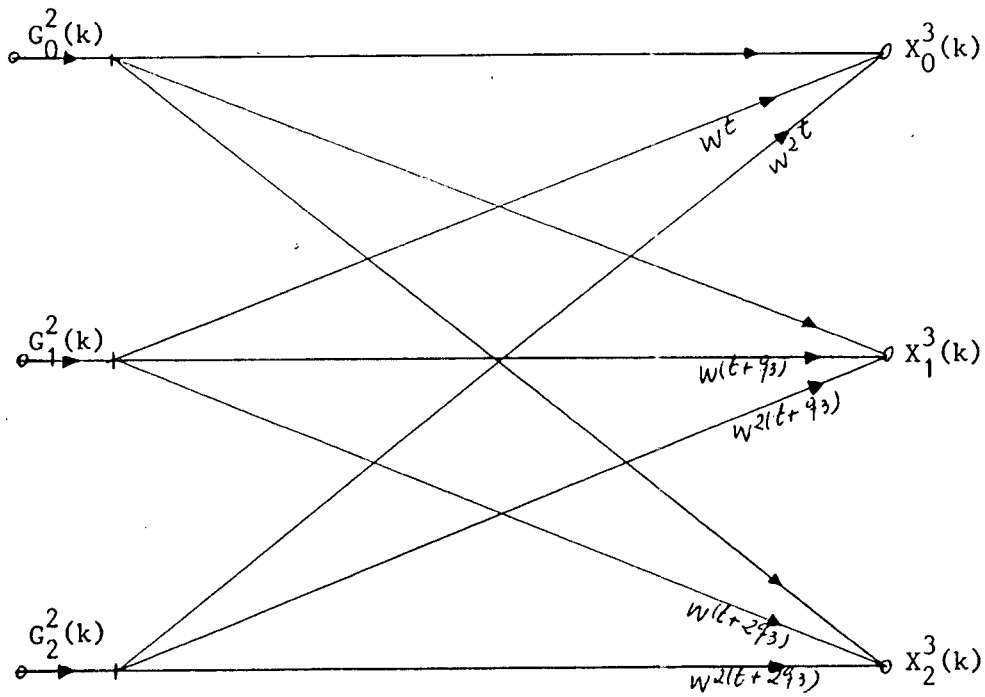


Fig. (E.III) - Gráfico de fluxo de sinal simplificado, representado os passos  $p_{i-2}=p_{i-3} = 3$ .

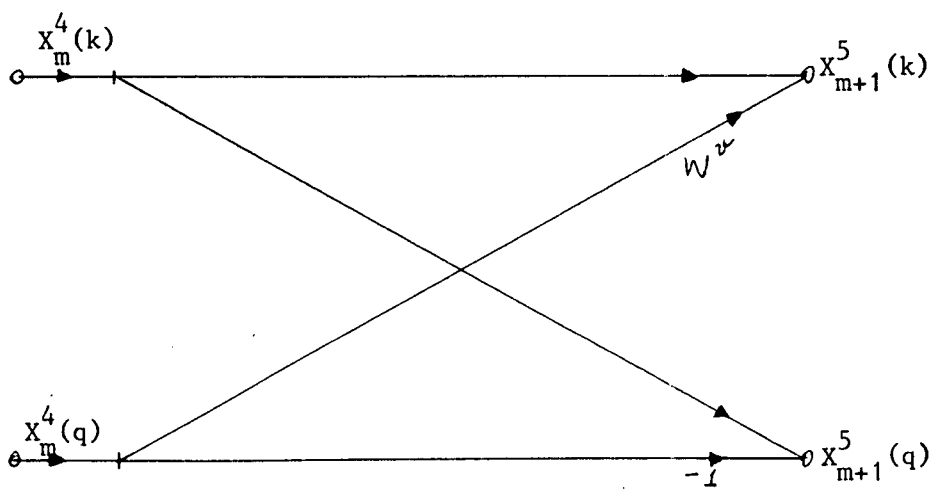


Fig. (E.IV) - Gráfico de fluxo de sinal simplificado, representando o último passo  $p_{i-4}=2$ .

APÊNDICE F

Tabela dos parâmetros de operação da Sonda VLF PULSADA e valores usados na obtenção dos resultados apresentados no capítulo IV deste trabalho.

Frequência de transmissão para os cálculos . . . . .	40KHz
Repetição do Pulso . . . . .	792 vezes /segundo
Tempo de Varredura do Eductor. . . . .	512 micro segundos
Número de Amostras N . . . . .	630
Período de Amostragem. . . . .	2 micro segundos
Total do tempo de CPU- IBM 4341:	
- Compilador WATFIV. . . . .	~2,56 segundos
- Compilador Fortran OSVS1 . . . . .	~9,18 segundos
Número de dados da entrada usados para as ondas de terra e ionosféricas, diferentes de zero. . . . .	
Latitude do Transmissor . . . . .	26º 12' 30" ±10" S
Longitude do Transmissor . . . . .	50º 58' ±10" W
Latitude do Receptor . . . . .	26º 56' 35" ±10" S
Longitude do Receptor . . . . .	48º 54' 35" ±10" W
Distância: Transmissor - Receptor . . . . .	221,4Km ± 0,3Km.

## BIBLIOGRAFIA

- 01 - RAMIREZ, Phenix M.P., et all. "ESTUDO DA ANOMALIA GEOMAGNÉTICA BRASILEIRA". Revista de Divulgação Cultural - FURB. Ano 3, nº 10 e 11 (maio e dezembro de 1980).
- 02 - TURNES, Osiris. "ANÁLISE DO COMPORTAMENTO DO SISTEMA RECUPERADOR DE ONDAS DO GRUPO DE RADIOCIÊNCIAS DE GASPAR - SC". Tese Mestre-UFSC. 1981.
- 03 - COOLEY-TUKEY, James W. e John W. "AN ALGORITHM FOR THE MACHINE CALCULATION OF FOURIER SERIES". Mathematics of Computation, Vol. 19-90, / pág. 297-301. 1965.
- 04 - COOLEY, LEWIS AND WELCH, James W. Peter A.W. and Peter D. "HISTORICAL/NOTES ON THE FAST FOURIER TRANSFORM". IEEE-Trans. Audio Elect. / Vol. AU-15, pág. 76-79. June 1967.
- 05 - COOLEY, James W. et all. "WHAT IS THE FOURIER TRANSFORM?". IEEE-Trans./ Audio Elect. Vol. AU-15, pág. 45-55. June 1967.
- 06 - BERGLAND, G.D. "A GUIDED TOUR of THE FAST FOURIER TRANSFORM": IEEE- / Trans. Audio Elect. Vol. 6, pág 41-52. July 1969.
- 07 - BIGHAM, E. Oran. "THE FAST FOURIER TRANSFORM". Prentice-Hall, Inc., Englewood Clifs. NJ 1974.
- 08 - SANDE, GENTLEMANN, G.,W.M. "FAST FOURIER TRANSFORM-FOR FUN AND PROFIT". AFIPS Proc. Fall J. Computer Conf. Spartan Books. pág 573-578 . 1966.
- 09 - RADER, Charles M. "DISCRETE FOURIER TRANSFORM WHEN THE NUMBER OF DATA IS PRIME". IEEE-Proc. Vol. 56, pág. 1107-1108. June 1968.
- 10 - PEASE, Marshall. "AN ADAPTATION OF THE FAST FOURIER TRANSFORM FOR PARALLEL PROCESSING". J. Ass. Comp. Mach. Vol. 15, pág.252-264. April 1968.
- 11 - OPPENHEIM, SCHAFER, Charles M. and Ronald W. "DIGITAL SIGNAL PROCESSING" Alan V. Oppenheim and Bell Telephone Lab., Inc. 1975-USA.
- 12 - STOKHAM, T.G. "HIGH SPEED CONVOLUTION AND CORRELATION". Springer J. Comp Conf. AFIPS Proc. Vol. 28, pág. 229-233. W. DC Spartan. 1966.

- 13 - HSU, Hwei P. "ANÁLISE DE FOURIER". Livros Téc. Cient. Editora Ltda. 1973.
- 14 - COOLEY, LEWIS AND WELCH, James W., Peter A.W. and Peter D. "THE FINITE FOURIER TRANSFORM". IEEE-Trans. Audio Elect. Vol. AU-17, pág. 78-85. June 1969.
- 15 - COOLEY, et All. "THE FAST FOURIER TRANSFORM ALGORITHM: PROGRAMING CONSIDERATIONS IN THE CALCULATION OF SINE, COSINE AND LAPLACE TRANSFORM". J. Sound. Vol. 12, pág. 315-337. July 1970.
- 16 - SINGLETON, Richard C. "AN ALGORITHM FOR COMPUTING THE MIXED RADIX FAST FOURIER TRANSFORM". IEEE-Trans. Audio Elect. Vol. AU-17, pág. 93-103. June 1969.
- 17 - PEASE, Marshall C. "AN ADAPTATION OF THE FAST FOURIER TRANSFORM FOR PARALLEL PROCESSING". J. Ass. Comp. Mach. Vol. 15, pág. 252-264. / April 1968
- 18 - FIGUEIREDO, Djairo G. "ANÁLISE DE FOURIER E EQUAÇÕES DIFERENCIAIS PARCIAIS". Inst. Mat. Pura Aplicada. CNPQ-RJ. 1977.
- 19 - BEAUCHAMP, K. G. "SIGNAL PROCESSING". George Allen & Unwim Ltd. 1973.
- 20 - FRANCO, Alberto S. "ANÁLISE ESPECTRAL-CONTÍNUA E DISCRETA". Inst. Pesq. Tecnológicas do Estado S. Paulo. 1982.
- 21 - COOLEY, et All. "APLICACION ON FAST FOURIER TRANSFORM TO COMPUTATION OF FOURIER INTEGRALS, FOURIER SERIES AND CONVOLUTION INTEGRALS". / IEEE-Trans. Audio Elect. Vol. AU-15(2), pág. 79-84. 1967.
- 22 - DONOGHUE, William F. Jr. "DISTRIBUTIONS AND FOURIER TRANSFORMS". Academic Press, New York. 1969.
- 23 - BUTZER, NESSEL, Paul L. and Rolf J. "FOURIER ANALYSIS AND APROXIMATIONS". Academic Press. NY. 1971.
- 24 - THOMAS, John B. (Série Edictor). "DIGITAL FILTERS AND THE FAST FOURIER TRANSFORM". Benchmark papers ins Eletrical Eng. and Compute Science/12. Edited by Bede Lyu Princeton University. 1975.
- 25 - THEILHEIMER, F. "A MATRIZ VERSION OF THE FAST FOURIER TRANSFORM". IEEE-Trans. Audio Elect. Vol. AU-17, pág. 158-161. June 1969.
- 26 - RADER et All. "THE CHIRP Z-TRANSFORM ALGORITHM". IEEE-Trans. Audio Elec. Vol. AU-17, pág. 86-92. June 1969.
- 27 - SPIEGEL Murray. "ANÁLISE DE FOURIER". McGraw-Hill do Brasil Ltda. 1977.
- 28 - APOSTOL, Tom. M. "ANALISIS MATEMATICO". Editorial Reverté SA. 1980.

- 29- BRACEWELL, R. "THE FAST FOURIER TRANSFORM AND ITS APLICATIONS". McGraw - Hill. New York. 1965.
- 30 - PAPOULIS, A. "THE FOURIER INTEGRALS AND APLICATIONS". McGraw-Hill.1962.
- 31 - BLUESTEIN, Leo I. "A LINEAR FILTERING APROACH TO THE COMPUTATION OF DISCRETE FOURIER TRANSFORM". IEEE-Trans.Audio Elect. Vol.18, pág. / 451-455. December 1970.
- 32 - MARKEL, John D. "FFT PRUNING". IEEE-Trans. Audio Elect. Vol. AU-19 (4) Dec. 1971.
- 33 - WEINSTEIN, Clifford J. "ROUND OFF NOISE IN FLOATING POINT FAST FOURIER / TRANSFORM COMPUTATION". IEEE-Trans. Audio Elect. Vol. AU-17, pág. 209-215. Sept. 1969.